

TUGAS AKHIR

ANALISIS DAYA DUKUNG DAN PENURUNAN PONDASI *BORED PILE* PADA PROYEK JALAN TOL MEDAN – KUALANAMU – TEBING-TINGGI

*Diajukan Untuk Memenuhi Syarat-Syarat Memperoleh
Gelar Sarjana Teknik Sipil Pada Fakultas Teknik
Universitas Muhammadiyah Sumatera Utara*

Disusun Oleh:

FAISAL SYAIFULLAH
1307210146



PROGRAM STUDI TEKNIK SIPIL
FAKULTAS TEKNIK
UNIVERSITAS MUHAMMADIYAH SUMATERA UTARA
MEDAN
2018

HALAMAN PENGESAHAN

Tugas Akhir ini diajukan oleh:

Nama : Faisal Syaifullah

NPM : 1307210146

Program Studi : Teknik Sipil

Judul Skripsi : Analisis daya dukung dan penurunan pondasi *bored pile* pada proyek jalan tol Medan – Kualanamu – Tebing-tinggi.

Bidang ilmu : Geoteknik

Telah berhasil dipertahankan di hadapan Tim Pengaji dan diterima sebagai salah satu syarat yang diperlukan untuk memperoleh gelar Sarjana Teknik pada Program Studi Teknik Sipil, Fakultas Teknik, Universitas Muhammadiyah Sumatera Utara.

Medan, 02 Juli 2018

Mengetahui dan menyetujui:

Dosen Pembimbing I / Pengaji

M. Husin Gultom, ST, MT

Dosen Pembimbing II/Pengaji

Dr. Fahrizal Zulkarnain, ST, MSc

Dosen Pembanding I / Pengaji

Dr. Ade Faisal, ST, MSc

Dosen Pembanding II/Pengaji

Dr. Josef Hadipramana

Program Studi Teknik Sipil
Ketua,

Dr. Fahrizal Zulkarnain, ST, MSc



FAKULTAS TEKNIK
UNIVERSITAS MUHAMMADIYAH SUMATERA UTARA
Jalan Kapten Mukhtar Basri, BA No.3 Tel. 061-6619056, 662400
MEDAN-SUMATERA UTARA

PENGESAHAN SKRIPSI

Skripsi ini disusun oleh:

Nama : Faisal Syaifullah

NPM : 1307210146

Program Studi : Teknik Sipil

**Judul : ANALISIS DAYA DUKUNG DAN PENURUNAN PONDASI BORED
PILE PADA PROYEK JALAN TOL MEDAN – KUALANAMU –
TEBING-TINGGI.**

**Disetujui dan memenuhi persyaratan untuk diajukan dalam ujian
Mempertahankan Skripsi.**

Medan, 02 Juli 2018

Dosen Pembimbing I / Penguji

M. Husin Gultom, ST, MT

Dosen Pembimbing II/Penguji

Dr. Fahrizal Zulkarnain, ST, MSc

Mengetahui dan menyetujui:

Ketua Program Studi Teknik Sipil

Dr. Fahrizal Zulkarnain, ST, MSc

Munawar Alfansury Siregar, ST, MT



FAKULTAS TEKNIK
UNIVERSITAS MUHAMMADIYAH SUMATERA UTARA
Jalan Kapten Mukhtar Basri, BA No.3 Tel. 061-6619056, 662400
MEDAN-SUMATERA UTARA

BERITA ACARA BIMBINGAN SKRIPSI

Telah selesai diberikan bimbingan dalam penulisan skripsi sehingga naskah skripsi ini telah memenuhi syarat dan dapat disetujui untuk dipertahankan dalam ujian skripsi oleh:

Nama : Faisal Syaifullah

NPM : 1307210146

Program Studi : Teknik Sipil

Judul : Analisis daya dukung dan penurunan pondasi *Bored pile* pada proyek jalan tol Medan – Kualanamu – tebing-tinggi.

Medan, 02 Juli 2018

Dosen Pembimbing I / Pengudi

M. Husin Gultom, ST, MT

Dosen Pembimbing II/Pengudi

Dr. Fahrizal Zulkarnain, ST, MSc

Mengetahui dan menyetujui:

Ketua Program Studi Teknik Sipil

Dr. Fahrizal Zulkarnain, ST, MSc

Dekan Fakultas Teknik



Munawar Alfansury Siregar, ST, MT

SURAT PERNYATAAN KEASLIAN TUGAS AKHIR

Saya yang bertanda tangan di bawah ini:

Nama Lengkap : Faisal Syaifullah
Tempat /Tanggal Lahir : Medan / 31 Juli 1995
NPM : 1307210146
Fakultas : Teknik
Program Studi : Teknik Sipil,

menyatakan dengan sesungguhnya dan sejurnya, bahwa laporan Tugas Akhir saya yang berjudul:

“Analisis daya dukung dan penurunan pondasi *Bored pile* pada proyek jalan tol Medan – Kualanamu – Tebing-tinggi”,

bukan merupakan plagiatisme, pencurian hasil karya milik orang lain, hasil kerja orang lain untuk kepentingan saya karena hubungan material dan non-material, ataupun segala kemungkinan lain, yang pada hakekatnya bukan merupakan karya tulis Tugas Akhir saya secara orisinil dan otentik.

Bila kemudian hari diduga kuat ada ketidaksesuaian antara fakta dengan kenyataan ini, saya bersedia diproses oleh Tim Fakultas yang dibentuk untuk melakukan verifikasi, dengan sanksi terberat berupa pembatalan kelulusan/kesarjanaan saya.

Demikian Surat Pernyataan ini saya buat dengan kesadaran sendiri dan tidak atas tekanan ataupun paksaan dari pihak manapun demi menegakkan integritas akademik di Program Studi Teknik Sipil, Fakultas Teknik, Universitas Muhammadiyah Sumatera Utara.

Medan, 02 Juli 2018

Saya yang menyatakan,



Faisal Syaifullah

ABSTRAK

ANALISA DAYA DUKUNG DAN PENURUNAN PONDASI *BORED PILE* PADA PROYEK TOL MEDAN-KUALANAMU-TEBING TINGGI (STUDI KASUS)

Faisal Syaifullah
1307210146
M. Husin Gultom, ST, MT.
Dr. Fahrizal Zulkarnain, ST, MSc.

Pondasi *bored piled* adalah bagian dari suatu konstruksi yang meneruskan beban kepada tanah dan batuan yang terletak dibawahnya. Daya dukung ijin pondasi harus lebih besar daripada beban yang bekerja pada pondasi baik beban statik maupun beban dinamik, penurunan yang akan ditimbulkan akibat pembebasan tidak boleh melebihi penurunan yang diijinkan dan pengendalian mutu menjadi salah satu kunci penting keberhasilan pondasi. Untuk memastikan tidak akan terjadinya keruntuhan pada pondasi akibat kekurangan dukungan dari tanah maka perlu dilakukan analisa terhadap daya dukung tanah pada proyek jalan tol Medan-Kualanamu-Tebing tinggi. Daya dukung dan penurunan pondasi dapat dihitung menggunakan metode analitis dan penurunan elastis serta menggunakan bantuan program perhitungan (*software Allpile*). Data tanah yang digunakan berupa data *Standard penetration test* (SPT) yang dikorelasikan kedalam parameter-parameter tanah yang dibutuhkan dalam perhitungan analisis maupun program. Berdasarkan data *Standard penetration test* (SPT) dan parameter kuat geser tanah daya dukung dapat dihitung dengan metode Reese & O'neil, metode Vesic dengan korelasi parameter tanah Briaud, menggunakan program (*software Allpile*). Untuk penurunan dihitung menggunakan perhitungan penurunan elastis tiang tunggal dan dengan program (*software Allpile*). Dari proses analisa tersebut telah didapat besarnya daya dukung pada titik yang ditinjau sebesar 387,162 Ton dan perbandingan penurunan antara metode penurunan elastis dengan program komputer sebesar 20,29%.

Kata kunci: Daya dukung, *Bored pile*, Penurunan, Resse and O'neil, Briaud.

ABSTRACT

BEARING CAPACITY ANALYSIS AND SETTLEMENT OF BORED PILE FOUNDATION IN PROJECT TOL MEDAN-KUALANAMU-TEBING TINGGI (CASE STUDY)

Faisal Syaifullah

1307210146

M. Husin Gultom, ST, MT.

Dr. Fahrizal Zulkarnain, ST, MSc.

The bored pile foundation was part of a construction which continued to burden of soil and rocks which is located underneath. Allowable of bearing capacity must be greater than the load of the foundation as well as the dynamic load, a decrease which will be brought about due to the decline of imposition shall not exceed that permitted and quality control became one of the important keys to the success of the foundation. To ensure that there will be no collapse on the foundation due to lack of support from the soil it is necessary to analyze the bearing capacity in project Tol Medan-Kualanamu-Tebing Tinggi. Bearing capacity and the settlement of the foundation can be calculated using the method of analytical and elastic of settlement as well as using the helper program. Standart Penetration Test (SPT) the be correlated into the soil parameters that are required in the calculation analysis of both programs. Based on the data of standart penetration test, and strong shear parameters of land resource carrying capacity can be calculated by the method Reese and O'neil, Vesic method with correlation of soil parameter Briaud, and using the program. to decrease is calculated using calculation of decrease in single pole elastic. From the analysis process has obtained the bearing capacity at the point reviewed for 387.162 Ton and the ratio of the decrease between the method of elastic reduction with computer program of 20.29%.

Keywords: Bearing capacity, Bored Pile, settlement, Reese and onelil, Briaud.

KATA PENGANTAR

Dengan nama Allah Yang Maha Pengasih lagi Maha Penyayang. Segala puji dan syukur penulis ucapkan kehadiran Allah SWT yang telah memberikan karunia dan nikmat yang tiada terkira. Salah satu dari nikmat tersebut adalah keberhasilan penulis dalam menyelesaikan laporan Tugas Akhir ini yang berjudul “Analisa Daya Dukung Dan Penurunan Pondasi *Bored Pile* Pada Proyek Tol Medan-Kualanamu-Tebing Tinggi” sebagai syarat untuk meraih gelar akademik Sarjana Teknik pada Program Studi Teknik Sipil, Fakultas Teknik, Universitas Muhammadiyah Sumatera Utara (UMSU), Medan.

Banyak pihak telah membantu dalam menyelesaikan laporan Tugas Akhir ini, untuk itu penulis menghaturkan rasa terimakasih yang tulus dan dalam kepada:

1. Bapak Muhammad Husin Gultom, ST., MT. selaku Dosen Pembimbing I dan Penguji yang telah banyak membimbing dan mengarahkan penulis dalam menyelesaikan Tugas Akhir ini.
2. Bapak Dr. Fahrizal Zulkarnain, ST, MSc, selaku Dosen Pimbimbing II dan Penguji yang telah banyak membimbing dan mengarahkan penulis dalam menyelesaikan Tugas Akhir ini.
3. Bapak Dr. Ade Faisal, ST, MSc, selaku Dosen Pembanding I yang telah banyak memberikan koreksi dan masukan kepada penulis dalam menyelesaikan Tugas Akhir ini, sekaligus sebagai Ketua Program Studi Teknik Sipil, Universitas Muhammadiyah Sumatera Utara.
4. Bapak Dr. Josef Hadipramana, selaku Dosen Pembanding II dan Penguji yang telah banyak memberikan koreksi dan masukan kepada penulis dalam menyelesaikan Tugas Akhir ini.
5. Bapak Munawar A Siregar, ST., MT selaku Dekan Fakultas Teknik, Universitas Muhammadiyah Sumatera Utara.
6. Seluruh Bapak/Ibu Dosen di Program Studi Teknik Sipil, Universitas Muhammadiyah Sumatera Utara yang telah banyak memberikan ilmu ketekniksipilan kepada penulis.

7. Orang tua penulis: Sukandar, dan Yayuk Sumiati, yang telah bersusah payah membesarkan dan membiayai studi penulis.
8. Bapak/Ibu Staf Administrasi di Biro Fakultas Teknik, Universitas Muhammadiyah Sumatera Utara.
9. Sahabat-sahabat penulis: Agung Trisna, Erry Prasetyo, Zakaria Fadhil, Sugaluh Wisnu Murti, Ibnu Hajar, Putri Pangesti Wahyu Wijayanti, Kelas Struktur dan Transport Malam, dan seluruh angkatan 2013 lainnya yang tidak mungkin namanya disebut satu per satu.

Laporan Tugas Akhir ini tentunya masih jauh dari kesempurnaan, untuk itu penulis berharap kritik dan masukan yang konstruktif untuk menjadi bahan pembelajaran berkesinambungan penulis di masa depan. Semoga laporan Tugas Akhir ini dapat bermanfaat bagi dunia konstruksi teknik sipil.

Medan, Maret 2018

Faisal Syaifullah

DAFTAR ISI

| | |
|---|------|
| LEMBAR PENGESAHAN | ii |
| LEMBAR PERNYATAN KEASLIAN SKRIPSI | iii |
| ABSTRAK | iv |
| <i>ABSTRACT</i> | v |
| KATA PENGANTAR | vi |
| DAFTAR ISI | viii |
| DAFTAR TABEL | x |
| DAFTAR GAMBAR | xi |
| DAFTAR NOTASI | xiii |
| DAFTAR SINGKATAN | xiv |
| BAB 1 PENDAHULUAN | |
| 1.1. Latar Belakang | 1 |
| 1.2. Rumusan Masalah | 3 |
| 1.3. Ruang Lingkup | 3 |
| 1.4. Tujuan | 3 |
| 1.5. Manfaat Penulisan | 4 |
| 1.6. Sistematika Penulisan | 4 |
| BAB 2 TINJAUAN PUSTAKA | |
| 2.1. Tanah dan Partikel Tanah | 6 |
| 2.2. Penyelidikan tanah (<i>soil investigation</i>) | 8 |
| 2.2.1. Pengujian Penetrasi Standar (SPT) | 9 |
| 2.3. Parameter Tanah | 10 |
| 2.4. Pengertian Pondasi Tiang | 14 |
| 2.4.1. Pondasi Tiang Bor (<i>Bored Pile</i>) | 14 |
| 2.5. Kapasitas Daya Dukung | 16 |
| 2.5.1. Tiang Dukung Ujung dan Tiang Gesek | 16 |
| 2.5.2. Kapasitas Daya Dukung dari Data N-SPT | 17 |
| 2.6. Faktor Keamanan | 22 |
| 2.7. Penurunan Tiang Elastis | 23 |
| BAB 3 METODOLOGI PENELITIAN | |

| | |
|---|----|
| 3.1. Diagram Alir Penelitian | 26 |
| 3.2. Data Umum Proyek | 27 |
| 3.3 Lokasi Titik Pengeboran | 28 |
| 3.4. Pengumpulan Data | 29 |
| 3.5. Analisis Data Tanah | 30 |
| 3.6. Tahap Penelitian | 32 |
| BAB 4 HASIL DAN PEMBAHASAN | |
| 4.1. Perhitungan Daya Dukung Menggunakan Data SPT | 41 |
| 4.1.1. Perhitungan Pada Titik BH-1 | 41 |
| 4.1.2. Perhitungan Pada Titik BH-2 | 51 |
| 4.1.3. Perhitungan Pada Titik BH-3 | 61 |
| 4.2. Perhitungan Penurunan Elastis (<i>Settlement</i>) | 71 |
| 4.2.1. Penurunan Pada Titik BH-1 | 71 |
| 4.2.2. Penurunan Pada Titik BH-2 | 73 |
| 4.2.3. Penurunan Pada Titik BH-3 | 76 |
| 4.3. Menghitung Daya Dukung Dengan Program (<i>AllPile</i>) | 79 |
| 4.3.1. Output desain pondasi program (Allpile) BH 1 | 79 |
| 4.3.1.1. <i>Vertical capacity</i> | 81 |
| 4.3.1.2. <i>Setlement calculation</i> | 81 |
| 4.3.2. Output desain pondasi program (Allpile) BH 2 | 82 |
| 4.3.2.1. <i>Vertical capacity</i> | 83 |
| 4.3.2.2. <i>Setlement calculation</i> | 83 |
| 4.3.3. Output desain pondasi program (Allpile) BH 3 | 84 |
| 4.3.3.1. <i>Vertical capacity</i> | 85 |
| 4.3.3.2. <i>Setlement calculation</i> | 86 |
| 4.3.4. Hasil Rekapitulasi | 87 |
| BAB 5 KESIMPULAN DAN SARAN | |
| 5.1. Kesimpulan | 89 |
| 5.2. Saran | 90 |
| DAFTAR PUSTAKA | |
| LAMPIRAN | |
| DAFTAR RIWAYAT HIDUP | |

DAFTAR TABEL

| | | |
|------------|---|----|
| Tabel 2.1 | Batasan-batasan ukuran golongan tanah | 6 |
| Tabel 2.2 | Korelasi N-SPT dengan Modulus Elastisitas pada tanah lempung | 10 |
| Tabel 2.3 | Hubungan jenis tanah, konsistensi dan <i>passion ratio</i> (ν) | 11 |
| Tabel 2.4 | Korelasi nilai berat isi dengan N spt pada tanah lempung | 11 |
| Tabel 2.5 | Korelasi nilai berat isi dengan N spt pada tanah pasir | 12 |
| Tabel 2.6 | Parameter rencana tiang tanah kohesif | 13 |
| Tabel 2.7 | Parameter rencana tiang untuk tanah non kohesif | 13 |
| Tabel 2.8 | Hubungan dari, Φ dan N dari pasir | 17 |
| Tabel 2.9 | Nilai faktor daya dukung menurut teori Vesic | 18 |
| Tabel 2.10 | Variasi nilai λ berdasarkan λ Method | 19 |
| Tabel 2.11 | Faktor keamanan untuk pondasi tiang | 23 |
| Tabel 2.12 | Nilai umum modulus elastisitas tanah | 25 |
| Tabel 3.1 | Data uji lapangan <i>standard penetration Test</i> (SPT) pada BH-1 | 30 |
| Tabel 3.2 | Data uji lapangan <i>standard penetration Test</i> (SPT) pada BH-2 | 31 |
| Tabel 3.3 | Data uji lapangan <i>standard penetration Test</i> (SPT) pada BH-3 | 32 |
| Tabel 4.1 | Perhitungan daya dukung metode Resse and o'neil pada BH-1 | 47 |
| Tabel 4.2 | Perhitungan daya dukung metode Briaud pada BH-1 | 49 |
| Tabel 4.3 | Perhitungan daya dukung metode Resse and o'neil pada BH-2 | 56 |
| Tabel 4.4 | Perhitungan daya dukung metode Briaud pada BH-2 | 59 |
| Tabel 4.5 | Perhitungan daya dukung metode Resse and o'neil pada BH-3 | 66 |
| Tabel 4.6 | Perhitungan daya dukung metode Briaud pada BH-3 | 69 |
| Tabel 4.7 | Rekapitulasi perhitungan penurunan elastis tiang tunggal | 79 |
| Tabel 4.8 | Data tiang (<i>output software Allpile</i>) BH-1 | 80 |
| Tabel 4.9 | Data tanah (<i>output software Allpile</i>) BH-1 | 80 |
| Tabel 4.10 | Data tiang (<i>output software Allpile</i>) BH-2 | 82 |
| Tabel 4.11 | Data tanah (<i>output software Allpile</i>) BH-2 | 82 |
| Tabel 4.12 | Data tiang (<i>output software Allpile</i>) BH-3 | 84 |
| Tabel 4.13 | Data tanah (<i>output software Allpile</i>) BH-3 | 85 |
| Tabel 4.14 | Rekapitulasi perbandingan hasil perhitungan daya dukung <i>ultimate</i> | 87 |
| Tabel 4.15 | Rekapitulasi perbandingan hasil perhitungan penurunan | 88 |

DAFTAR GAMBAR

| | | |
|-------------|--|----|
| Gambar 2.1 | Batasan-batasan ukuran golongan tanah | 8 |
| Gambar 2.2 | Tiang ditinjau dari cara mendukung bebannya | 16 |
| Gambar 2.3 | Faktor adhesi untuk tiang pada tanah lempung | 21 |
| Gambar 2.4 | <i>Overbreak</i> diameter lubang bor akibat longsoran tanah | 19 |
| Gambar 2.5 | Variasi jenis bentuk unit tahanan friksi (kulit) alami terdistribusi sepanjang tiang tertanam ke dalam tanah | 24 |
| Gambar 3.1 | Diagram Alir Penelitian | 26 |
| Gambar 3.2 | Denah Lokasi Proyek Pembangunan Jalan Tol Medan Kualanamu Tebing Tinggi (Seksi 6) | 28 |
| Gambar 3.3 | Lokasi titik pengeboran BH-1 (Dokumentasi PT. Waskita Karya Seksi 6) | 29 |
| Gambar 3.4 | Lokasi titik pengeboran BH-2 dan BH-3 (Dokumentasi PT. Waskita Karya Seksi 6) | 29 |
| Gambar 3.5 | Pengujian penetrasi standart | 34 |
| Gambar 3.6 | Skema urutan pengujian penetrasi standar (SPT) | 35 |
| Gambar 3.7 | Tampilan <i>software Allpile (Pile Type)</i> | 36 |
| Gambar 3.8 | Tampilan <i>software Allpile (Pile Profile)</i> | 37 |
| Gambar 3.9 | Tampilan <i>software Allpile (Pile Properties)</i> | 38 |
| Gambar 3.10 | Tampilan <i>software Allpile (Load and Group)</i> | 38 |
| Gambar 3.11 | Tampilan <i>software Allpile (Soil Properties)</i> | 39 |
| Gambar 3.12 | Tampilan <i>software Allpile (Advanced Page)</i> | 39 |
| Gambar 4.1 | Grafik daya dukung metode Resse and O'neil pada BH 1 | 48 |
| Gambar 4.2 | Grafik daya dukung metode Briaud pada BH 1 | 50 |
| Gambar 4.3 | Grafik daya dukung metode Resse and O'neil pada BH 2 | 58 |
| Gambar 4.4 | Grafik daya dukung metode Briaud pada BH 2 | 60 |
| Gambar 4.5 | Grafik daya dukung metode Resse and O'neil pada BH 3 | 68 |
| Gambar 4.6 | Grafik daya dukung metode Briaud pada BH 3 | 70 |
| Gambar 4.7 | <i>Output</i> grafik daya dukung pondasi tiang bor pada <i>software Allpile</i> BH-1 | 81 |
| Gambar 4.8 | <i>Output</i> grafik daya dukung pondasi tiang bor pada <i>software</i> | |

| | | |
|----------------|---|----|
| <i>Allpile</i> | BH-2 | 84 |
| Gambar 4.9 | <i>Output</i> grafik daya dukung pondasi tiang bor pada <i>software</i> | |
| <i>Allpile</i> | BH-3 | 86 |

DAFTAR NOTASI

| | |
|----------------------|--|
| $Q_b = Q_p$ | = Kapasitas tahanan di ujung tiang |
| Q_s | = Kapasitas tahanan kulit |
| Q_{ult} | = Kapasitas tahanan <i>ultimate</i> |
| $Q_{all} = Q_{ijin}$ | = Kapasitas tahanan ijin |
| A_p | = Luas penampang tiang |
| P | = Luas selimut tiang |
| D | = Diameter tiang |
| L | = Panjang tiang |
| L_i | = Panjang Lapisan tanah yang ditinjau |
| N | = Harga SPT lapangan |
| SF | = Faktor keamanan |
| c | = Kohesi |
| C_u | = Kohesi undrained |
| α | = Koefisien adhesi antara tanah dan tiang |
| Q_p | = Tahanan ujung persatuan luas |
| K | = Faktorkekakuan tiang |
| q_c | = Tahanan ujung sondir |
| E_s | = Modulus elastisitas tanah disekitar tiang |
| $E_b = 10.E_s$ | = Modulus elastisitas tanah didasar tiang |
| E_p | = Modulus elastisitas dari bahan tiang |
| S | = Penurunan pondasi |
| I_o | = Faktor pengaruh penurunan tiang yang tidak mudah mampat (incompressible) dalam massa semi tak terhingga |
| H | = Kedalaman |
| ϕ | = sudut geser dalam |
| γ_{sat} | = Berat isi tanah jenuh |
| γ_{dry} | = Berat isi tanah kering |
| $\nu = \mu$ | = Poisson Ratio |
| ξ | = Variasi jenis bentuk unit tahanan friksi (kulit) |

DAFTAR ISTILAH DAN SINGKATAN

| | |
|-----|------------------------------|
| SPT | = Standard penetration test |
| FK | = Faktor keamanan |
| Dr | = Kepadatan relatif |
| EI | = Elastisitas dengan Inersia |
| EA | = Elastisitas dengan Luas |
| PSF | = Pound Square Feet |
| PSI | = Pound Square Inch |

BAB 1

PENDAHULUAN

1.1. Latar Belakang

Sejalan dengan program pemerintah dalam meningkatkan taraf pembangunan, sebagaimana kita ketahui pada dewasa ini di negara-negara yang sedang berkembang seperti layaknya Indonesia. Program tersebut juga didasarkan oleh permasalahan-permasalahan yang kerap ditemui di berbagai sektor misalnya jalan.

Berdasarkan pertimbangan pembangunan infrastruktur untuk mempermudah akses perjalanan di kota Medan khususnya untuk menuju ke bandara Kualanamu dan menuju Kota Tebing tinggi maka pemerintah melaksanakan program pembangunan jalan tol yang akan menghubungkan kota Medan dengan Tebing tinggi serta Bandara Kualanamu. Hal itu ditandai dengan dilaksanakannya perletakan batu pertama pada 23 September 2014. Jalan tol sepanjang 61,80 km ini merupakan bagian dari jalan tol trans-sumatera dan terbagi dalam 2 (dua) seksi. Pemerintah yakin pembangunan jalan tol akan berdampak positif pada naiknya peringkat *global competitiveness* Indonesia.

Sebelum melakukan pekerjaan konstruksi baik itu jalan tol, jembatan, *fly over*, maupun gedung, hal yang utama dilakukan adalah pekerjaan pondasi.

Pondasi adalah suatu bagian dari konstruksi bangunan yang bertugas menahan bangunan dan meneruskan beban bangunan atas (*upper structure/ super structure*) ke dasar tanah yang cukup kuat mendukungnya.

Pondasi tiang dapat dibagi menjadi 3 (tiga) kategori sebagai berikut: Tiang Perpindahan Besar (*large displacement pile*) yaitu tiang pejal atau berlubang dengan ujung tertutup yang dipancang ke dalam tanah sehingga terjadi perpindahan volume tanah yang relatif besar. Kedua yaitu tiang perpindahan kecil (*small displacement pile*) yaitu tiang dengan kategori pertama hanya volume tanah yang dipindahkan saat pemancangan relatif kecil, contohnya: tiang beton berlubang dengan ujung terbuka, tiang baja bulat ujung terbuka, tiang ulir dan terakhir adalah tiang tanpa perpindahan (*non displacement pile*) merupakan tiang

yang terdiri dari tiang yang dipasang di dalam tanah dengan cara menggali atau mengebor tanah. Termasuk dalam tiang tanpa perpindahan adalah *bored pile*, yaitu tiang beton yang pengecorannya langsung di dalam lubang hasil pengeboran tanah (pipa baja diletakkan di dalam lubang dan dicor beton) (Hardiyatmo, 2002).

Pondasi dapat dibagi menjadi dua, yaitu pondasi dangkal (*Shallow foundation*) dan pondasi dalam (*Deep foundation*). Secara umum permasalahan yang dapat timbul pada pondasi dalam lebih rumit daripada pondasi dangkal. Dalam hal ini penulis mencoba dalam tugas akhir ini menganalisa daya dukung pondasi dalam yaitu pondasi *Bored pile*. Pondasi *bored pile* dipilih dikarenakan proses pengeboran yang berkelanjutan dengan lebih sedikit getaran dan kebisingan sehingga meminimalkan tingkat gangguan bagi gedung-gedung atau aktifitas lain disekitarnya. *Bored Pile* merupakan salah satu jenis pondasi dalam yang penulis definisikan sebagai struktur bawah yang berinteraksi dengan tanah disekitarnya untuk menghasilkan perkuatan/daya dukung (*Bearing capacity*) untuk mampu menopang beban struktur diatasnya. Untuk menghasilkan daya dukung yang akurat maka diperlukan juga proses penyelidikan tanah secara akurat pula. Ada dua metode yang bisa digunakan dalam proses penyelidikan tanah yaitu penyelidikan tanah dengan metode statis dan penyelidikan tanah dengan metode dinamis.

Penyelidikan tanah dengan metode statis melalui percobaan dilapangan ialah penyelidikan tanah dengan sondir dan metode dinamis yaitu *standart penetration test* (SPT). Penyelidikan tanah bertujuan untuk mengetahui perlawanan penetrasi konus dan hambatan lekat tanah yang merupakan indikasi dari kekuatan daya dukung lapisan tanah dengan menggunakan rumus *empiris*.

Penyelidikan dengan *standart penetration test* (SPT) bertujuan untuk mendapatkan gambaran kekuatan lapisan tanah, sifat-sifat tanah dan karakteristik tanah dengan pengamatan secara visual dari pengambilan contoh tanah terganggu.

Data yang dihasilkan dari kedua penyelidikan diatas dapat dijadikan dasar untuk menghitung daya dukung yang merupakan tujuan penulis dari tugas akhir ini.

1.2. Rumusan Masalah

Pada proyek pembangunan tol Medan-Kualanamu-Tebing tinggi terdapat banyak permasalahan yang dapat ditinjau dan dibahas, namun untuk mengkonsentrasiakan penulis maka diperlukan adanya pembatasan masalah yang akan ditinjau dan dibahas sehingga dapat meminimalkan timbulnya kerancuan dan penyimpangan dari permasalahan yang dikemukakan. Walaupun demikian hal tersebut tidak akan mempersempit nilai-nilai dari pokok masalah yang akan dibahas, justru akan memperjelas tentang hasil dari masalah yang sedang dibahas.

Berdasarkan pernyataan dikemukakan diatas, maka permasalahan yang dapat diangkat dalam tugas akhir ini adalah sebagai berikut:

- a. Berapa daya dukung pondasi *Bored pile* antara tiga titik sampel pondasi menggunakan metode Reese & O'neil dan metode Vesic menggunakan korelasi parameter tanah Briaud dan bantuan program komputer?
- b. Bagaimana perbandingan penurunan antara pondasi *Bored pile* yang ditinjau dari tiga titik sampel pondasi yang berbeda dengan perhitungan penurunan elastis dan bantuan program komputer?

1.3. Ruang Lingkup

Untuk meminimalkan timbulnya kerancuan dan penyimpangan dari permasalahan yang dikemukakan maka dalam penulisan tugas akhir ini permasalahan yang ditinjau antara lain:

- a. Menggunakan data *Standart Penetration Test* (SPT) sebagai data acuan perhitungan.
- b. Menghitung daya dukung dan penurunan dengan metode Reese & O'neil juga metode Vesic dengan korelasi parameter tanah Briaud dan dengan bantuan program komputer.

1.4. Tujuan

Adapun tujuan dari penulisan Tugas Akhir ini adalah :

- a. Mengetahui daya dukung *Bored Pile* berdasarkan data *Standart Penetration Test* (SPT) menggunakan metode Resse & O'neill, dan

- metode Vesic menggunakan korelasi parameter tanah Briaud serta bantuan program AllPile dari tiga titik sampel pondasi.
- b. Mengetahui penurunan pondasi *Bored pile* dan perbandingan antara ketiga sampel pondasi melihat dari penurunan elastis dan bantuan program komputer.

1.5. Manfaat

Penulisan Tugas Akhir ini diharapkan bermanfaat bagi :

- a. Sebagai bahan referensi bagi siapa saja yang membacanya khususnya bagi mahasiswa yang melakukan studi kasus yang sama.
- b. Diharapkan bermanfaat sebagai media perkembangan ilmu pengetahuan di bidang geoteknik, terutama pondasi *bored pile* bagi studi kasus dan pihak-pihak terkait.
- c. Sebagai bahan penelitian selanjutnya dengan membandingkan metode analitis yang lain.

1.6. Sistematika Pembahasan

Laporan tugas akhir ini terdiri dari lima bab dengan rincian sebagai berikut:

BAB - I PENDAHULUAN

Pada bab ini dibahas mengenai latar belakang, tujuan, manfaat, pembatasan masalah dan metode pengumpulan data.

BAB - II TINJAUAN PUSATAKA

Bab ini berisi tentang teori-teori dasar yang mendukung studi yang digunakan dalam laporan tugas akhir.

BAB - III METODOLOGI

Bab ini berisi meteologi penelitian, pengumpulan dan interpretasi data yang akan digunakan dalam tugas akhir ini.

BAB - IV ANALISIS DAN PERHITUNGAN

Bab ini berisi tentang analisis dan perhitungan kapasitas daya dukung pondasi *bored pile* berdasarkan dari data yang dikumpulkan.

BAB - V KESIMPULAN DAN SARAN

Berisi tentang kesimpulan dan saran mengenai studi kasus pada laporan tugas akhir ini.

BAB 2

TINJAUAN PUSTAKA

2.1. Tanah dan Partikel Tanah

Dalam pengertian teknik secara umum, tanah didefinisikan sebagai material yang terdiri dari agregat (butiran) mineral-mineral padat yang tidak tersementasi (terikat secara kimia) satu sama lain dan dari bahan-bahan organik yang telah melapuk (yang berpartikel padat) disertai dengan zat cair dan gas yang mengisi ruang-ruang kosong di antara partikel-partikel padat tersebut (Das, 1995). Butiran-butiran mineral membentuk bagian padat dari tanah merupakan hasil pelapukan dari batuan. Ukuran setiap butiran padat tersebut sangat bervariasi dan sifat-sifat fisik dari tanah banyak tergantung dari faktor-faktor ukuran, bentuk, dan komposisi kimia dari butiran. Untuk lebih jelasnya tentang faktor-faktor tersebut, harus lebih dikenal dahulu tipe-tipe dasar dari batuan yang membentuk batuan, dan proses pelapukan.

Ukuran dari partikel tanah adalah sangat beragam dengan variasi yang cukup besar. Tanah umumnya dapat disebut sebagai kerikil (*Gravel*), pasir (*sand*), lanau (*slit*), atau lempung (*clay*), tergantung pada ukuran partikel yang paling dominan pada tanah tersebut. Untuk menerangkan tentang tanah berdasarkan ukuran-ukuran partikelnya. Beberapa organisasi telah mengembangkan batasan-batasan ukuran jenis tanah (*soil-separate-size limits*). Das (1995) Pada Tabel 2.1 ditunjukkan batasan-batasan ukuran golongan jenis tanah yang telah dikembangkan oleh beberapa organisasi tersebut.

Tabel 2.1: Batasan-batasan ukuran golongan tanah (Das, 1995).

| Nama golongan | Ukuran Butiran (mm) | | | |
|---|---------------------|----------|--------------|---------|
| | Kerikil | Pasir | Lanau | Lempung |
| Massachusetts Institute of Technology (MIT) | >2 | 2 – 0,06 | 0,06 – 0,002 | <0,002 |

Tabel 2.1: *Lanjutan.*

| Nama golongan | Ukuran Butiran (mm) | | | |
|--|---------------------|--------------|---|---------|
| | Kerikil | Pasir | Lanau | Lempung |
| U.S. [Department of Agriculture (USDA)] | >2 | 2 – 0,05 | 0,05 – 0,002 | <0,002 |
| American Association of State Highway and Transportation Officials (AASHTO) | 76,2 - 2 | 2 – 0,075 | 0,075 – 0,002 | <0,002 |
| Unified Soil Classification System (U.S. Army Corps of Engineers, U. S. Bureau of Reclamation) | 76,2 – 4,74 | 4,75 – 0,075 | Halus (Yaitu lanau dan lempung) <0,0075 | |

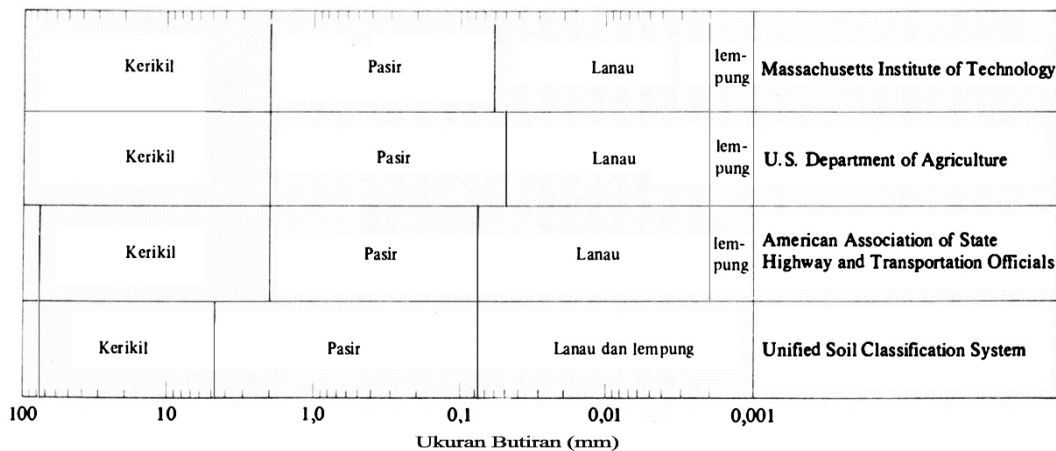
Society of Testing and Materi (ASTM) didalam buku Das (1995) Gambar 2.1 menunjukkan batasan-batasan ukuran dalam bentuk grafik.

Kerikil (gravel) adalah kepingan-kepingan dari batuan yang kadang-kadang juga mengandung partikel-partikel mineral *quartz*, *feldspar*, dan mineral-mineral lain.

Pasir (sand) sebagian besar terdiri dari mineral *quartz* dan *feldspar*. Butiran dari mineral yang lain mungkin juga masih ada pada golongan ini.

Lanau (silts) sebagian besar merupakan fraksi mikroskopis (berukuran sangat kecil) dari tanah yang terdiri dari butiran-butiran *quartz* yang sangat halus, dan sejumlah partikel berbentuk lempengan-lempengan pipih yang merupakan pecahan dari mineral-mineral mika.

Lempung (clays) sebagian besar terdiri dari partikel mikroskopis dan submikroskopis (tidak dapat dilihat dengan jelas bila hanya dengan mikroskopis biasa) yang berbentuk lempengan-lempengan pipih dan merupakan partikel-partikel dari mika,mineral-mineral lempung (*clay minerals*), dan mineral-mineral yang sangat halus lainnya.



Gambar 2.1: Batasan-batasan ukuran golongan tanah menurut beberapa sistem (Das, 1995).

2.2. Penyelidikan Tanah (*Soil Investigation*)

Penyelidikan tanah (*Soil Investigation*) secara awam penulis dapat diartikan kegiatan yang dilakukan terhadap tanah atau sampel tanah guna menganalisa jenis, sifat, maupun karakteristik dari tanah. Juga untuk mengetahui apakah tanah tersebut mampu menahan beban rencana diatasnya maupun dari pengaruh gaya vertikal ataupun horizontal. Penyelidikan tanah tersebut dapat dilakukan tes laboratorium dengan membawa sampel dari berbagai lapisan tanah atau juga dengan pengamatan langsung dilapangan (Hardiyatmo, 1996).

Penyelidikan tanah (*soil investigation*) ada dua jenis yaitu:

- 1) Penyelidikan di lapangan

Jenis penyelidikan di lapangan seperti pengeboran (*hand boring* ataupun *machine boring*), *Cone Penetrometer Test* (Sondir), *Standard Penetration Test (SPT)*, *Sand Cone Test* dan *Dynamic Cone Penetrometer*.

- 2) Penyelidikan di laboratorium

Jenis, sifat serta karakteristik dari tanah dapat diketahui dengan membawa sampel tanah dari hasil pengeboran ke laboratorium. Hasil yang diperoleh dapat digunakan untuk menghitung kapasitas daya dukung ultimit dan penurunan. Jenis penyelidikan di laboratorium terdiri dari uji *index properties* tanah (*Atterberg Limit*, *Water Content*, *Spesific Gravity*, *Sieve Analysis*)

dan *engineering properties* tanah (*Direct Shear Test*, *Triaxial Test*, *Consolidation Test*, *Permeability Test*, *Compaction Test*, dan CBR).

Dari hasil penyelidikan tanah diperoleh contoh tanah (*soil sampling*) yang dapat dibedakan menjadi dua yaitu:

1) Contoh tanah tidak terganggu (*undisturbed soil*)

Suatu contoh tanah dikatakan tidak terganggu apabila contoh tanah itu dianggap masih menunjukkan sifat-sifat asli tanah tersebut. Sifat asli yang dimaksud adalah contoh tanah tersebut tidak mengalami perubahan pada strukturnya, kadar air, atau susunan kimianya. Contoh tanah seperti ini tidaklah mungkin bisa didapatkan, akan tetapi dengan menggunakan teknik-teknik pelaksanaan yang baik, maka kerusakan-kerusakan pada contoh tanah tersebut dapat diminimalisir. *Undisturbed soil* digunakan untuk percobaan *engineering properties*.

2) Contoh tanah terganggu (*disturbed soil*)

Contoh tanah terganggu adalah contoh tanah yang diambil tanpa adanya usaha-usaha tertentu untuk melindungi struktur asli tanah tersebut. *Disturbed soil* digunakan untuk percobaan uji *index properties* tanah.

2.2.1. Pengujian Penetrasi Standar (SPT)

Pengujian Penetrasi Standar dimaksudkan yaitu untuk menentukan kepadatan relatif dan sudut geser lapisan tanah tersebut dari pengambilan contoh tanah dengan tabung, dapat diketahui jenis tanah dan ketebalan dari setiap lapisan tanah tersebut, untuk memperoleh data yang komulatif pada perlakuan penetrasi tanah dan menetapkan kepadatan dari tanah yang tidak berkohesi yang biasanya sulit diambil sampelnya (SNI 4153, 2008).

Pengujian Penetrasi Standar (SPT) adalah suatu metode uji yang dilaksanakan bersamaan dengan pengeboran untuk mengetahui, baik perlakuan dinamik tanah maupun pengambilan contoh terganggu dengan teknik penumbukan. Uji SPT terdiri atas uji pemukulan tabung belah dinding tebal ke dalam tanah, disertai pengukuran jumlah pukulan untuk memasukkan tabung belah sedalam 300 mm vertikal (N₂ + N₃). Dalam sistem beban jatuh ini digunakan palu dengan berat

63,5 kg, yang dijatuhkan secara berulang dengan tinggi jatuh 0,76 m. Pelaksanaan pengujian dibagi dalam tiga tahap, yaitu berturut-turut setebal 150 mm untuk masing-masing tahap (SNI 4153, 2008).

2.3. Parameter Tanah

Parameter tanah adalah ukuran atau acuan untuk mengetahui atau menilai hasil suatu proses perubahan yang terjadi dalam tanah baik dari sifat fisik dan jenis tanah. (Tabel 2.6 dan 2.7).

1. Modulus Young (E)

Nilai perkiraan modulus elastisitas dapat diperoleh dari pengujian SPT (*Standart Penetration Test*), Selain itu modulus elastisitas tanah dapat juga dicari dengan pendekatan terhadap jenis dan konsistensi tanah dengan N-SPT (Tabel 2.2).

Tabel 2.2: Korelasi N-SPT dengan Modulus Elastisitas pada tanah lempung (Randolph dan Wroth, 1978).

| Subsurface condition | Penetration resistance range N | E50 (%) | Poisson's Ratio (v) | Shear strength Su (psf) | Young's Modulus Range Es (psi) | Shear Modulus Range G (psi) |
|----------------------|--------------------------------|---------|---------------------|-------------------------|--------------------------------|-----------------------------|
| Very soft | 2 | 0,020 | 0,5 | 250 | 170-340 | 60-110 |
| Soft | 2-4 | 0,020 | 0,5 | 375 | 260-520 | 80-170 |
| Medium | 4-8 | 0,020 | 0,5 | 750 | 520-1040 | 170-340 |
| Stiff | 8-15 | 0,010 | 0,45 | 1500 | 1040-2080 | 340-690 |
| Very stiff | 15-30 | 0,005 | 0,40 | 3000 | 2080-4160 | 690-1390 |
| Hard | 30 | 0,004 | 0,35 | 4000 | 2890-5780 | 960-1930 |
| | 40 | 0,004 | 0,35 | 5000 | 3470-6940 | 1150-2310 |
| | 60 | 0,0035 | 0,30 | 7000 | 4860-9720 | 1620-3420 |
| | 80 | 0,0035 | 0,30 | 9000 | 6250-12500 | 2080-4160 |
| | 100 | 0,003 | 0,25 | 11000 | 7640-15270 | 2540-5090 |
| | 120 | 0,003 | 0,25 | 13000 | 9020-18050 | 3010-6020 |

2. Poisson's Ratio (ν')

Rasio Poisson sering dianggap sebesar 0,2 s.d 0,4 dalam pekerjaan-pekerjaan mekanika tanah. Nilai sebesar 0,5 biasanya dipakai untuk tanah jenuh dan nilai 0 sering dipakai untuk tanah kering dan tanah lainnya untuk kemudahan dalam perhitungan. Dalam Tabel 2.3 ditunjukkan hubungan antara jenis tanah, konsistensi dengan *poisson ratio*.

Tabel 2.3: Hubungan jenis tanah, konsistensi dan *poisson ratio* (ν') (Hardiyatmo, 1994).

| Soil Type | Description | (ν') |
|-----------|-------------|------------|
| Clay | Soft | 0.35-0.40 |
| | Medium | 0.30-0.35 |
| | Stiff | 0.20-0.30 |
| Sand | Loose | 0.15-0.25 |
| | Medium | 0.25-0.30 |
| | Dense | 0.25-0.35 |

3. Berat Jenis Tanah Kering (γ_{dry})

Berat jenis tanah kering adalah perbandingan antara berat tanah kering dengan satuan volume tanah. Berat jenis tanah kering dapat diperoleh dari data *Soil Test* dan *Direct Shear* dan di korelasikan dengan data N SPT pada Tabel 2.4 dan 2.5.

Tabel 2.4: Korelasi nilai berat isi dengan N SPT pada tanah lempung (Civiltech, 2017).

| Consistensi | Symbol (Psf) | Very soft | Soft | Medium | Stiff | Very stiff | Hard |
|-------------|------------------|-----------|--------------|---------------|---------------|---------------|-------|
| SPT | N _{spt} | 0-2 | 2-4 | 4-8 | 8-16 | 16-32 | >32 |
| UCS | q _u | 0-500 | 500- 1000 | 1000- 2000 | 2000- 4000 | 4000- 8000 | >8000 |
| Shear | c _u | 0-250 | 250-500 | 500-1000 | 4000 | 2000- 4000 | >4000 |
| Saturated | γ | <100 | 100-120 | 100-130 | 120-130 | 120-140 | >130 |

Tabel 2.5: Korelasi nilai berat isi dengan N SPT pada tanah pasir (Civiltech, 2017).

| Consistensi | Symbol (Psf) | Very Loose | Loose | Medium | Dense | Very Dense |
|-------------|-----------------|---------------|--------|---------|---------|------------|
| SPT | Nspt | 0-4 | 4-10 | 10-30 | 30-50 | >50 |
| Moist | γ | <100 | 95-125 | 110-130 | 110-140 | >130 |
| Submerged | γ | <60 | 55-65 | 60-70 | 65-85 | >75 |

4. Berat Jenis Tanah Jenuh (γ_{sat})

Berat jenis tanah jenuh adalah perbandingan antara berat tanah jenuh air dengan satuan volume tanah jenuh. Di mana ruang porinya terisi penuh oleh air (Soedarmo, 1993).

5. Sudut Geser Dalam (ϕ)

Sudut geser dalam bersama dengan kohesi merupakan faktor dari kuat geser tanah yang menentukan ketahanan tanah terhadap deformasi akibat tegangan yang bekerja pada tanah. Deformasi dapat terjadi akibat adanya kombinasi keadaan kritis dari tegangan normal dan tegangan geser. Nilai dari sudut geser dalam didapat dari *engineering properties* tanah, yaitu dengan *triaxial test* dan *direct shear test* (Soedarmo, 1993).

6. Kohesi (c)

Kohesi merupakan gaya tarik menarik antar partikel tanah. Bersama dengan sudut geser tanah, kohesi merupakan parameter kuat geser tanah yang menentukan ketahanan tanah terhadap deformasi akibat tegangan yang bekerja pada tanah. Selain itu nilai berat jenis tanah kering (γ_{dry}), berat jenis tanah jenuh (γ_{sat}), sudut geser (ϕ) dan kohesi (C) dapat juga di peroleh dari program Allpile dengan memasukkan nilai N-SPT (Soedarmo, 1993).

Dari Tabel 2.6 dapat dilihat jenis konsistensi dari tanah kohesif, misal pada tanah yang sangat lembek secara pengujian langsung ketika digenggam hilang antara jari tangan memiliki nilai N berkisar antara 0-2, memiliki nilai kuat geser *undrained* berkisar antara 0-10 dan nilai koefisien terganggu sebesar 1,0.

Tabel 2.6: Parameter rencana tiang tanah kohesif (BMS, 1992).

| Kondisi tanah kohesif | | | Kuat geser “undrained” rata-rata nominal, c_u kpa | Koefisien terganggu F_c |
|-----------------------|--|-----------|---|------------------------------|
| Konsistensi | | Nilai ‘N’ | | |
| Sangat Lembek | Hilang antara jari tangan | 0-2 | 0-10 | 1,0 |
| Lembek | Mudah di bentuk dengan jari | 2-4 | 10-25 | 1,0 |
| Teguh | Dapat di bentuk dengan jari dan tekanan kuat | 4-8 | 25-45 45-50 | 1,0 1,0-0,95 |
| Kenyal | Tidak dapat dibentuk dengan jari | 8-15 | 50-60 | 0,95-0,8 |
| | | | 60-80 | 0,8-0,65 |
| | | | 80-100 | 0,65-0,55 |
| Sangat Kenyal | Getas atau tahan | 15-30 | 100-120 | 0,55-0,45 |
| | | | 120-140 | 0,45-0,4 |
| | | | 140-160 | 0,4-0,35 |
| | | | 160-180 | 0,36-0,35 |
| | | | 180-200 | 0,35-0,34 |
| Keras | Keras | >30 | >200 | 0,34 |

Dari Tabel 2.7 dapat dilihat konsistensi tanah non kohesif, misal pada tanah dengan konsistensi padat dapat diketahui nilai N berkisar antara 30-50, batas kedalaman/diameter tiang sebesar 15, faktor gesekan rencana sebesar 0,8 untuk tiang bor dan nilai faktor kapasitas daya dukung sebesar 100 untuk tiang bor.

Tabel 2.7: Parameter rencana tiang untuk tanah non kohesif (BMS, 1992).

| Kondisi tanah | | Batas kedalaman/dia meter tiang Z_L/d | F_I | | N_q | |
|---------------|-------|--|------------------|---|------------------|--------------|
| | | | Tiang pancang | Tiang bora tau tiang cor di tempat | Tiang pancang | Tiang bor |
| Lepas | 0-10 | 6 | 0.8 | 0.3 | 60 | 25 |
| Sedang | 10-30 | 8 | 1.0 | 0.5 | 100 | 60 |
| Padat | 30-50 | 15 | 1.5 | 0.8 | 180 | 100 |

2.4. Pengertian Pondasi Tiang

Pondasi tiang adalah suatu konstruksi pondasi yang mampu menahan gaya *orthogonal* kesumbu tiang dengan jalan menyerap lenturan (Sosrodarsono dan Nakazawa, 1980). Pondasi tiang dibuat menjadi satu kesatuan dengan monolit menyatukan pangkal tiang pancang yang terdapat dibawah konstruksi, dengan tumpuan pondasi.

Pondasi tiang digunakan bila tanah pondasi pada kedalaman yang normal tidak mampu mendukung bebananya, dan tanah keras terletak pada kedalaman yang sangat dalam. Demikian pula bila pondasi bangunan terletak pada tanah timbunan yang cukup tinggi, sehingga bila bangunan diletakkan pada timbunan akan dipengaruhi oleh penurunan yang besar (Hardiyatmo, 1996).

Pondasi tiang secara umum dibedakan menjadi dua berdasarkan teknik pelaksanaan konstruksinya yaitu pondasi tiang bor (*Bored pile*) dan pondasi tiang pancang.

2.4.1.Pondasi Tiang Bor (*Bored Pile*)

Pondasi tiang bor merupakan pondasi yang konstruksinya dengan cara memasukkan langsung beton segar ke dalam lubang yang telah dibor yang sebelumnya juga telah dimasukkan tulangan baja yang telah dirakit ke dalam lubang pengeboran sebelumnya. Pondasi tiang bor dapat disebut sebagai *nondisplacementpile* dikarenakan prosesnya tidak menyebabkan perpindahan tanah.

Keuntungan dan kerugian pondasi tiang bor menurut Hardiyatmo (2008) adalah sebagai berikut:

Keuntungan-keuntungan pondasi tiang bor:

- a) Berdasar contoh tanah selama pengeboran dapat dipelajari kesesuaian kondisi tanah yang dijumpai dengan keadaan tanah dari *boring log* yang dilakukan pada waktu penyelidikan tanah.
- b) Diameter dan kedalaman lubang bor mudah divariasikan sehingga jika terjadi perubahan-perubahan dari rencana semula misalnya beban kolom berubah,

kondisi tanah berbeda dengan penyelidikan tanah dapat segera dilakukan penyesuaian-penesuaian.

- c) Penulangan tidak dipengaruhi oleh tegangan pada waktu pengangkutan dan pemancangan.
- d) Dapat dipergunakan untuk segala macam kondisi tanah misalnya harus menembus lapisan keras, kerakal, lensa-lensa batuan yang tidak dapat ditembus oleh tiang pancang.
- e) Tiang bor memiliki kapasitas yang besar dalam satu tiang karena diameter dapat divariasikan sampai 1,50 m, sehingga lebih ekonomis untuk beban-beban kolom yang besar terutama untuk pondasi bangunan tinggi. Dalam arti, 1 tiang bor dapat menggantikan suatu kelompok tiang pancang sehingga *pile cap* yang diperlukan praktis lebih kecil dan ekonomis.
- f) Tidak diperlukan sambungan tiang terutama untuk tiang-tiang yang dalam dimana pada tiang pancang mempunyai panjang yang terbatas sehingga harus disambung dan titik sambungan biasanya merupakan titik-titik perlemahan selama pemancangan.

Kerugian-kerugian pondasi tiang bor:

- a) Air yang mengalir kedalam lubang bor dapat mengakibatkan gangguan tanah, sehingga mengurangi kapasitas daya dukung tanah terhadap tiang sehingga diperlukan pengendalian yang baik.
- b) Teknis-teknis pelaksanaan kadang sangat sensitif terhadap keadaan tanah yang dijumpai sehingga diperlukan personil-personil kerja yang betul-betul berpengalaman.
- c) Kekurangan pengalaman, pengetahuan dari masalah-masalah pelaksanaan dan metode perencanaan dapat menimbulkan masalah-masalah seperti keterlambatan pelaksanaan daya dukung yang tidak dipenuhi dan sebagainya.
- d) Pengeboran dapat mengakibatkan gangguan kepadatan, bila tanah berupa pasir atau tanah yang berkerikil.
- e) Karena makin besar diameter tiang bor yang direncanakan makin besar pula daya dukungnya sehingga apabila diperlukan *loading test*, biayanya menjadi lebih mahal.

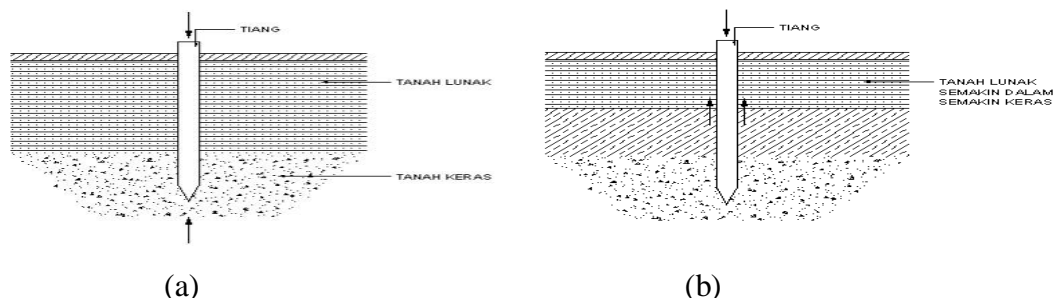
- f) Kondisi tanah di kaki tiang seringkali rusak akibat proses pengeboran. Adanya endapan tanah dari runtuhan dinding lubang bor atau sedimentasi lumpur menjadikan daya dukung ujung dari tiang bor tidak dapat diandalkan.
- g) Penyelesaian pondasi tiang bor memerlukan waktu yang cukup lama dikarenakan harus menunggu proses kesiapan pengujian beton pengecoran pondasi.

2.5 Kapasitas Daya Dukung

2.5.1 Tiang Dukung Ujung dan Tiang Geseck

Ditinjau dari cara mendukung beban, tiang dapat dibagi menjadi 2 (dua) macam (Hardiyatmo, 2002) yaitu:

- 1) Daya dukung ujung tiang (*end bearing pile*) adalah tiang yang kapasitas dukungnya ditentukan oleh tahanan ujung tiang. Tiang-tiang dipancang sampai mencapai batuan dasar atau lapisan keras lain yang dapat mendukung beban yang diperkirakan tidak mengakibatkan penurunan berlebihan. Kapasitas tiang sepenuhnya ditentukan dari tahanan dukung lapisan keras yang berada dibawah ujung tiang (Gambar 2.2a).
- 2) Tiang gesek (*friction pile*) adalah tiang yang kapasitas dukungnya lebih ditentukan oleh perlawanan gesek antara dinding tiang dan tanah disekitarnya (Gambar 2.2b).



Gambar 2.2: Tiang ditinjau dari cara mendukung bebannya: (a) *end bearing pile*, (b) *friction pile* (Hardiyatmo, 2002).

2.5.2 Kapasitas daya dukung dari data N-SPT

Standard Penetration Test (SPT) adalah sejenis percobaan dinamis dengan memasukkan suatu alat yang dinamakan *split spoon* kedalam tanah. Dengan percobaan ini akan diperoleh kepadatan relatif (*relative density*), sudut geser tanah (Φ) berdasarkan nilai jumlah pukulan (N). Hubungan kepadatan relatif, sudut geser tanah dan nilai N dari pasir dapat dilihat pada Tabel 2.8.

Tabel 2.8: Hubungan dari, Φ dan N dari pasir (Sosrodarsono, 1983).

| Nilai N | Kepadatan Relative (Dr) | Sudut Geser Dalam | |
|---------|-------------------------|-------------------|------------------|
| | | Menurut Peck | Menurut Meyerhof |
| 0-4 | 0,0-0,2 | Sangat lepas | < 28,5 |
| 4-10 | 0,2-0,4 | Lepas | 28,5-30 |
| 10-30 | 0,4-0,6 | Sedang | 30-36 |
| 30-50 | 0,6-0,8 | Padat | 36-41 |
| > 50 | 0,8-1,0 | Sangat Padat | < 41 |
| | | | > 45 |

Perkiraan kapasitas daya dukung pondasi tiang pada tanah pasir dan lempung didasarkan pada data uji lapangan SPT Briaud dalam buku (Das, 2007) mengusulkan persamaan korelasi parameter tanah yang digunakan untuk membantu menghitung tahanan ujung tiang yang ditentukan dengan perumusan sebagai berikut :

1. Kekuatan ujung tiang (*end bearing*) dan kekuatan lekatan (*skin friction*) pada tanah non kohesif dengan korelasi parameter tanah Briaud (Das, 2007) ditunjukkan dalam Pers. 2.1 dan 2.2.

Kekuatan ujung tiang :

$$Q_p = A_p \cdot 19.7 p_a (N) ^{0,36} \quad (2.1)$$

Dimana :

N = nilai rata-rata dari angka standart penetrasi di dekat titik tumpuan (sekitar 10D di atas dan 4D di bawah titik tumpuan)

p_a = tekanan atmosfir (<100 kN> m² atau 2000 lb> ft²)

A_p = Luas penampang tiang

Untuk tahanan geser selimut tiang :

$$Q_s = pL f_{av} \quad (2.2)$$

$$\text{Dengan } f_{av} = 0.224 p_a (N) ^{0.29} \quad (2.3)$$

Dimana :

p = keliling tiang untuk bagian yang di tinjau

L = Kedalaman pondasi *bored pile*

D = Diameter tiang

Luas penampang tiang

$$A_p = \frac{1}{4} \cdot \pi \cdot D^2 \quad (2.4)$$

$$p = \pi \cdot D \quad (2.5)$$

2. Kekuatan ujung tiang (*end bearing*) dan kekuatan lekatan (*skin friction*) pada tanah kohesif menurut Vesic (Das, 1995) ditunjukkan dalam persamaan berikut:

Daya dukung ujung tiang:

$$Q_p = A_p \cdot N_c \cdot C_u \quad (2.6)$$

Untuk nilai N_c (faktor daya dukung) berdasarkan teori dari teori Vesic (Das, 1995) dapat dilihat pada Tabel 2.9.

Tabel 2.9: Nilai faktor daya dukung menurut teori Vesic (Das, 1995).

| I_{rr} | N_c |
|----------|-------|
| 10 | 6,97 |
| 20 | 7,90 |
| 40 | 8,82 |
| 60 | 9,36 |
| 80 | 9,75 |
| 100 | 10,04 |
| 200 | 10,97 |
| 300 | 11,51 |

Tabel 2.9: *Lanjutan.*

| I_{rr} | N_c |
|----------|-------|
| 400 | 11,89 |
| 500 | 12,19 |

$$I_r = I_{rr} = 347 \left(\frac{C_u}{P_a} \right) - 33 \quad (2.7)$$

Daya dukung selimut tiang (λ Method)

$$f_{av} = \lambda(\sigma_o + 2C_u) \quad (2.9)$$

$$Q_s = pL f_{av} \quad (2.10)$$

Dengan mengetahui kedalaman pondasi yang di tinjau, maka untuk menentukan berapa besarnya nilai λ dapat dilihat pada Tabel 2.10.

Tabel 2.10: Variasi nilai λ berdasarkan λ Method (Das, 1995).

| Embedment Length, L (m) | λ |
|-------------------------|-----------|
| 0 | 0,5 |
| 5 | 0,336 |
| 10 | 0,245 |
| 15 | 0,200 |
| 20 | 0,173 |
| 25 | 0,150 |
| 30 | 0,136 |
| 35 | 0,132 |
| 40 | 0,127 |
| 50 | 0,118 |
| 60 | 0,113 |
| 70 | 0,110 |
| 80 | 0,110 |
| 90 | 0,110 |

$$\sigma_o = \gamma \cdot L \quad (2.11)$$

Dimana :

| | |
|----------|--|
| C_u | = Kohesi <i>Undrained</i> |
| L | = panjang lapisan tanah yang di tinjau |
| N_c | = faktor daya dukung |
| γ | = Berat isi tanah |

Adapun perkiraan kapasitas daya dukung pondasi tiang pada tanah kohesi dan non kohesi didasarkan pada data uji laboratorium, Reese and O'neill (Das, 2007) mengusulkan persamaan untuk menghitung tahanan ujung tiang ditentukan dengan perumusan sebagai berikut:

1. Kekuatan ujung tiang dan kekuatan lekatan pada tanah kohesif menurut Reese and O'neil (Das, 2007) ditunjukkan dalam persamaan berikut:

Kekuatan ujung tiang

$$Q_b = A_p \cdot N_c \cdot C_u \quad (2.12)$$

Tahanan geser selimut tiang:

$$Q_s = \alpha \cdot C_u \cdot p \cdot \Delta L \quad (2.13)$$

Dimana:

p = Keliling

C_u = Kohesif lapisan tanah yang tidak teratur

α = Faktor adhesi

ΔL = Kedalaman

A_p = Luas penampang

Adapun Pers. Untuk mencari nilai α sesuai Pers. 2.14:

$$\alpha = 0,55 \rightarrow \text{jika } \frac{C_u}{P_a} \leq 1,5$$

$$0,55 - 0,1 \cdot \left(\frac{C_u}{P_a} - 1,5 \right) \rightarrow \text{jika } 1,5 < \frac{C_u}{P_a} \leq 2,5 \quad (2.14)$$

Luas selimut tiang sesuai Pers.2.15

$$p = \pi \cdot D \quad (2.15)$$

Luas penampang tiang sesuai Pers.2.16

$$A_p = \frac{1}{4} \cdot \pi \cdot D^2 \quad (2.16)$$

2. Kekuatan ujung tiang dan kekuatan lekatan pada tanah non-kohesif menurut Resse and O'neill (Das, 2007) ditunjukkan dalam persamaan berikut:
Kekuatan ujung tiang sesuai Pers. 2.17

$$Q_b = q_p \cdot a_p \quad (2.17)$$

Adapun Pers. Untuk mencari nilai q_p sesuai Pers. 2.18

$$q_p = 57,5 \cdot N_{sp} \cdot A_p \quad (2.18)$$

Tahanan geser selimut tiang Pers. 2.19

$$Q_s = \sum f \cdot p \cdot \Delta L \quad (2.19)$$

Adapun Pers. Untuk mencari nilai f Pers. 2.20

$$f = \beta \cdot \sigma \quad (2.20)$$

3. Berdasarkan metode α untuk mencari nilai tahanan geser selimut juga bisa berdasarkan persamaan berikut:

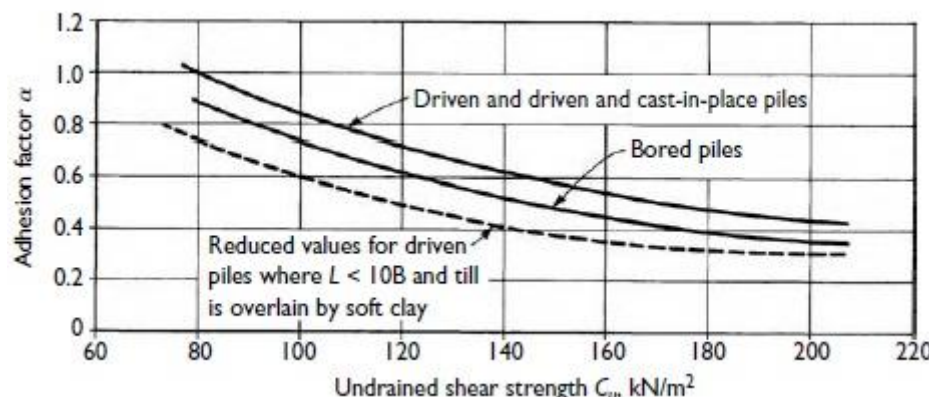
$$Q_s = \sum f \cdot p \cdot \Delta L = \sum \alpha C_u p \cdot \Delta L \quad (2.21)$$

Dengan

$$f = \alpha C_u \quad (2.22)$$

$$\alpha = C \left(\frac{\sigma_o}{C_u} \right)^{0,45} \quad (2.23)$$

Diluar dari Pers. 2.23 untuk menentukan besarnya nilai α bisa juga ditentukan dengan melihat grafik (Gambar 2.3).



Gambar 2.3: Faktor adhesi untuk tiang pada tanah lempung (Tomlinson dan Woodward, 1977).

2.6. Faktor Keamanan

Daya dukung ijin pondasi tiang untuk beban aksial, Q_a atau Q_{ult} , dengan suatu faktor keamanan (FK) baik secara keseluruhan maupun secara terpisah dengan menerapkan faktor keamanan pada daya dukung selimut tiang dan pada tahanan ujungnya. Karena itu daya dukung ijin tiang dapat dinyatakan dalam Pers. 2.24 dan 2.25:

$$Q_a = \frac{Q_u}{FK} \quad (2.24)$$

$$Q_a = \frac{Q_p}{FK \text{ ujung}} + \frac{Q_s}{FK \text{ selimut}} \quad (2.25)$$

Untuk menentukan faktor keamanan dapat digunakan klasifikasi struktur bangunan menurut Reese and O'neil (Hardiyatmo, 2008) sebagai berikut:

1. Bangunan monumental, umumnya memiliki umur rencana melebihi 100 tahun, seperti Tugu Monas, Monumen Garuda wisnu kencana, jembatan-jembatan besar, dan lain-lain.
2. Bangunan permanen, umumnya adalah bangunan gedung, jembatan, jalan raya dan jalan kereta api, dan memiliki umur rencana 50 tahun.
3. Bangunan sementara, umur rencana bangunan kurang dari 25 tahun.

Faktor-faktor lain kemudian ditentukan berdasarkan tingkat pengendaliannya pada saat konstruksi.

1. Pengendalian baik: kondisi tanah cukup homogen dan konstruksi didasarkan pada program penyelidikan geoteknik yang tepat dan profesional, terdapat informasi uji pembebahan di dekat lokasi proyek dan pengawasan konstruksi dilaksanakan secara ketat (Tabel 2.11).
2. Pengendalian normal: Situasi yang paling umum, hampir serupa dengan kondisi diatas, tetapi kondisi tanah bervariasi dan tidak tersedia data pengujian tanah (Tabel 2.11).
3. Pengendalian kurang: Tidak ada uji pembebahan, kondisi tanah sulit dan bervariasi, tetapi pengujian geoteknik dilakukan dengan baik (Tabel 2.11).
4. Pengendalian buruk: Kondisi tanah amat buruk dan sukar ditentukan, penyelidikan geoteknik tidak memadai (Tabel 2.11).

Tabel 2.11: Faktor keamanan untuk pondasi tiang menurut Reese dan O’Neil; Pugsley (Hardiyatmo, 2008).

| Klasifikasi struktur bangunan | Bangunan monumental | Bangunan permanen | Bangunan sementara |
|--|---------------------|-------------------|--------------------|
| Probabilitas kegagalan yang dapat diterima | 10-3 | 10-4 | 10-3 |
| FK (Pengendalian baik) | 2.3 | 2.0 | 1.4 |
| FK (Pengendalian normal) | 3.0 | 2.5 | 2.0 |
| FK (Pengendalian kurang) | 3.5 | 2.8 | 2.3 |
| FK (Pengendalian buruk) | 4.0 | 3.4 | 2.8 |

2.7. Penurunan Tiang Elastis

Untuk tiang dengan penurunan segera/elastis (*Immediate/Ellastic Settlement*) penurunan yang dihasilkan oleh perubahan bentuk tanah yang tertekan, dan terjadi pada volume konstan. Termasuk penurunan pada tanah-tanah berbutir kasar dan tanah-tanah berbutir halus yang tidak jenuh, karena penurunan terjadi segera setelah terjadi penerapan beban.

Persamaan penurunan segera atau penurunan elastis dari pondasi yang diasumsikan terletak pada tanah yang homogen, elastis dan isotropis pada media semi tak terhingga, dinyatakan dengan persamaan sebagai berikut:

Penurunan tiang tunggal akibat beban yang bekerja vertikal

$$S = S_1 + S_2 + S_3 \quad (2.26)$$

Dimana :

S = Penurunan total

S_1 = Penurunan batang tiang

S_2 = Penurunan tiang akibat beban di ujung tiang

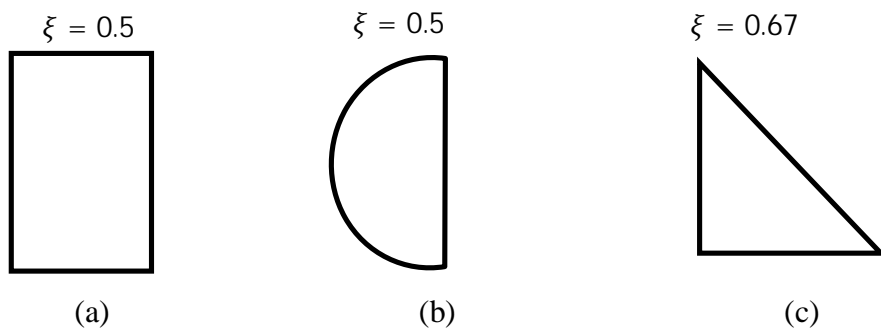
S_3 = Penurunan tiang akibat beban yang tersalurkan sepanjang tiang

Menentukan S1 sesuai Pers.2.27

$$S_1 = \frac{(Q_{wp} + \xi Q_{ws}) \cdot L}{A_p \cdot E_p} \quad (2.27)$$

Dimana :

- S = Penurunan elastis dari tiang (mm)
- Q_{wp} = Daya dukung pada ujung tiang dikurangi daya dukung *friction* (kN)
- Q_{ws} = Daya dukung *friction* (kN)
- A_p = Luas penampang tiang pancang (m^2)
- L = Panjang tiang pancang (m)
- E_p = Modulus elastisitas dari bahan tiang (kN/ m^2)
- ξ = Koefisien dari *skin friction* (Gambar 2.5 b)
- D = Diameter tiang (m)



Gambar 2.5: Variasi jenis bentuk unit tahanan friksi (kulit) alami terdistribusi sepanjang tiang tertanam ke dalam tanah: (a) bentuk penampang unit tinjauan bujur sangkar, (b) bentuk penampang unit tinjauan lingkaran, (c) bentuk penampang tinjauan segitiga (Das, 2007).

Menentukan S2 sesuai Pers. 2.28 dan 2.29

$$S_2 = \frac{(q_{wp}D)}{E_b} (1 - \mu_s^2) l_{wp} \quad (2.28)$$

$$q_{wp} = \frac{Q_{wp}}{A_p} \quad (2.29)$$

Dimana:

- q_{wp} : Beban titik per satuan luas ujung tiang
- Q_{ws} : Beban yang dipikul selimut tiang akibat beban kerja
- D : Lebar atau diameter tiang

- I_{wp} : Faktor pengaruh
 E_b : Modulus elastisitas tanah sesuai Pers. 2.32

Menentukan S_3 sesuai Pers. 2.30

$$S_3 = \left(\frac{Q_{ws}}{PL} \right) \frac{D}{E_s} (1 - \mu_s^2) I_{ws} \quad (2.30)$$

Dimana:

- P : Keliling tiang
 L : Panjang tiang yang tertanam
 I_{ws} : Faktor pengaruh sesuai Pers. 2.31
 $\frac{Q_{ws}}{PL}$: Nilai rata-rata friksi sepanjang tiang

$$I_{ws} = 2 + 0.35 \sqrt{\frac{L}{D}} \quad (2.31)$$

Karena sifat tanah yang berbeda beda untuk mendapatkan nilai E_s (nilai modulus elastisitas pada tanah) dapat dilihat pada Tabel 2.12 berdasarkan jenis tanah dan atau berdasarkan kedalaman atau dengan menggunakan data SPT, maka dapat di rumuskan sesuai Pers. 2.32.

$$E_s = 2,5 \cdot q_c \text{ kN/m}^2 \quad (2.32)$$

Tabel 2.12 : Nilai umum modulus elastisitas tanah (Das, 2009).

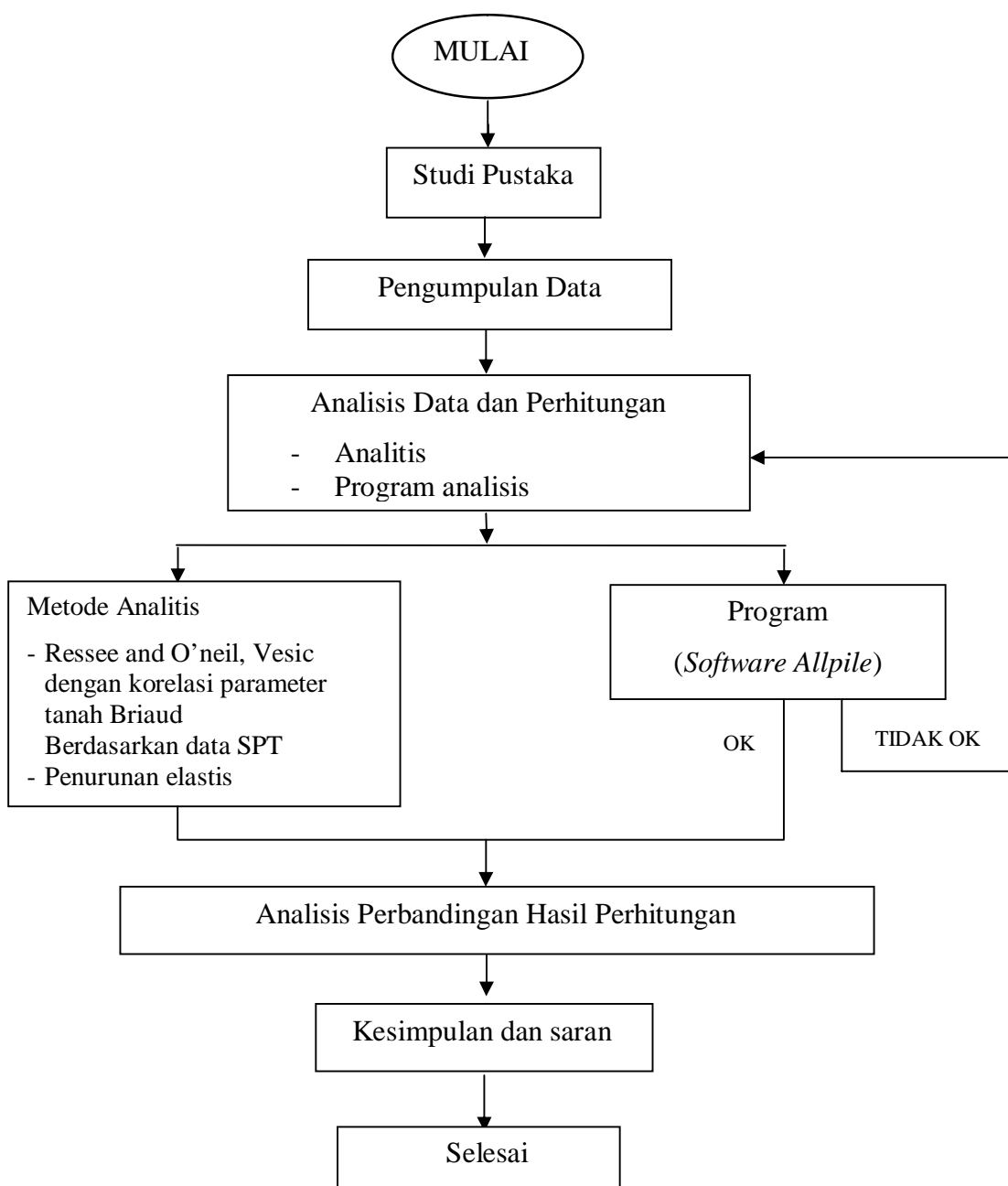
| TYPE | E_s (kN/m^2) |
|-------------------------------|---------------------------|
| Coarse and medium coarse sand | |
| Loose | 25.000 - 35000 |
| Medium dense | 30000 - 40000 |
| dense | 40000 - 45000 |
| Sandy silt | |
| loose | 8000 - 12000 |
| Medium dense | 10000 - 12000 |
| Dense | 12000 – 15000 |

BAB 3

METODOLOGI PENELITIAN

3.1. Diagram Alir Penelitian

Tahapan perencanaan disajikan secara sistematis dalam Gambar 3.1.



Gambar 3.1: Diagram alir penelitian.

Berdasarkan diagram alir diatas dapat kita lihat proses studi kasus yang penulis lakukan sebagai berikut:

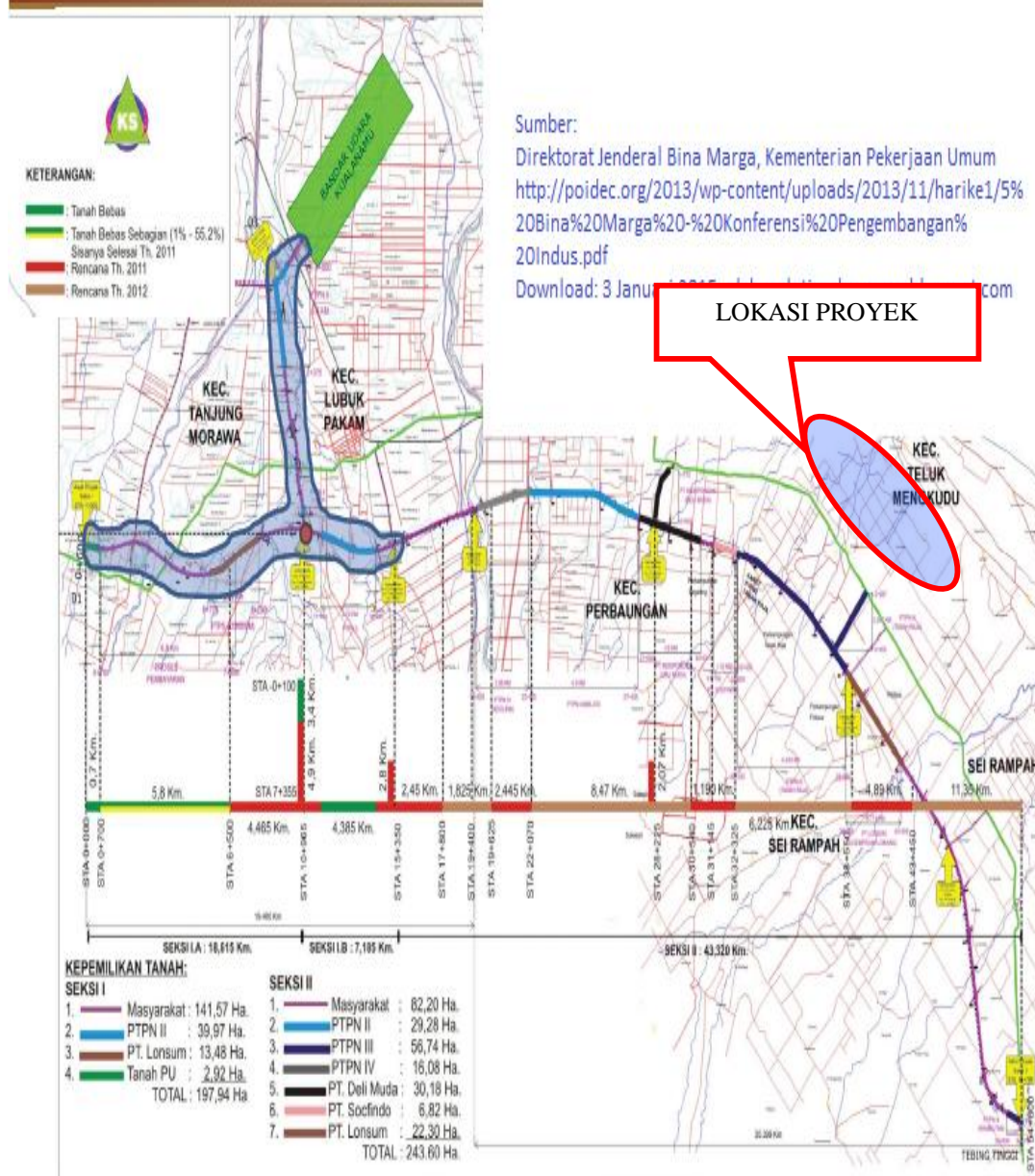
1. Memulai dengan penetapan lokasi proyek sebagai objek studi kasus.
2. Pengumpulan studi pustaka sebagai referensi ilmu pengetahuan dalam penulisa tugas akhir sehingga setiap isi dari tugas akhir ini dapat dipertanggungjawabkan secara ilmu pengetahuan.
3. Pengumpulan data yang penulis lakukan dengan meminta langsung kepada kontraktor pelaksana proyek yaitu PT.Waskita Karya (persero).
4. Analisis data dan perhitungan dilakukan dengan dua metode yaitu analitis dan bantuan program komputer yaitu software Allpile, namun jika perhitungan menggunakan program komputer mendapatkan hasil yang tidak sesuai atau dalam hal ini penulis menyebutnya tidak ok, maka dilakukan lagi analisa pada parameter tanah.
5. Membandingkan hasil dari perhitungan analitis dengan perhitungan menggunakan program komputer.
6. Menyimpulkan perhitungan yang telah dilakukan.
7. Selesai.

3.2. Data Umum Proyek

Data umum dari proyek Pembangunan Jalan Tol Medan-Kualanamu-Tebing Tinggi (MKTT) Seksi 6, Sumatera Utara adalah sebagai berikut:

1. Nama Proyek : Pembangunan Jalan Tol MKTT Seksi 6
2. Lokasi Proyek : Teluk Mengkudu, Sei Rampah
3. Kontraktor Pelaksana : PT. Waskita Karya (persero)
4. Denah lokasi proyek dapat dilihat pada Gambar 3.2.

PEMBANGUNAN JALAN TOL MEDAN – KUALANAMU – TB. TINGGI



Gambar 3.2: Denah lokasi proyek pembangunan jalan tol Medan-Kualanamu-Tebing Tinggi (Seksi 6).

3.3. Lokasi Titik Pengeboran

Penulis memilih 3 titik pengeboran yaitu di lokasi teluk mengkudu sei rampah desa pematang ganjang dan seperti yang diperlihatkan pada Gambar 3.3 dan Gambar 3.4.



Gambar 3.3: Lokasi titik pengeboran BH-1 (Dokumentasi PT. Waskita Karya Seksi 6).



Gambar 3.4: Lokasi titik pengeboran BH-2 dan BH-3 (Dokumentasi PT. Waskita Karya Seksi 6).

3.4. Pengumpulan Data

Data yang digunakan pada tugas akhir ini keseluruhannya merupakan data yang bersifat sekunder. Data sekunder dalam penelitian ini meliputi data tanah yang merupakan hasil dari pengujian *Standart Penetration Test (SPT)*.

3.5. Analisis Data Tanah

Data propertis material dalam penelitian ini adalah data Sekunder yang diperoleh dari pihak kontraktor yang menangani pekerjaan pembangunan Jalan Tol Medan-Kualanamu-Tebing Tinggi (seksi 6). Data lapangan yang dimaksud ialah data uji penetrasi standar (SPT) sedalam 30 m (Tabel 3.1 s.d 3.3) yang terletak dalam kawasan pembangunan.

Dari Tabel 3.1 dapat dilihat hasil dari pengujian penetrasi standart disetiap kedalaman yang di tinjau. Dimulai pada kedalaman 2 meter untuk memasukkan tabung belah pada kedalaman N1 dibutuhkan pukulan atau tumbukan sebanyak 2 kali, kemudian untuk kedalaman N2 dibutuhkan pukulan atau tumbukan sebanyak 4 kali, dan untuk kedalaman N3 dibutuhkan pukulan atau tumbukan sebanyak 3 kali sehingga didapat N value sebesar 7 yang merupakan nilai SPT pada kedalaman 2 meter.

Tabel 3.1 : Data uji lapangan *standard penetration Test* (SPT) pada BH-1.

| Depth | Jenis Tanah | Standart Penetration Test (SPT) | | | N Value | N Value Graph | | |
|-------|-------------|---------------------------------|-------|-------|---------|---------------|--|--|
| | | No of Blows | | | | | | |
| | | 0-15 | 15-30 | 30-45 | | | | |
| 0 | | | | | 0 | | | |
| 2 | clay | 2 | 4 | 3 | 7 | | | |
| 4 | clay | 3 | 5 | 6 | 11 | | | |
| 6 | clay | 4 | 7 | 8 | 15 | | | |
| 8 | clay | 6 | 8 | 10 | 18 | | | |
| 10 | sand | 7 | 9 | 12 | 21 | | | |
| 12 | sand | 9 | 11 | 14 | 25 | | | |
| 14 | sand | 11 | 13 | 16 | 29 | | | |
| 16 | sand | 14 | 17 | 20 | 37 | | | |
| 18 | sand | 17 | 24 | 29 | 53 | | | |
| 20 | sand | 20 | 27 | 33 | 60 | | | |
| 22 | sand | - | - | - | 60 | | | |
| 24 | sand | - | - | - | 60 | | | |
| 26 | sand | - | - | - | 60 | | | |
| 28 | sand | - | - | - | 60 | | | |
| 30 | sand | - | - | - | 60 | | | |
| | | | | | | | | |

Dari Tabel 3.2 dapat dilihat hasil dari pengujian penetrasi standart disetiap kedalaman yang di tinjau. Dimulai pada kedalaman 2 meter untuk memasukkan tabung belah pada kedalaman N1 dibutuhkan pukulan atau tumbukan sebanyak 3 kali, kemudian untuk kedalaman N2 dibutuhkan pukulan atau tumbukan sebanyak 4 kali, dan untuk kedalaman N3 dibutuhkan pukulan atau tumbukan sebanyak 4 kali sehingga didapat N value sebesar 8 yang merupakan nilai SPT pada kedalaman 2 meter. Cara baca pada kedalaman selanjutnya sama dengan kedalaman 2 meter.

Tabel 3.2 : Data uji lapangan *standard penetration Test* (SPT) pada BH-2.

| Depth | Jenis Tanah | Standart Penetration Test (SPT) | | | N Value Graph | |
|-------|-------------|---------------------------------|-------|-------|---------------|--|
| | | No of Blows | | | | |
| | | 0-15 | 15-30 | 30-45 | | |
| 0 | | 0 | 0 | 0 | 0 | |
| 2 | Clay | 3 | 4 | 4 | 8 | |
| 4 | Clay | 4 | 6 | 7 | 13 | |
| 6 | Clay | 3 | 4 | 5 | 9 | |
| 8 | sand | 8 | 10 | 14 | 24 | |
| 10 | sand | 10 | 12 | 16 | 28 | |
| 12 | sand | 9 | 13 | 18 | 31 | |
| 14 | sand | 14 | 20 | 35 | 55 | |
| 16 | sand | 17 | 35 | 42 | 60 | |
| 18 | sand | - | - | - | 60 | |
| 20 | sand | - | - | - | 60 | |
| 22 | sand | - | - | - | 60 | |
| 24 | sand | - | - | - | 60 | |
| 26 | sand | - | - | - | 60 | |
| 28 | sand | - | - | - | 60 | |
| 30 | sand | - | - | - | 60 | |

Dari Tabel 3.3 dapat dilihat hasil dari pengujian penetrasi standart disetiap kedalaman yang di tinjau. Dimulai pada kedalaman 2 meter untuk memasukkan tabung belah pada kedalaman N1 dibutuhkan pukulan atau tumbukan sebanyak 3 kali, kemudian untuk kedalaman N2 dibutuhkan pukulan atau tumbukan sebanyak 2 kali, dan untuk kedalaman N3 dibutuhkan pukulan atau tumbukan sebanyak 4 kali sehingga didapat N value sebesar 6 yang merupakan nilai SPT pada kedalaman 2 meter. Cara baca pada kedalaman selanjutnya sama dengan kedalaman 2 meter.

Tabel 3.3 : Data uji lapangan *standard penetration Test* (SPT) pada BH-3.

| Depth | Jenis Tanah | Standart Penetration Test (SPT) | | | N Value Graph | |
|-------|-------------|---------------------------------|-------|---------|---------------|--|
| | | No of Blows | | N Value | | |
| | | 0-15 | 15-30 | | | |
| 0 | | 0 | 0 | 0 | | |
| 2 | clay | 3 | 2 | 6 | | |
| 4 | clay | 4 | 5 | 12 | | |
| 6 | clay | 3 | 4 | 10 | | |
| 8 | clay | 5 | 7 | 16 | | |
| 10 | clay | 7 | 8 | 19 | | |
| 12 | sand | 12 | 16 | 36 | | |
| 14 | Sand | 18 | 24 | 56 | | |
| 16 | sand | - | - | 60 | | |
| 18 | sand | - | - | 60 | | |
| 20 | sand | - | - | 60 | | |
| 22 | sand | - | - | 60 | | |
| 24 | sand | - | - | 60 | | |
| 26 | sand | - | - | 60 | | |
| 28 | sand | - | - | 60 | | |
| 30 | sand | - | - | 60 | | |

The graph shows a series of blue diamond-shaped data points connected by a line, forming a downward-sloping curve. The x-axis is labeled with depth values from 0 to 30 in increments of 2. The y-axis is labeled with N value from 0 to 30 in increments of 2. The data points correspond to the N values listed in the table for each depth.

3.6. Tahap penelitian

Penulis melakukan beberapa tahapan pelaksanaan sehingga tercapai maksud dan tujuan dari penelitian. Mengingat kembali pada bab I, tujuan penelitian adalah untuk mengetahui besarnya daya dukung dan penurunan yang terjadi pada pondasi *bored pile* berdasarkan rumus dari beberapa metode yang didasarkan pada data pengujian di lapangan dan pengujian di laboratorium serta menganalisis besarnya daya dukung aksial pondasi *bored pile* menggunakan metode analitis

dan dikembangkan kedalam program analitis. Dalam mencapai tujuan tersebut, maka dilakukan tahap sebagai berikut:

1. Tahap pertama

Mengumpulkan berbagai jenis buku, jurnal dan makalah atau artikel yang mendukung terhadap pengerjaan Tugas Akhir ini sesuai dengan judul yang akan dibahas.

2. Tahap kedua

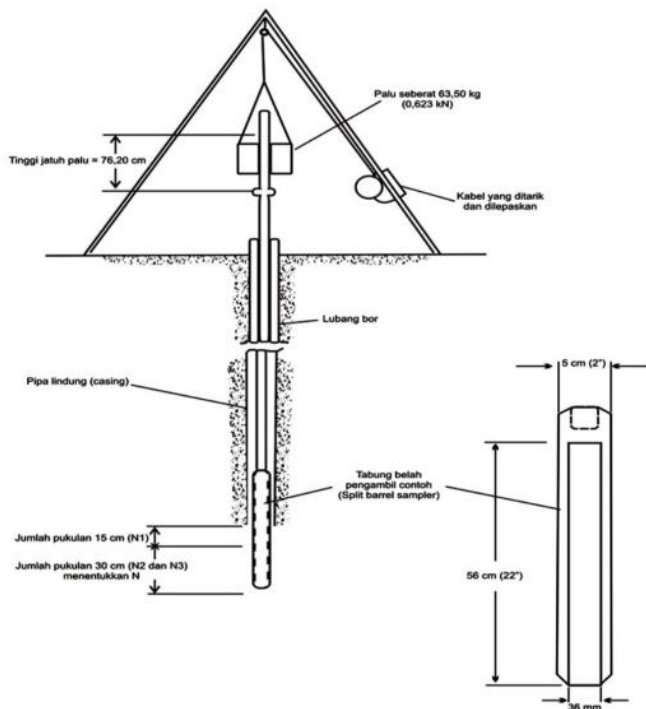
Pada tahap ini dilakukan pengumpulan data hasil SPT, pengujian laboratorium yang diperoleh dari pihak kontraktor yaitu PT. Waskita Karya (Persero).

2.1 Pengujian penetrasi standart

- a. Persiapan pengujian

Lakukan persiapan pengujian SPT di lapangan dengan tahapan sebagai berikut (Gambar 3.5):

- 1) Pasang blok penahan (*knocking block*) pada pipa bor;
- 2) Beri tanda pada ketinggian sekitar 75 cm pada pipa bor yang berada di atas penahan;
- 3) Bersihkan lubang bor pada kedalaman yang akan dilakukan pengujian dari bekas-bekas pengeboran;
- 4) Pasang split barrel sampler pada pipa bor, dan pada ujung lainnya disambungkan dengan pipa bor yang telah dipasangi blok penahan;
- 5) Masukkan peralatan uji SPT ke dalam dasar lubang bor atau sampai kedalaman pengujian yang diinginkan;
- 6) Beri tanda pada batang bor mulai dari muka tanah sampai ketinggian 15 cm, 30 cm dan 45 cm.



Gambar 3.5: Pengujian penetrasi standar (SPT) (SNI 4153, 2008).

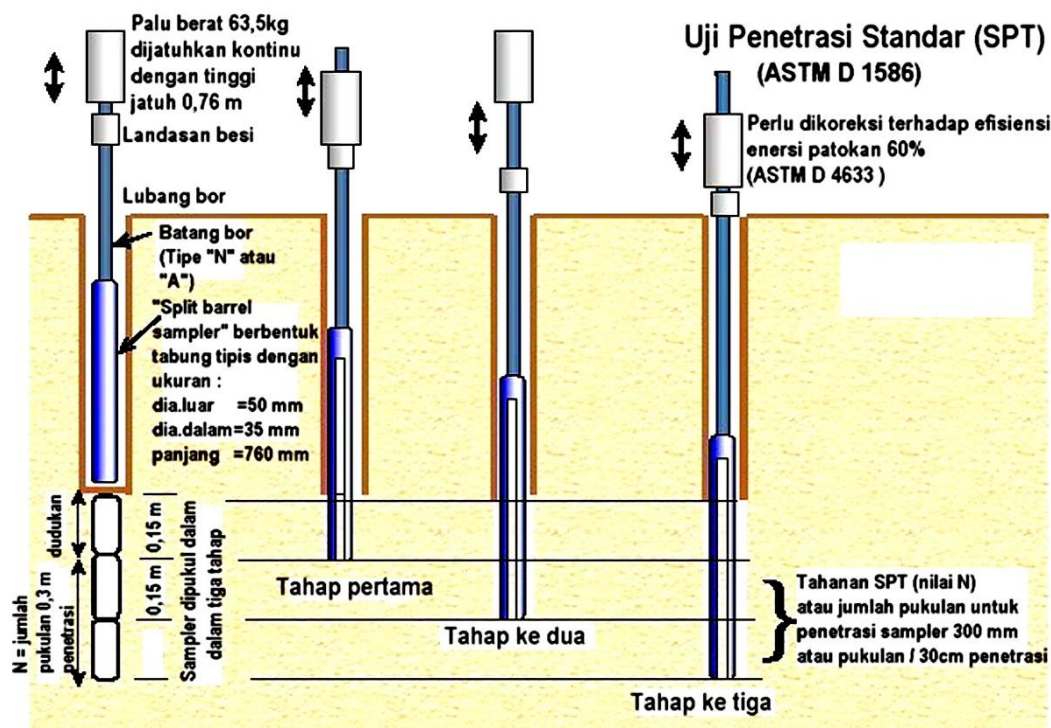
b. Prosedur Pengujian

Lakukan pengujian dengan tahapan sebagai berikut (Gambar 3.6):

- 1) Lakukan pengujian pada setiap perubahan lapisan tanah atau pada interval sekitar 1,50 m s.d 2,00 m atau sesuai keperluan;
- 2) Tarik tali pengikat palu (*hammer*) sampai pada tanda yang telah dibuat sebelumnya (kira-kira 75 cm);
- 3) Lepaskan tali sehingga palu jatuh bebas menimpa penahan; Ulangi 2) dan 3) berkali-kali sampai mencapai penetrasi 15 cm;
- 4) Hitung jumlah pukulan atau tumbukan N pada penetrasi 15 cm yang pertama;
- 5) Ulangi 2), 3), 4) dan 5) sampai pada penetrasi 15 cm yang ke-dua dan ketiga;
- 6) Catat jumlah pukulan N pada setiap penetrasi 15 cm:
 - 15 cm pertama dicatat N1;
 - 15 cm ke-dua dicatat N2;
 - 15 cm ke-tiga dicatat N3;
 - Jumlah pukulan yang dihitung adalah N2 + N3. Nilai N1 tidak

diperhitungkan karena masih kotor bekas pengeboran;

- 7) Bila nilai N lebih besar daripada 50 pukulan, hentikan pengujian dan tambah pengujian sampai minimum 6 meter;
- 8) Catat jumlah pukulan pada setiap penetrasi 5 cm untuk jenis tanah batuan.



Gambar 3.6: Skema urutan pengujian penetrasi standar (SPT) (SNI 4153, 2008).

3. Tahap ketiga

Melakukan analisis antara data yang diperoleh dari lapangan dengan buku dan referensi lain yang sesuai dengan penelitian tentang penggunaan teori yang sesuai.

4. Tahap keempat

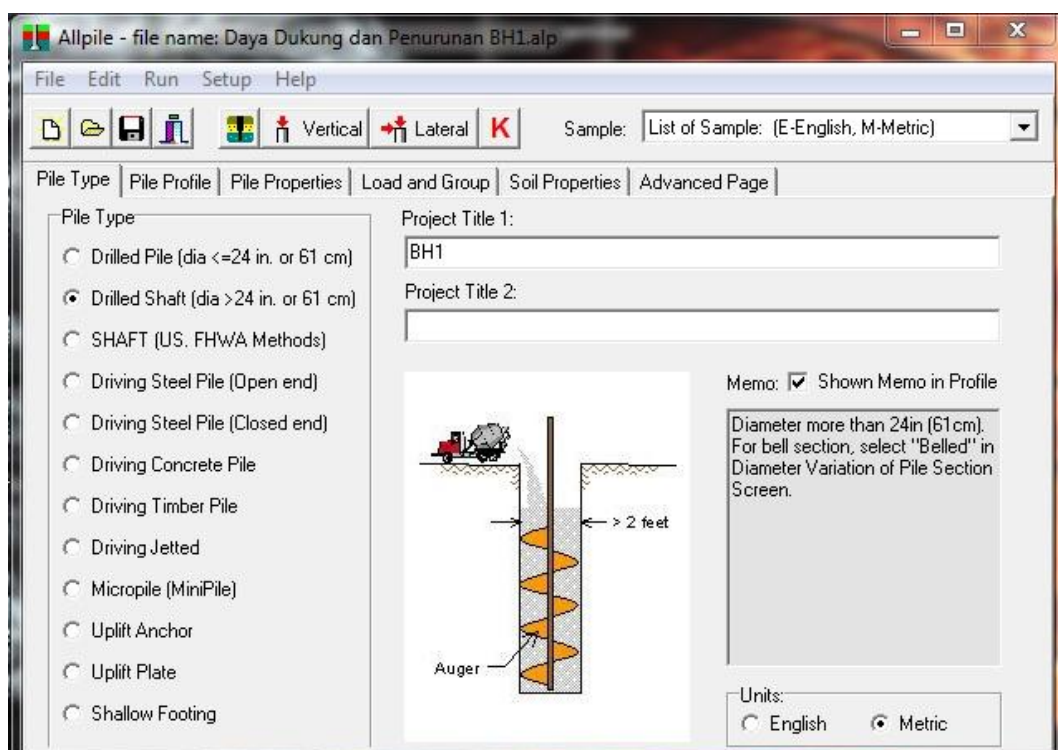
Pada tahap ini dilakukan studi parameter tanah, untuk mendapatkan parameter tanah berdasarkan pendekatan terhadap jenis dan konsistensi tanah dari beberapa sumber dan referensi yang ada. Hal ini di karenakan data pengujian di laboratorium tidak mencakup semua sampel tanah di masing masing lapisan.

5. Tahap kelima

Pada tahap ini dilakukan perhitungan daya dukung dan penurunan secara analitis dengan metode Vesic dengan korelasi parameter tanah Briaud serta metode Resse and O'neil, kemudian melakukan pemodelan tanah dengan *software all pile* untuk mendapatkan daya dukung dan penurunan elastis pondasi tiang bor.

5.1 Daya dukung dengan program *Allpile*.

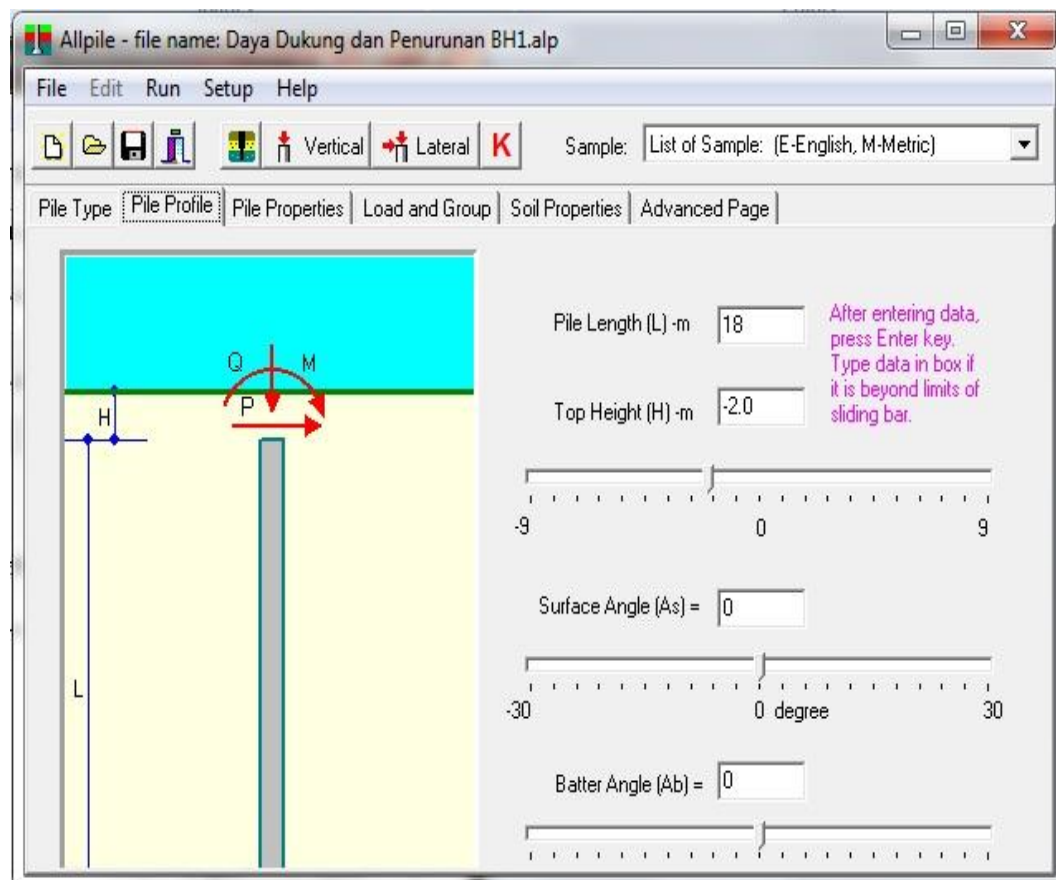
Seorang *Civil Engineer* dituntut untuk memahami secara akurat ilmu yang berhubungan dengan pondasi dan mekanika tanah. Untuk membantu mempermudah dan mempersingkat waktu seorang *Civil Engineer* dalam merancang struktur maka dikembangkan berbagai macam *software* komputer. Kali ini yang akan penulis jelaskan adalah salah satu *software* untuk merancang pondasi yaitu Allpile. *Software* ini dikembangkan oleh *Civiltech Software Co.* yang berbasis di *Seattle-Bellevue, USA*. Tampilan utama *Allpile* seperti pada (Gambar 3.7).



Gambar 3.7: Tampilan *software Allpile* (*Pile Type*).

Software ini relatif sederhana dan *user-friendly*. Sesuai namanya bahwa software ini digunakan untuk desain pondasi pile, baik itu pancang maupun *bored-pile* walaupun tersedia juga untuk pondasi dangkal (*shallow Footing*). Bagian pertama yaitu *Pile Type*, yang berisi tipe pondasi dan judul pekerjaan yang dapat diisi nama pekerjaan atau informasi lainnya.

Bagian kedua adalah *Pile profile* yang harus kita isi dengan informasi tentang pile yang digunakan, seperti panjang pile, jarak dari permukaan tanah, kemiringan pile (bila dipancang miring), serta kemiringan permukaan tanah seperti pada (Gambar 3.8).



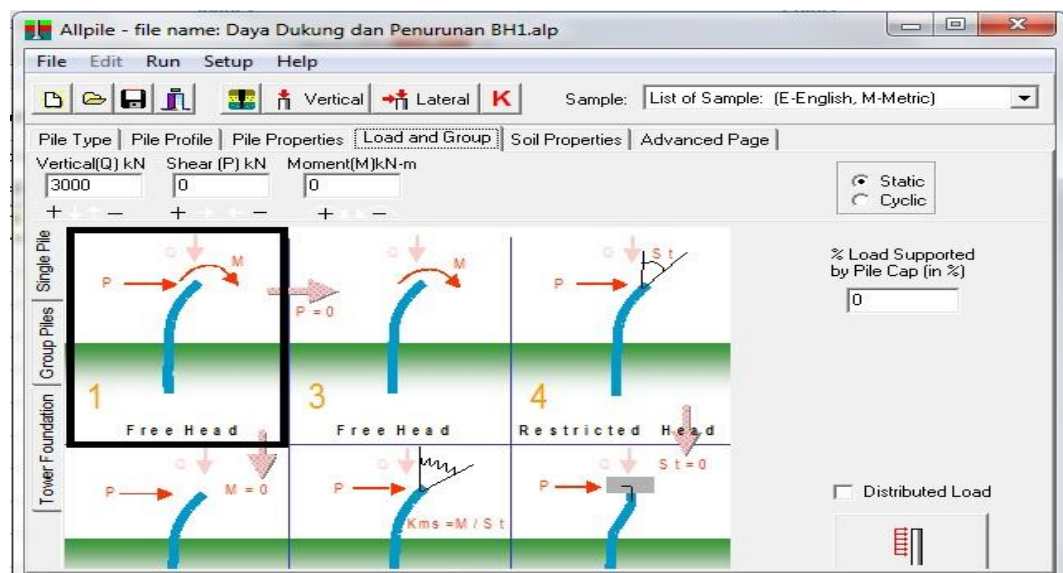
Gambar 3.8: Tampilan software Allpile (*Pile Profile*).

Bagian ketiga adalah *Pile Properties* yang berisi data-data properti dari pile yang digunakan meliputi Diameter, material, Inersia dan lainnya seperti pada (Gambar 3.9).

| Zp-m | Pile Data Input | Width-cm | A'-cm ² | Per.-cm | I'-cm ⁴ | E -MP | W -kN/m | At-cm ² |
|------|---------------------|----------|--------------------|---------|--------------------|--------|---------|--------------------|
| 0 | ● Concrete (smooth) | 100 | 7854.0 | 314.2 | 4908738.5 | 20683 | 18.520 | 7854.0 |
| 18 | ● concrete (smooth) | 100 | 7854.0 | 314.2 | 4908738.5 | 199938 | 60.127 | 7854.0 |
| | Click to Open | | | | | | | |
| | Click to Open | | | | | | | |
| | Click to Open | | | | | | | |
| | Click to Open | | | | | | | |
| | Click to Open | | | | | | | |
| | Click to Open | | | | | | | |
| | Click to Open | | | | | | | |
| | Click to Open | | | | | | | |

Gambar 3.9: Tampilan software Allpile (*Pile Properties*).

Bagian keempat adalah *Load and Group*. Bagian ini berisi besarnya pembebanan yang diterima pile. Allpile menyediakan beberapa pilihan perhitungan baik itu untuk *single pile* maupun *group pile* yang sederhana. Yang harus diperhatikan adalah jenis beban yang dimasukkan merupakan beban *ultimate*, karena tidak ada fasilitas untuk menerapkan kombinasi pembebanan. Allpile juga telah menyediakan pilihan jenis *Head-pile*, ada yang *fix* maupun *free*. hal ini tergantung pile *head treatment* yang di inginkan seperti pada (Gambar 3.10).



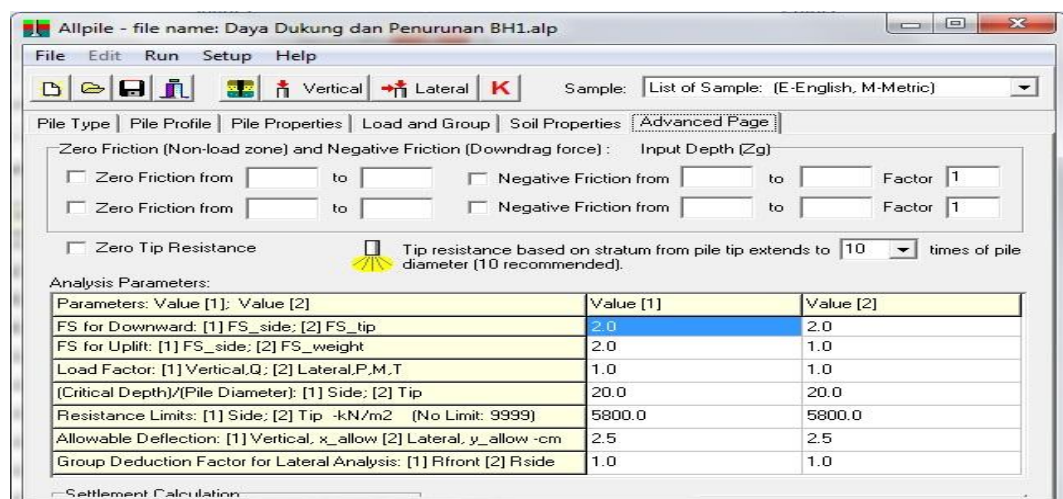
Gambar 3.10: Tampilan software Allpile (*Load and Group*).

Bagian kelima adalah *Soil Properties* yang berisi data tanah tempat pondasi akan ditanam. Isikan sesuai data tanah yang ada jangan lupa masukkan juga kedalaman muka air tanah di isian *water table* seperti pada (Gambar 3.11).



Gambar 3.11: Tampilan software Allpile (*Soil Properties*).

Bagian terakhir adalah *Advanced Page* yang dapat digunakan salah satunya apabila terjadi *zero skin friction* pada kedalaman tertentu atau untuk *adjust* besarnya *tip resistance* (tahanan ujung). Juga ada pilihan untuk menentukan angka keamanan yang diinginkan seperti (Gambar 3.12).



Gambar 3.12: Tampilan software Allpile (*Advanced Page*).

6. Tahap Keenam

Pada tahap ini penulis akan membandingkan daya dukung pondasi tiang bor yang diperoleh dengan metode analitis dan hasil perhitungan metode analitis dengan data SPT di kembangkan dengan program analitis, kemudian membuat kesimpulan dan saran.

BAB 4

ANALISA DAN PEMBAHASAN

4.1. Perhitungan Daya Dukung Menggunakan Data N SPT

Menghitung kapasitas daya dukung dengan menggunakan data SPT dilakukan perlapisan tanah serta perhitungannya menggunakan metode analitis. Perhitungan ini menggunakan dua rumus yakni untuk jenis tanah non-kohesif (pasir) dan jenis tanah kohesif (lempung).

4.1.1. Perhitungan Pada Titik BH-1

$$\text{Diameter (D)} = 100 \text{ cm} = 1 \text{ m}$$

Luas selimut tiang pondasi (p)

$$p = \pi \cdot d$$

$$p = 1,0 \times 3,14$$

$$p = 3,14 \text{ m}$$

Luas penampang tiang pondasi (Ap)

$$Ap = \frac{1}{4} \cdot \pi \cdot D^2$$

$$Ap = \frac{1}{4} \times 3,14 \times 1^2$$

$$Ap = 0,785 \text{ m}^2$$

Faktor keamanan (SF)

Ujung = 2 (Tabel 2.11)

Geser = 2 (Tabel 2.11)

Ø Daya dukung ujung tiang dan geser selimut tiang pada tanah kohesif (lempung).

✓ Kedalaman 2 m

1. Daya dukung ujung tiang

Metode Reese and O'neill (1999)

$$Qb = Ap \cdot Nc \cdot Cu$$

Dimana:

p = Keliling

C_u = Kohesif lapisan tanah yang tidak teratur

A_p = Luas penampang

Q_b = Daya dukung ujung

N_c = Faktor daya dukung

Maka:

$$A_p = 0,785 \text{ } m^2$$

$$N_c = 8$$

$$C_u = 44,893 \text{ kPa}$$

$$Q_b = 0,785 \times 8 \times 44,893$$

$$Q_b = 281,928 \text{ kN}$$

Sehingga didapat nilai daya dukung ujung berdasarkan metode Reese and O'neill sebesar 281,928 kN.

Metode Vesic (1977)

$$Q_p = A_p \cdot N_c \cdot C_u$$

Dimana:

C_u = Kohesif lapisan tanah yang tidak teratur

A_p = Luas penampang

Q_b = Daya dukung ujung

N_c = Faktor daya dukung

Maka:

$$C_u = 44,893 \text{ kPa}$$

$$N_c = 10,46 \text{ (Tabel 2.9)}$$

$$I_{rr} = 347 \left(\frac{C_u}{P_a} \right) - 33$$

$$= 347 \left(\frac{44,893}{100} \right) - 33$$

$$= 122,78$$

$$Q_b = 0,785 \times 10,46 \times 44,893$$

$$Q_b = 368,621 \text{ kN}$$

Sehingga didapat nilai daya dukung ujung berdasarkan metode Vesic sebesar 368,621 kN

2. Daya dukung geser selimut tiang

Metode Reese and O'neill (1999)

$$Q_s = \alpha \cdot C_u \cdot p \cdot \Delta L$$

Dimana:

C_u = Kohesif lapisan tanah yang tidak teratur

A_p = Luas penampang

Q_b = Daya dukung ujung

N_c = Faktor daya dukung

α = Faktor adhesi

Maka:

α = 0,55 (Faktor adhesi menurut Reese and O'neill)

C_u = 44,893 kPa

$$Q_s = 0,55 \times 44,893 \times 3,14 \times 2$$

$$Q_s = 155,059 \text{ kN}$$

Sehingga didapat nilai daya dukung geser selimut tiang berdasarkan metode Reese and O'neill sebesar 155,059 kN.

Metode α

$$Q_s = \sum f \cdot p \cdot \Delta L = \sum \alpha C_u p \Delta L$$

$$f = \alpha C_u$$

$$\alpha = C \left(\frac{\sigma_0}{C_u} \right)^{-0.45}$$

Dimana:

p = Keliling

C_u = Kohesif lapisan tanah yang tidak teratur

α = Faktor adhesi

ΔL = Kedalaman

σ = Tegangan efektif

Maka:

$$\alpha = 0.4 \times \left(\frac{38}{44,893} \right)^{0,45}$$

$$\alpha = 0.37$$

$$f = 0.37 \times 44,893$$

$$f = 16,61$$

$$Q_s = 16,61 \times 3,14 \times 2$$

$$Q_s = 104,311$$

Sehingga didapat nilai daya dukung geser selimut tiang berdasarkan metode α sebesar 104,311 kN

Dengan begitu didapat daya dukung ultimit dan ijin tiang adalah:

$$Q_{ult} = Q_b + Q_s \text{ (komulatif)}$$

$$Q_{ult} = 281,928 + 155,059$$

$$Q_{ult} = 436,987 \text{ kN}$$

$$\begin{aligned} Q_{all} &= \frac{Q_b}{SF} + \frac{Q_s}{SF} \\ &= \frac{281,928}{2} + \frac{155,059}{2} \\ &= 218,494 \text{ kN} \\ &= 21,849 \text{ ton} \end{aligned}$$

Sehingga didapat nilai daya dukung ultimit sebesar 436,987 kN dan daya dukung ijin tiang sebesar 218,494 kN.

- Ø Daya dukung ujung tiang dan geser selimut tiang pada tanah non-kohesif
- ✓ Kedalaman 18 m
- 1. Daya dukung ujung tiang

Metode Reese and O'neil (1999)

$$Q_b = q_p \cdot A_p$$

Dimana:

$$A_p = \text{Luas penampang}$$

$$Q_b = \text{Daya dukung ujung}$$

N = Nilai SPT

Maka:

$$q_p = 57,5 \cdot N = 57,5 \times 53 = 3047,5$$

$$a_p = 0,785$$

$$\begin{aligned} Q_b &= 3047,5 \times 0,785 \\ &= 2392,288 \text{ kN} \end{aligned}$$

Sehingga didapat nilai daya dukung ujung tiang berdasarkan metode Reese and O'neill sebesar 2392,228 kN

Korelasi Parameter Tanah Briaud (1985)

$$Q_b = A_p \cdot 19,7 P_a(N)^{0,36}$$

Dimana:

$$A_p = \text{Luas penampang}$$

$$Q_b = \text{Daya dukung ujung}$$

$$N = \text{Nilai SPT}$$

Maka:

$$Q_b = 0,785 \times 19,7 \times 100(53)^{0,36}$$

$$Q_b = 6457,660 \text{ kN}$$

Sehingga didapat nilai daya dukung ujung tiang berdasarkan korelasi parameter tanah Briaud sebesar 6457,660 kN

2. Daya dukung geser selimut tiang

Metode Reese and O'neil (1999)

$$Q_s = \sum f \cdot p \cdot \Delta L$$

Dimana:

$$p = \text{Keliling}$$

$$f = \text{Friksi}$$

$$\Delta L = \text{Kedalaman}$$

$$Q_s = \text{Daya dukung selimut}$$

$$\sigma = \text{Tegangan efektif}$$

Maka:

$$f = \beta \cdot \sigma = 0,465 \times 282 = 131,130 \text{ kPa}$$

$$\begin{aligned} Q_s &= 131,130 \times 3,14 \times 2 \\ &= 823,496 \text{ kN} \end{aligned}$$

Sehingga didapat nilai daya dukung geser selimut tiang berdasarkan metode Reese and O'neill sebesar 823,496 kN.

Korelasi Parameter Tanah Briaud (1985)

$$Q_s = p L f_{av}$$

$$f_{av} = 0,224 \cdot P_a (N)^{0,29}$$

Dimana:

p_a = tekanan atmosfir (<100 kN> m² atau 2000 lb> ft²)

p = Keliling

L = Kedalaman

N = Nilai SPT

Maka:

$$Q_s = 3,14 \times 2 \times (0,224 \times 100(53)^{0,29})$$

$$Q_s = 444,885$$

Sehingga didapat nilai daya dukung geser selimut tiang berdasarkan korelasi parameter tanah Briaud sebesar 444,885 kN.

Dengan begitu didapat daya dukung ultimit dan ijin tiang adalah:

$$\begin{aligned} Q_{ult} &= Q_b + Q_s (\text{komulatif}) \\ &= 6457,660 + 2811,338 \\ &= 9268,998 \text{ kN} \end{aligned}$$

$$\begin{aligned} Q_{all} &= \frac{Q_b}{SF} + \frac{Q_s}{SF} \\ &= \frac{6457,660}{2} + \frac{2811,338}{2} \\ &= 4634,499 \text{ kN} \\ &= 463,450 \text{ ton} \end{aligned}$$

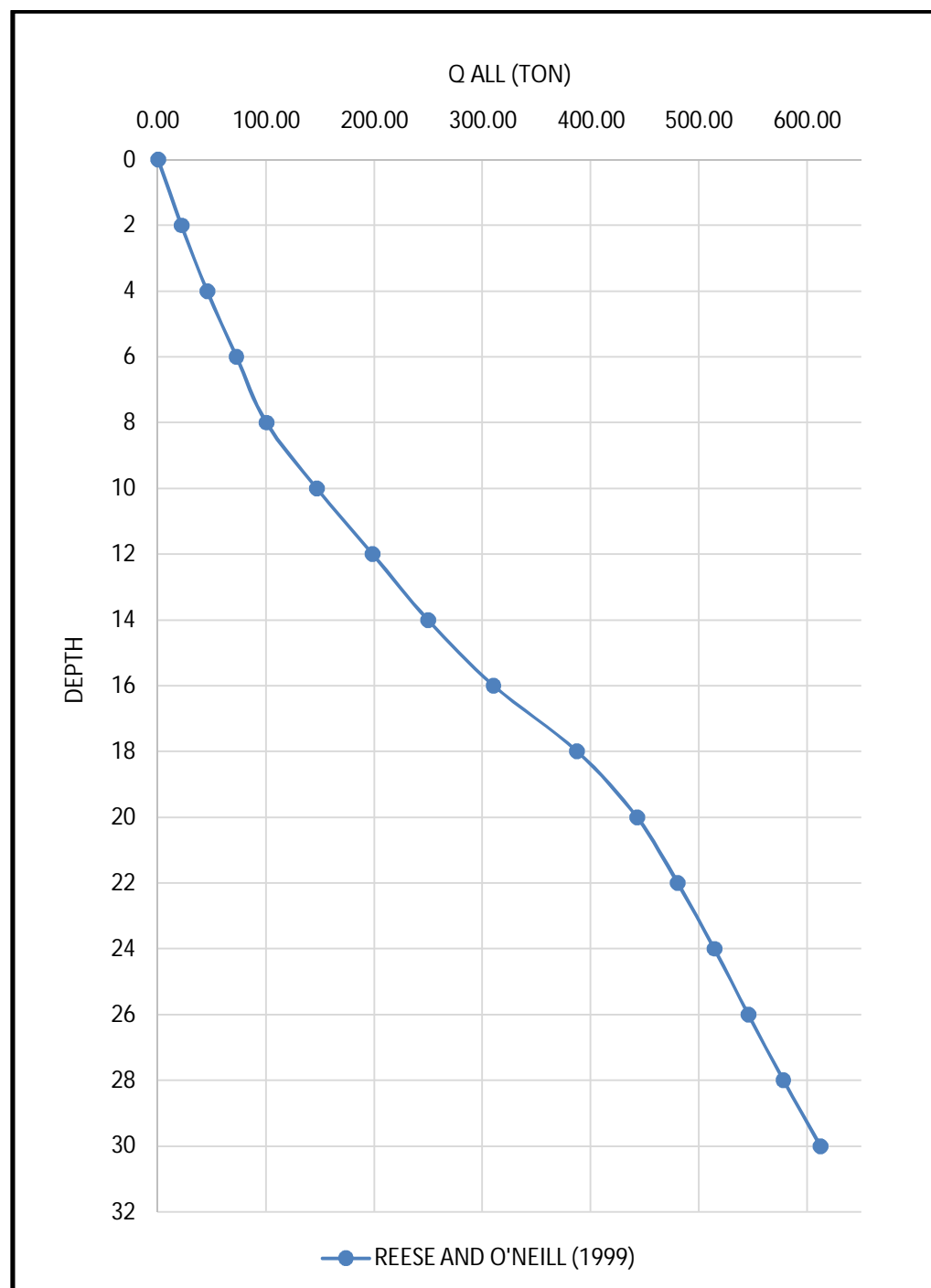
Sehingga didapat nilai daya dukung ultimit sebesar 9268,998 kN dan daya dukung ijin tiang sebesar 4634,449 kN.

Perhitungan diatas dilakukan pada kedalaman 2 meter untuk perhitungan pada tanah kohesif dan pada kedalaman 18 meter untuk perhitungan pada tanah non-kohesif, dan untuk keseluruhan interval kedalaman dihitung menggunakan program excel. Pada Tabel 4.1 dapat dilihat interval kedalaman yang kemudian nilai pengujian SPT, jenis lapisan tanah, nilai daya dukung selimut tiang, daya dukung ujung tiang, daya dukung ultimit tiang dan juga daya dukung yang diijinkan tiang.

Tabel 4.1: Perhitungan daya dukung *bored pile* metode Resse and O'neil (BH-1).

| No | z (m) | N spt | Clay or Sand | Qsi | ΣQ_s | Sand ΣQ_b | $\Sigma Q_s +$ ΣQ_b | Qall | Qall |
|----|----------|----------|--------------------|---------|--------------|----------------------|--------------------------------|----------|---------|
| | | | | | | | | kN | Ton |
| 1 | 0 | | | | | | | 0 | 0.00 |
| 2 | 2 | 7 | Clay | 155,059 | 115,059 | - | 436,987 | 218,494 | 21,849 |
| 3 | 4 | 11 | Clay | 248,537 | 403,596 | - | 911,972 | 455,986 | 45,599 |
| 4 | 6 | 15 | Clay | 342,021 | 745,617 | - | 1445,200 | 722,600 | 72,260 |
| 5 | 8 | 18 | Clay | 412,125 | 1157,742 | - | 2000,731 | 1000,366 | 100,037 |
| 6 | 10 | 21 | Sand | 832,075 | 1989,817 | 947,888 | 2937,705 | 1468,853 | 146,885 |
| 7 | 12 | 25 | Sand | 847,360 | 2837,177 | 1128,438 | 3965,615 | 1982,808 | 198,281 |
| 8 | 14 | 29 | Sand | 847,863 | 3685,040 | 1308,988 | 4994,028 | 2497,014 | 249,701 |
| 9 | 16 | 37 | Sand | 842,424 | 4527,464 | 1670,088 | 6197,552 | 3098,776 | 309,878 |
| 10 | 18 | 53 | Sand | 823,496 | 5350,960 | 2392,288 | 7743,248 | 3871,624 | 387,162 |
| 11 | 20 | 60 | Sand | 791,104 | 6142,064 | 2708,250 | 8850,314 | 4425,157 | 442,516 |
| 12 | 22 | 60 | Sand | 746,717 | 6888,781 | 2708,250 | 9597,031 | 4798,516 | 479,852 |
| 13 | 24 | 60 | Sand | 689,544 | 7578,325 | 2708,250 | 10286,575 | 5143,288 | 514,329 |
| 14 | 26 | 60 | Sand | 620,564 | 8198,889 | 2708,250 | 10907,139 | 5453,570 | 545,357 |
| 15 | 28 | 60 | Sand | 646,840 | 8845,729 | 2708,250 | 11553,979 | 5776,990 | 577,699 |
| 16 | 30 | 60 | Sand | 687,660 | 9533,389 | 2708,250 | 12241,639 | 6120,820 | 612,082 |

Hasil perhitungan daya dukung menggunakan metode Reese and O'neill dapat ditampilkan dalam bentuk grafik daya dukung yang di tunjukkan pada Gambar 4.1 dengan sumbu x untuk nilai daya dukung ijin tiang dan sumbu y menunjukkan kedalaman yang ditinjau.



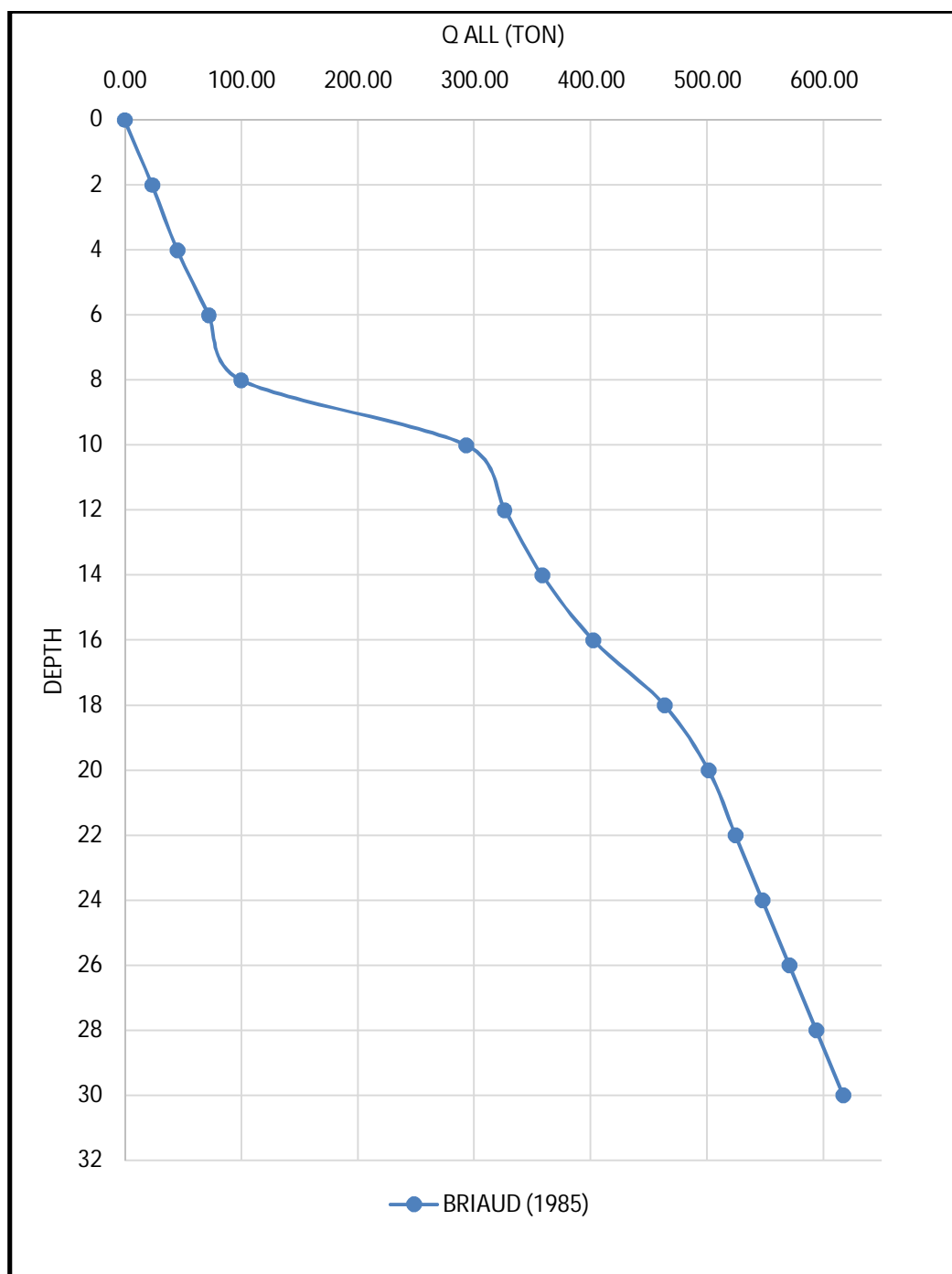
Gambar 4.1: Grafik daya dukung *bored pile* metode Resse and O'neil (BH-1).

Perhitungan berikutnya menggunakan parameter tanah yang di kemukakan oleh Briaud dapat dilihat pada Tabel 4.2. Hasil berikut merupakan perhitungan menggunakan program excel. Pada Tabel 4.2 dapat dilihat interval kedalaman yang ditinjau, nilai pengujian SPT, jenis tanah tiap interval peninjauan, nilai daya dukung selimut tiang, nilai daya dukung ujung tiang, daya dukung ultimit tiang serta daya dukung yang diijinkan tiang.

Tabel 4.2: Perhitungan daya dukung *bored pile* dengan parameter tanah Briaud (BH-1).

| No | z (m) | N spt | Clay or Sand | Qsi | ΣQ_s | Sand ΣQ_b | $\Sigma Q_s +$ ΣQ_b | Qall | Qall |
|----|----------|----------|--------------------|---------|--------------|----------------------|--------------------------------|----------|---------|
| | | | | | | | | kN | Ton |
| 1 | 0 | | | | | | | 0 | 0.00 |
| 2 | 2 | 7 | Clay | 104.311 | 104.311 | - | 472.932 | 236.466 | 23.647 |
| 3 | 4 | 11 | Clay | 185.273 | 289.584 | - | 906.979 | 453.490 | 45.349 |
| 4 | 6 | 15 | Clay | 267.396 | 556.980 | - | 1443.119 | 721.560 | 72.156 |
| 5 | 8 | 18 | Clay | 337.198 | 894.178 | - | 1994.747 | 997.374 | 99.737 |
| 6 | 10 | 21 | Sand | 340.135 | 1234.313 | 4627.376 | 5861.689 | 2930.845 | 293.084 |
| 7 | 12 | 25 | Sand | 357.775 | 1592.088 | 4927.133 | 6519.221 | 3259.611 | 325.961 |
| 8 | 14 | 29 | Sand | 373.511 | 1965.599 | 5197.556 | 7163.155 | 3581.578 | 358.158 |
| 9 | 16 | 37 | Sand | 400.854 | 2366.453 | 5673.989 | 8040.442 | 4020.221 | 402.022 |
| 10 | 18 | 53 | Sand | 444.885 | 2811.338 | 6457.660 | 9268.998 | 4634.499 | 463.450 |
| 11 | 20 | 60 | Sand | 461.181 | 3272.519 | 6752.589 | 10025.108 | 5012.554 | 501.255 |
| 12 | 22 | 60 | Sand | 461.181 | 3733.700 | 6752.589 | 10486.289 | 5243.145 | 524.314 |
| 13 | 24 | 60 | Sand | 461.181 | 4194.881 | 6752.589 | 10947.470 | 5473.735 | 547.374 |
| 14 | 26 | 60 | Sand | 461.181 | 4656.062 | 6752.589 | 11408.651 | 5704.326 | 570.433 |
| 15 | 28 | 60 | Sand | 461.181 | 5117.243 | 6752.589 | 11869.832 | 5934.916 | 593.492 |
| 16 | 30 | 60 | Sand | 461.181 | 5578.424 | 6752.589 | 12331.013 | 6165.507 | 616.551 |

Hasil perhitungan daya dukung menggunakan metode Reese and O'neill dapat ditampilkan dalam bentuk grafik daya dukung yang di tunjukkan pada Gambar 4.2 dengan sumbu x untuk nilai daya dukung ijin tiang dan sumbu y menunjukkan kedalaman yang ditinjau.



Gambar 4.2: Grafik daya dukung *bored pile* dengan korelasi parameter tanah Briaud (BH-1).

4.1.2. Perhitungan Pada Titik BH-2

Diameter (D) = 100 cm = 1 m

Luas selimut tiang pondasi (p)

$$p = \pi \cdot d$$

$$p = 1,0 \times 3,14$$

$$p = 3,14 \text{ m}$$

Luas penampang tiang pondasi (Ap)

$$Ap = \frac{1}{4} \cdot \pi \cdot D^2$$

$$Ap = \frac{1}{4} \times 3,14 \times 1^2$$

$$Ap = 0,785 \text{ m}^2$$

Faktor keamanan (SF)

Ujung = 2

Geser = 2

Ø Daya dukung ujung tiang dan geser selimut tiang pada tanah kohesif (lempung).

∨ Kedalaman 2 m

1. Daya dukung ujung tiang

Metode Reese and O'neill (1999)

$$Q_b = Ap \cdot N_c \cdot C_u$$

Dimana:

p = Keliling

C_u = Kohesif lapisan tanah yang tidak teratur

A_p = Luas penampang

Q_b = Daya dukung ujung

N_c = Faktor daya dukung

Maka:

$$Ap = 0,785 \text{ m}^2$$

$$N_c = 8$$

$$C_u = 51,659 \text{ kPa}$$

$$Q_b = 0,785 \times 8 \times 51,659$$

$$Q_b = 324,419 \text{ kN}$$

Sehingga didapat nilai daya dukung ujung berdasarkan metode Reese and O'neill sebesar 324,419 kN.

Metode Vesic (1977)

$$Q_p = A_p \cdot N_c \cdot C_u$$

Dimana:

C_u = Kohesif lapisan tanah yang tidak teratur

A_p = Luas penampang

Q_b = Daya dukung ujung

N_c = Faktor daya dukung

Maka:

$$C_u = 51,659 \text{ kPa}$$

$$N_c = 10,58 \text{ (Tabel 2.9)}$$

$$I_{rr} = 347 \left(\frac{C_u}{P_a} \right) - 33$$

$$= 347 \left(\frac{51,659}{100} \right) - 33$$

$$= 146,26$$

$$Q_b = 0,785 \times 10,58 \times 51,659$$

$$Q_b = 429,043$$

Sehingga didapat nilai daya dukung ujung berdasarkan metode Vesic sebesar 429,043 kN.

2. Daya dukung geser selimut tiang

Metode Reese and O'neill (1999)

$$Q_s = \alpha \cdot C_u \cdot p \cdot \Delta L$$

Dimana:

C_u = Kohesif lapisan tanah yang tidak teratur

A_p = Luas penampang

Q_b = Daya dukung ujung

N_c = Faktor daya dukung

α = Faktor adhesi

Maka:

$$\alpha = 0,55 \text{ (Faktor adhesi menurut Reese and O'neill)}$$

$$C_u = 51,659 \text{ kPa}$$

$$Q_s = 0,55 \times 51,659 \times 3,14 \times 2$$

$$Q_s = 178,427$$

Sehingga didapat nilai daya dukung geser selimut tiang berdasarkan metode Reese and O'neill sebesar 178,427 kN.

Metode α

$$Q_s = \sum f \cdot p \cdot \Delta L = \sum \alpha C_u p \Delta L$$

$$f = \alpha C_u$$

$$\alpha = C \left(\frac{\sigma_0}{C_u} \right)^{0,45}$$

Dimana:

p = Keliling

C_u = Kohesif lapisan tanah yang tidak teratur

α = Faktor adhesi

ΔL = Kedalaman

σ = Tegangan efektif

Maka:

$$\alpha = 0,4 \times \left(\frac{40}{51,659} \right)^{0,45}$$

$$\alpha = 0,36$$

$$f = 0,36 \times 51,659$$

$$f = 18,597$$

$$Q_s = 18,597 \times 3,14 \times 2$$

$$Q_s = 116,789$$

Sehingga didapat nilai daya dukung geser selimut tiang berdasarkan metode α sebesar 116,789 kN.

Dengan begitu didapat daya dukung ultimit dan ijin tiang adalah:

$$Q_{ult} = Q_b + Q_s \text{ (komulatif)}$$

$$Q_{ult} = 324,419 + 178,427$$

$$Q_{ult} = 502,846 \text{ kN}$$

$$\begin{aligned} Q_{all} &= \frac{Q_b}{SF} + \frac{Q_s}{SF} \\ &= \frac{324,419}{2} + \frac{178,427}{2} \\ &= 251,423 \text{ kN} \\ &= 25,142 \text{ ton} \end{aligned}$$

Sehingga didapat nilai daya dukung ultimit sebesar 436,987 kN dan daya dukung ijin tiang sebesar 251,423 kN.

- Ø Daya dukung ujung tiang dan geser selimut tiang pada tanah non-kohesif
- ∨ Kedalaman 18 m

1. Daya dukung ujung tiang

Metode Reese and O'neil (1999)

$$Q_b = q_p \cdot A_p$$

Dimana:

$$A_p = \text{Luas penampang}$$

$$Q_b = \text{Daya dukung ujung}$$

$$N = \text{Nilai SPT}$$

Maka:

$$q_p = 57,5 \cdot N = 57,5 \times 60 = 3450$$

$$a_p = 0,785$$

$$\begin{aligned} Q_b &= 3450 \times 0,785 \\ &= 2708,250 \text{ kN} \end{aligned}$$

Sehingga didapat nilai daya dukung ujung tiang berdasarkan metode Reese and O'neill sebesar 2708,250 kN.

Korelasi Parameter Tanah Briaud (1985)

$$Q_b = A_p \cdot 19,7 P_a (N)^{0,36}$$

Dimana:

$$A_p = \text{Luas penampang}$$

Q_b = Daya dukung ujung

N = Nilai SPT

Maka:

$$Q_b = 0,785 \times 19,7 \times 100(60)^{0,36}$$

$$Q_b = 6752,589$$

Sehingga didapat nilai daya dukung ujung tiang berdasarkan korelasi parameter tanah Briaud sebesar 6752,589 kN.

2. Daya dukung geser selimut tiang

Metode Reese and O'neil (1999)

$$Q_s = \sum f \cdot p \cdot \Delta L$$

Dimana:

p = Keliling

f = Frikси

ΔL = Kedalaman

Q_s = Daya dukung selimut

σ = Tegangan efektif

Maka:

$$f = \beta \cdot \sigma = 0,465 \times 272 = 126,480 \text{ kPa}$$

$$Q_s = 126,480 \times 3,14 \times 2$$

$$= 794,294$$

Sehingga didapat nilai daya dukung geser selimut tiang berdasarkan metode Reese and O'neill sebesar 794,294 kN.

Korelasi Parameter Tanah Briaud (1985)

$$Q_s = pL f_{av}$$

$$f_{av} = 0,224 \cdot P_a (N)^{0,29}$$

Dimana:

P_a = tekanan atmosfir (<100 kN> m² atau 2000 lb> ft²)

p = Keliling

L = Kedalaman

N = Nilai SPT

Maka:

$$Q_s = 3,14 \times 2 \times (0,224 \times 100(60)^{0,29}$$

$$Q_s = 461,181$$

Sehingga didapat nilai daya dukung geser selimut tiang berdasarkan korelasi parameter tanah Briaud sebesar 461,181 kN.

Dengan begitu didapat daya dukung ultimit dan ijin tiang adalah:

$$\begin{aligned} Q_{ult} &= Q_b + Q_s \text{ (komulatif)} \\ &= 6752,589 + 3004,123 \\ &= 9756,712 \\ Q_{all} &= \frac{Q_b}{SF} + \frac{Q_s}{SF} \\ &= \frac{6752,589}{2} + \frac{3004,123}{2} \\ &= 4878,356 \text{ kN} \\ &= 487,836 \text{ ton} \end{aligned}$$

Sehingga didapat nilai daya dukung ultimit sebesar 9268,998 kN dan daya dukung ijin tiang sebesar 4878,356 kN.

Perhitungan diatas dilakukan pada kedalaman 2 meter untuk perhitungan pada tanah kohesif dan pada kedalaman 18 meter untuk perhitungan pada tanah non-kohesif, dan untuk keseluruhan interval kedalaman dihitung menggunakan program excel. Pada Tabel 4.3 dapat dilihat interval kedalaman yang kemudian nilai pengujian SPT, jenis lapisan tanah, nilai daya dukung selimut tiang, daya dukung ujung tiang, daya dukung ultimit tiang dan juga daya dukung yang diijinkan tiang.

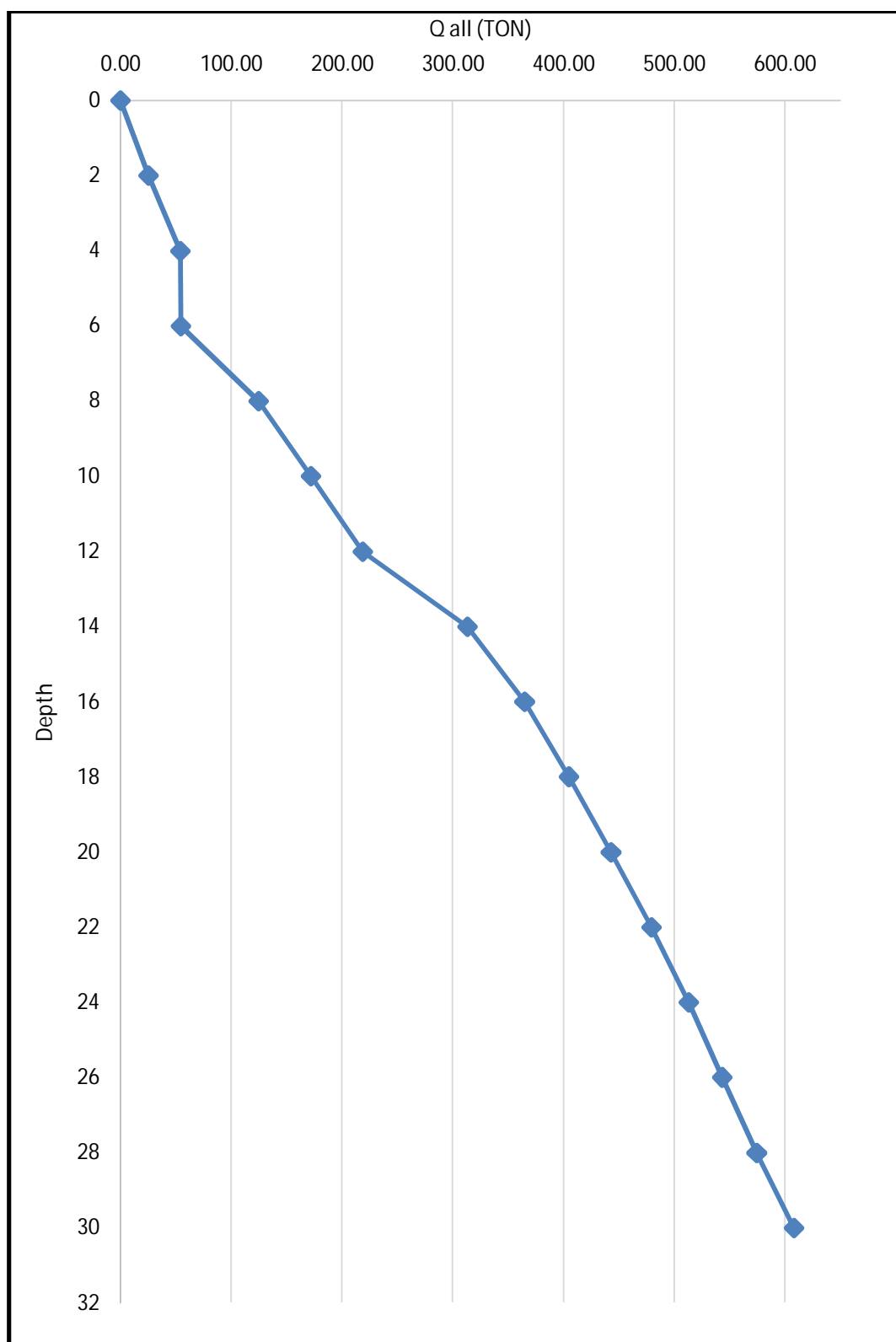
Tabel 4.3: Perhitungan daya dukung *bored pile* metode Resse and O'neil (BH-2).

| No | z (m) | N Sp t | Clay or Sand | Q _{si} | $\sum Q_s$ | Sand $\sum Q_b$ | $\sum Q_s +$ $\sum Q_b$ | Q _{all} | Q _{all} |
|----|----------|--------------|--------------------|-----------------|------------|--------------------|----------------------------|------------------|------------------|
| | | | | | | | | kN | Ton |
| 1 | 0 | | | | | | | 0 | 0.00 |

Tabel 4.3: *Lanjutan.*

| No | z (m) | N Spt | Clay or Sand | Qsi | ΣQ_s | Sand ΣQ_b | $\Sigma Q_s +$ ΣQ_b | Qall | Qall |
|----|----------|----------|--------------------|---------|--------------|----------------------|--------------------------------|----------|---------|
| | | | | | | | | kN | Ton |
| 2 | 2 | 8 | Clay | 178,427 | 178,427 | - | 502,846 | 251,423 | 25,142 |
| 3 | 4 | 13 | Clay | 295,279 | 473,706 | - | 1077,686 | 538,843 | 53,884 |
| 4 | 6 | 9 | Clay | 201,802 | 675,508 | - | 1088,281 | 544,141 | 54,414 |
| 5 | 8 | 24 | Sand | 732,499 | 1408,007 | 1083,300 | 2491,307 | 1245,654 | 124,565 |
| 6 | 10 | 28 | Sand | 768,069 | 2176,076 | 1263,850 | 3439,926 | 1719,963 | 171,996 |
| 7 | 12 | 31 | Sand | 798,000 | 2974,076 | 1399,263 | 4373,339 | 2186,670 | 218,667 |
| 8 | 14 | 55 | Sand | 810,999 | 3785,075 | 2482,563 | 6267,638 | 3133,819 | 313,382 |
| 9 | 16 | 60 | Sand | 809,517 | 4594,592 | 2708,250 | 7302,842 | 3651,421 | 365,142 |
| 10 | 18 | 60 | Sand | 794,294 | 5388,886 | 2708,250 | 8097,136 | 4048,568 | 404,857 |
| 11 | 20 | 60 | Sand | 765,419 | 6154,305 | 2708,250 | 8862,555 | 4431,278 | 443,128 |
| 12 | 22 | 60 | Sand | 724,360 | 6878,665 | 2708,250 | 9586,915 | 4793,458 | 479,346 |
| 13 | 24 | 60 | Sand | 670,390 | 7549,055 | 2708,250 | 10257,305 | 5128,653 | 512,865 |
| 14 | 26 | 60 | Sand | 604,488 | 8153,543 | 2708,250 | 10861,793 | 5430,897 | 543,090 |
| 15 | 28 | 60 | Sand | 631,140 | 8784,683 | 2708,250 | 11492,933 | 5746,467 | 574,647 |
| 16 | 30 | 60 | Sand | 671,960 | 9456,643 | 2708,250 | 12164,893 | 6082,447 | 608,245 |

Hasil perhitungan daya dukung menggunakan metode Reese and O'neill dapat ditampilkan dalam bentuk grafik daya dukung yang di tunjukkan pada Gambar 4.3 dengan sumbu x untuk nilai daya dukung ijin tiang dan sumbu y menunjukkan kedalaman yang ditinjau.



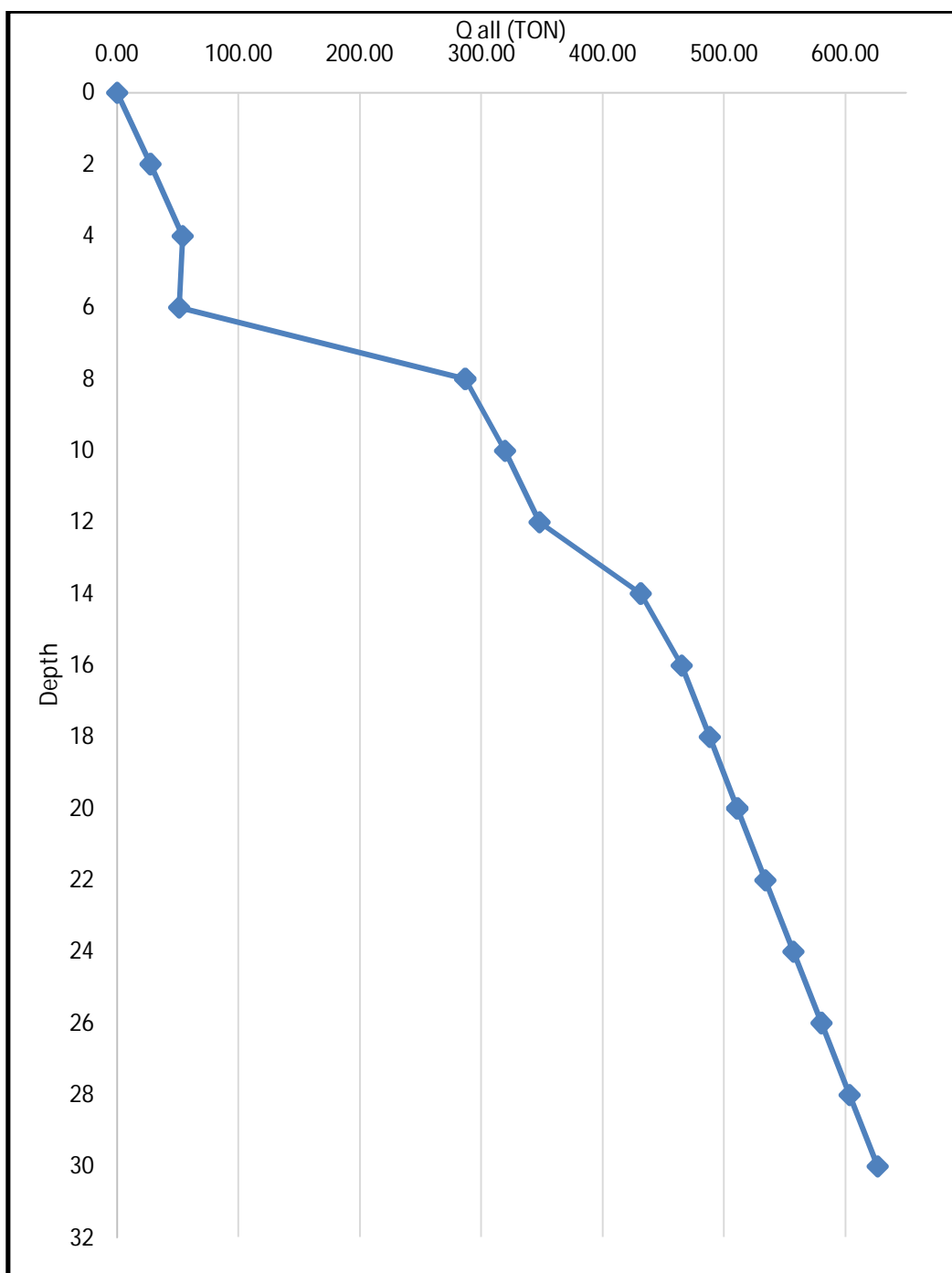
Gambar 4.3: Grafik daya dukung *bored pile* metode Resse and O'neil (BH-2).

Perhitungan berikutnya menggunakan parameter tanah yang di kemukakan oleh Briaud dapat dilihat pada Tabel 4.4. Hasil berikut merupakan perhitungan menggunakan program excel. Pada Tabel 4.4 dapat dilihat interval kedalaman yang ditinjau, nilai pengujian SPT, jenis tanah tiap interval peninjauan, nilai daya dukung selimut tiang, nilai daya dukung ujung tiang, daya dukung ultimit tiang serta daya dukung yang diijinkan tiang.

Tabel 4.4: Perhitungan daya dukung *bored pile* dengan parameter tanah Briaud (BH-2).

| No | z (m) | N Spt | Clay or Sand | Qsi | ΣQ_s | Sand ΣQ_b | $\Sigma Q_s +$ ΣQ_b | Qall | Qall |
|----|----------|----------|--------------------|---------|--------------|----------------------|--------------------------------|----------|---------|
| | | | | | | | | kN | Ton |
| 1 | 0 | | | | | | | 0 | 0.00 |
| 2 | 2 | 8 | Clay | 116.789 | 116.789 | - | 545.832 | 272.916 | 27.292 |
| 3 | 4 | 13 | Clay | 209.381 | 326.170 | - | 1075.105 | 537.553 | 53.755 |
| 4 | 6 | 9 | Clay | 201.802 | 527.972 | - | 1018.254 | 509.127 | 50.913 |
| 5 | 8 | 24 | Sand | 353.565 | 881.537 | 4855 | 5736.791 | 2868.396 | 286.840 |
| 6 | 10 | 28 | Sand | 369.729 | 1251.266 | 5132.309 | 6383.575 | 3191.788 | 319.179 |
| 7 | 12 | 31 | Sand | 380.805 | 1632.071 | 5323.853 | 6955.924 | 3477.962 | 347.796 |
| 8 | 14 | 55 | Sand | 449.690 | 2081.761 | 6544.349 | 8626.110 | 4313.055 | 431.306 |
| 9 | 16 | 60 | Sand | 461.181 | 2542.942 | 6752.589 | 9295.531 | 4647.766 | 464.777 |
| 10 | 18 | 60 | Sand | 461.181 | 3004.123 | 6752.589 | 9756.712 | 4878.356 | 487.836 |
| 11 | 20 | 60 | Sand | 461.181 | 3465.304 | 6752.589 | 10217.893 | 5108.947 | 510.895 |
| 12 | 22 | 60 | Sand | 461.181 | 3926.485 | 6752.589 | 10679.074 | 5339.537 | 533.954 |
| 13 | 24 | 60 | Sand | 461.181 | 4387.666 | 6752.589 | 11140.255 | 5570.128 | 557.013 |
| 14 | 26 | 60 | Sand | 461.181 | 4848.847 | 6752.589 | 11601.436 | 5800.718 | 580.072 |
| 15 | 28 | 60 | Sand | 461.181 | 5310.028 | 6752.589 | 12062.617 | 6031.309 | 603.131 |
| 16 | 30 | 60 | Sand | 461.181 | 5771.209 | 6752.589 | 12523.798 | 6261.899 | 626.190 |

Hasil perhitungan daya dukung menggunakan metode Reese and O'neill dapat ditampilkan dalam bentuk grafik daya dukung yang di tunjukkan pada Gambar 4.4 dengan sumbu x untuk nilai daya dukung ijin tiang dan sumbu y menunjukkan kedalaman yang ditinjau.



Gambar 4.4: Grafik daya dukung *bored pile* dengan korelasi parameter tanah Briaud (BH-2).

4.1.3. Perhitungan Pada Titik BH-3

Diameter (D) = 100 cm = 1 m

Luas selimut tiang pondasi (p)

$$p = \pi \cdot d$$

$$p = 1,0 \times 3,14$$

$$p = 3,14 \text{ m}$$

Luas penampang tiang pondasi (Ap)

$$Ap = \frac{1}{4} \cdot \pi \cdot D^2$$

$$Ap = \frac{1}{4} \times 3,14 \times 1^2$$

$$Ap = 0,785 \text{ m}^2$$

Faktor keamanan (SF)

Ujung = 2

Geser = 2

Ø Daya dukung ujung tiang dan geser selimut tiang pada tanah kohesif (lempung).

∨ Kedalaman 2 m

1. Daya dukung ujung tiang

Metode Reese and O'neill (1999)

$$Q_b = Ap \cdot N_c \cdot C_u$$

Dimana:

p = Keliling

C_u = Kohesif lapisan tanah yang tidak teratur

A_p = Luas penampang

Q_b = Daya dukung ujung

N_c = Faktor daya dukung

Maka:

$$Ap = 0,785 \text{ m}^2$$

$$N_c = 8$$

$$C_u = 38,127 \text{ kPa}$$

$$Q_b = 0,785 \times 8 \times 38,127$$

$$Q_b = 239,438 \text{ kN}$$

Sehingga didapat nilai daya dukung ujung berdasarkan metode Reese and O'neill sebesar 239,438 kN.

Metode Vesic (1977)

$$Q_p = A_p \cdot N_c \cdot C_u$$

Dimana:

C_u = Kohesif lapisan tanah yang tidak teratur

A_p = Luas penampang

Q_b = Daya dukung ujung

N_c = Faktor daya dukung

Maka:

$$C_u = 38,127 \text{ kPa}$$

$$N_c = 10,34 \text{ (Tabel 2.9)}$$

$$I_{rr} = 347 \left(\frac{C_u}{P_a} \right) - 33$$

$$= 347 \left(\frac{38,127}{100} \right) - 33$$

$$= 99,30$$

$$Q_b = 0,785 \times 10,34 \times 38,127$$

$$Q_b = 309,473$$

Sehingga didapat nilai daya dukung ujung berdasarkan metode Vesic sebesar 309,473 kN.

2. Daya dukung geser selimut tiang

Metode Reese and O'neill (1999)

$$Q_s = \alpha \cdot C_u \cdot p \cdot \Delta L$$

Dimana:

C_u = Kohesif lapisan tanah yang tidak teratur

A_p = Luas penampang

Q_b = Daya dukung ujung

N_c = Faktor daya dukung

α = Faktor adhesi

Maka:

$$\alpha = 0,55 \text{ (Faktor adhesi menurut Reese and O'neill)}$$

$$C_u = 38,127 \text{ kPa}$$

$$Q_s = 0,55 \times 38,127 \times 3,14 \times 2$$

$$Q_s = 131,692$$

Sehingga didapat nilai daya dukung geser selimut tiang berdasarkan metode Reese and O'neill sebesar 131,692 kN.

Metode α

$$Q_s = \sum f \cdot p \cdot \Delta L = \sum \alpha C_u p \Delta L$$

$$f = \alpha C_u$$

$$\alpha = C \left(\frac{\sigma_0}{C_u} \right)^{0.45}$$

Dimana:

p = Keliling

C_u = Kohesif lapisan tanah yang tidak teratur

α = Faktor adhesi

ΔL = Kedalaman

σ = Tegangan efektif

Maka:

$$\alpha = 0.4 \times \left(\frac{38}{38,127} \right)^{0.45}$$

$$\alpha = 0.4$$

$$f = 0.4 \times 38,127$$

$$f = 15,251$$

$$Q_s = 15,251 \times 3,14 \times 2$$

$$Q_s = 95,776$$

Sehingga didapat nilai daya dukung geser selimut tiang berdasarkan metode α sebesar 95,776 kN.

Dengan begitu didapat daya dukung ultimit dan ijin tiang adalah:

$$Q_{ult} = Q_b + Q_s (\text{komulatif})$$

$$Q_{ult} = 309,473 + 95,776$$

$$Q_{ult} = 405,249 \text{ kN}$$

$$\begin{aligned} Q_{all} &= \frac{Q_b}{SF} + \frac{Q_s}{SF} \\ &= \frac{309,473}{2} + \frac{95,776}{2} \\ &= 202,625 \text{ kN} \\ &= 20,262 \text{ ton} \end{aligned}$$

Sehingga didapat nilai daya dukung ultimit sebesar 436,987 kN dan daya dukung ijin tiang sebesar 202,625 kN.

- Ø Daya dukung ujung tiang dan geser selimut tiang pada tanah non-kohesif
- ∨ Kedalaman 18 m
- 1. Daya dukung ujung tiang
 - Metode Reese and O'neil (1999)

$$Q_b = q_p \cdot A_p$$

Dimana:

$$A_p = \text{Luas penampang}$$

$$Q_b = \text{Daya dukung ujung}$$

$$N = \text{Nilai SPT}$$

Maka:

$$q_p = 57,5 \cdot N = 57,5 \times 60 = 3450$$

$$a_p = 0,785$$

$$Q_b = 3450 \times 0,785$$

$$= 2708,250 \text{ kN}$$

Sehingga didapat nilai daya dukung ujung tiang berdasarkan metode Reese and O'neill sebesar 2708,250 kN.

Korelasi Parameter Tanah Briaud (1985)

$$Q_b = A_p \cdot 19,7 P_a(N)^{0,36}$$

Dimana:

$$A_p = \text{Luas penampang}$$

$$Q_b = \text{Daya dukung ujung}$$

N = Nilai SPT

Maka:

$$Q_b = 0,785 \times 19,7 \times 100(60)^{0,36}$$

$$Q_b = 6752,589$$

Sehingga didapat nilai daya dukung ujung tiang berdasarkan korelasi parameter tanah Briaud sebesar 6752,589 kN.

2. Daya dukung geser selimut tiang

Metode Reese and O'neil (1999)

$$Q_s = \sum f \cdot p \cdot \Delta L$$

Dimana:

p = Keliling

f = Friksi

ΔL = Kedalaman

Q_s = Daya dukung selimut

σ = Tegangan efektif

Maka:

$$f = \beta \cdot \sigma = 0,465 \times 302 = 140,430 \text{ kPa}$$

$$Q_s = 140,430 \times 3,14 \times 2$$

$$= 881,900 \text{ kN}$$

Sehingga didapat nilai daya dukung geser selimut tiang berdasarkan metode Reese and O'neill sebesar 881,900 kN.

Korelasi Parameter Tanah Briaud (1985)

$$Q_s = pL f_{av}$$

$$f_{av} = 0,224 \cdot P_a (N)^{0,29}$$

Dimana:

P_a = tekanan atmosfir (<100 kN> m² atau 2000 lb> ft²)

p = Keliling

L = Kedalaman

N = Nilai SPT

Maka:

$$Q_s = 3,14 \times 2 \times (0,224 \times 100(60)^{0,29}$$

$$Q_s = 461,181$$

Sehingga didapat nilai daya dukung geser selimut tiang berdasarkan korelasi parameter tanah Briaud sebesar 461,181 kN.

Dengan begitu didapat daya dukung ultimit dan ijin tiang adalah:

$$\begin{aligned} Q_{ult} &= Q_b + Q_s \text{ (komulatif)} \\ &= 6752,589 + 2985,379 \\ &= 9737,968 \\ Q_{all} &= \frac{Q_b}{SF} + \frac{Q_s}{SF} \\ &= \frac{6752,589}{2} + \frac{2985,379}{2} \\ &= 4868,984 \text{ kN} \\ &= 486,898 \text{ ton} \end{aligned}$$

Sehingga didapat nilai daya dukung ultimit sebesar 9268,998 kN dan daya dukung ijin tiang sebesar 4868,984 kN.

Perhitungan diatas dilakukan pada kedalaman 2 meter untuk perhitungan pada tanah kohesif dan pada kedalaman 18 meter untuk perhitungan pada tanah non-kohesif, dan untuk keseluruhan interval kedalaman dihitung menggunakan program excel. Pada Tabel 4.5 dapat dilihat interval kedalaman yang kemudian nilai pengujian SPT, jenis lapisan tanah, nilai daya dukung selimut tiang, daya dukung ujung tiang, daya dukung ultimit tiang dan juga daya dukung yang diijinkan tiang.

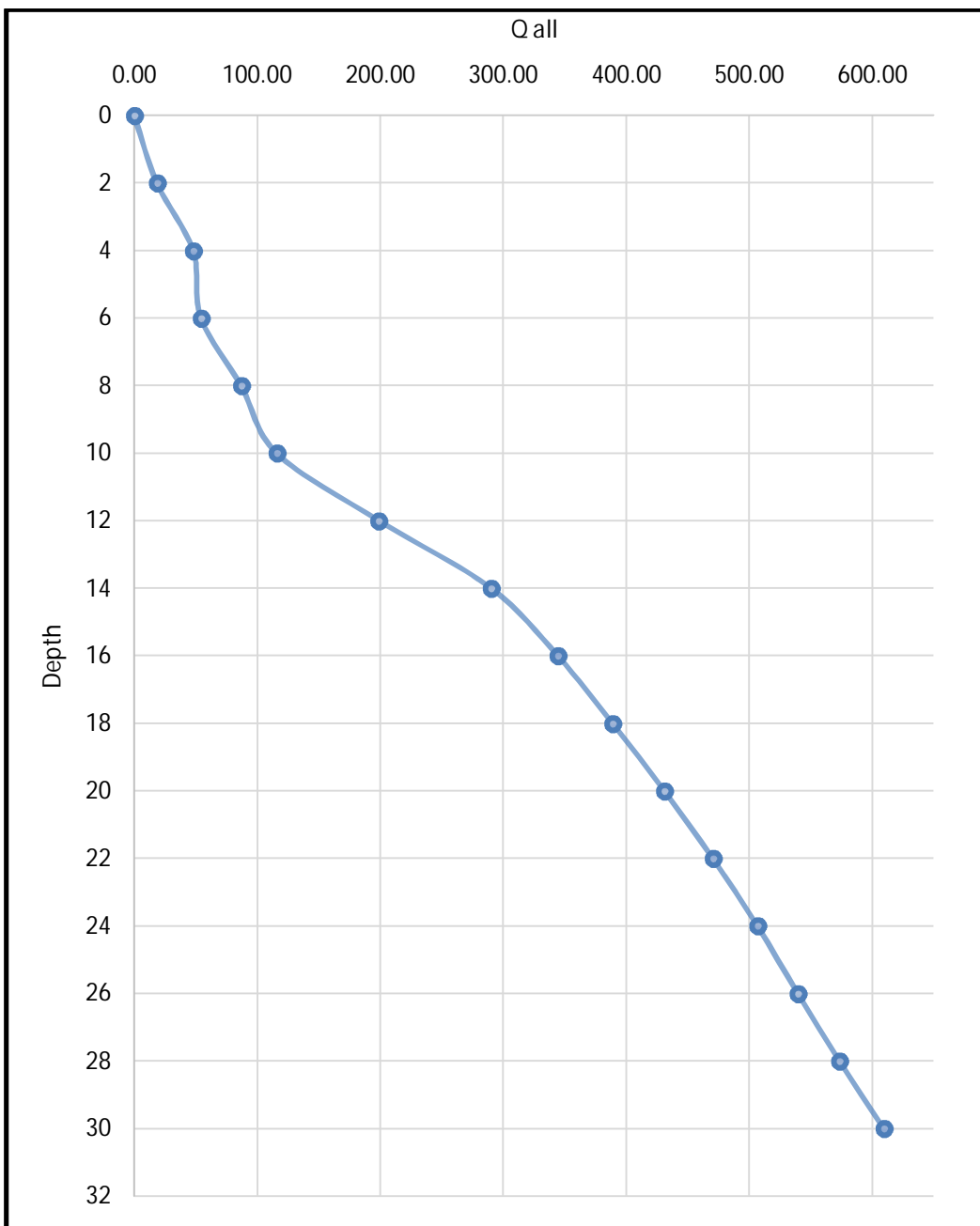
Tabel 4.5: Perhitungan daya dukung *bored pile* metode Resse and O'neil (BH-3).

| No | z (m) | N Spt | Clay or Sand | Q _{si} | ΣQ_s | Sand ΣQ_b | $\Sigma Q_s +$ ΣQ_b | Q _{all} | Q _{all} |
|----|----------|----------|--------------------|-----------------|--------------|----------------------|--------------------------------|------------------|------------------|
| | | | | | | | | kN | Ton |
| 1 | 0 | | | | | | | 0 | 0.00 |

Tabel 4.5: *Lanjutan.*

| No | z (m) | N Sp t | Clay or Sand | Qsi | ΣQ_s | Sand ΣQ_b | $\Sigma Q_s +$ ΣQ_b | Qall | Qall |
|----|----------|--------------|--------------------|---------|--------------|----------------------|--------------------------------|---------|--------|
| | | | | | | | | kN | Ton |
| 2 | 2 | 6 | clay | 131.692 | 131.69 | - | 371.13 | 185.57 | 18.56 |
| 3 | 4 | 12 | clay | 271.911 | 403.60 | - | 959.78 | 479.89 | 47.99 |
| 4 | 6 | 10 | clay | 225.169 | 628.77 | - | 1089.35 | 544.67 | 54.47 |
| 5 | 8 | 16 | clay | 365.389 | 994.16 | - | 1741.55 | 870.77 | 87.08 |
| 6 | 10 | 19 | clay | 435.499 | 1429.66 | - | 2320.45 | 1160.23 | 116.02 |
| 7 | 12 | 36 | sand | 921.402 | 2351.06 | 1624.950 | 3976.01 | 1988.01 | 198.80 |
| 8 | 14 | 56 | sand | 921.590 | 3272.65 | 2527.700 | 5800.35 | 2900.18 | 290.02 |
| 9 | 16 | 60 | sand | 908.239 | 4180.89 | 2708.250 | 6889.14 | 3444.57 | 344.46 |
| 10 | 18 | 60 | sand | 881.900 | 5062.79 | 2708.250 | 7771.04 | 3885.52 | 388.55 |
| 11 | 20 | 60 | sand | 842.475 | 5905.27 | 2708.250 | 8613.52 | 4306.76 | 430.68 |
| 12 | 22 | 60 | sand | 791.431 | 6696.70 | 2708.250 | 9404.95 | 4702.47 | 470.25 |
| 13 | 24 | 60 | sand | 727.852 | 7424.55 | 2708.250 | 10132.80 | 5066.40 | 506.64 |
| 14 | 26 | 60 | sand | 652.718 | 8077.27 | 2708.250 | 10785.52 | 5392.76 | 539.28 |
| 15 | 28 | 60 | sand | 678.240 | 8755.51 | 2708.250 | 11463.76 | 5731.88 | 573.19 |
| 16 | 30 | 60 | sand | 719.060 | 9474.57 | 2708.250 | 12182.82 | 6091.41 | 609.14 |

Hasil perhitungan daya dukung menggunakan metode Reese and O'neill dapat ditampilkan dalam bentuk grafik daya dukung yang di tunjukkan pada Gambar 4.5 dengan sumbu x untuk nilai daya dukung ijin tiang dan sumbu y menunjukkan kedalaman yang ditinjau.



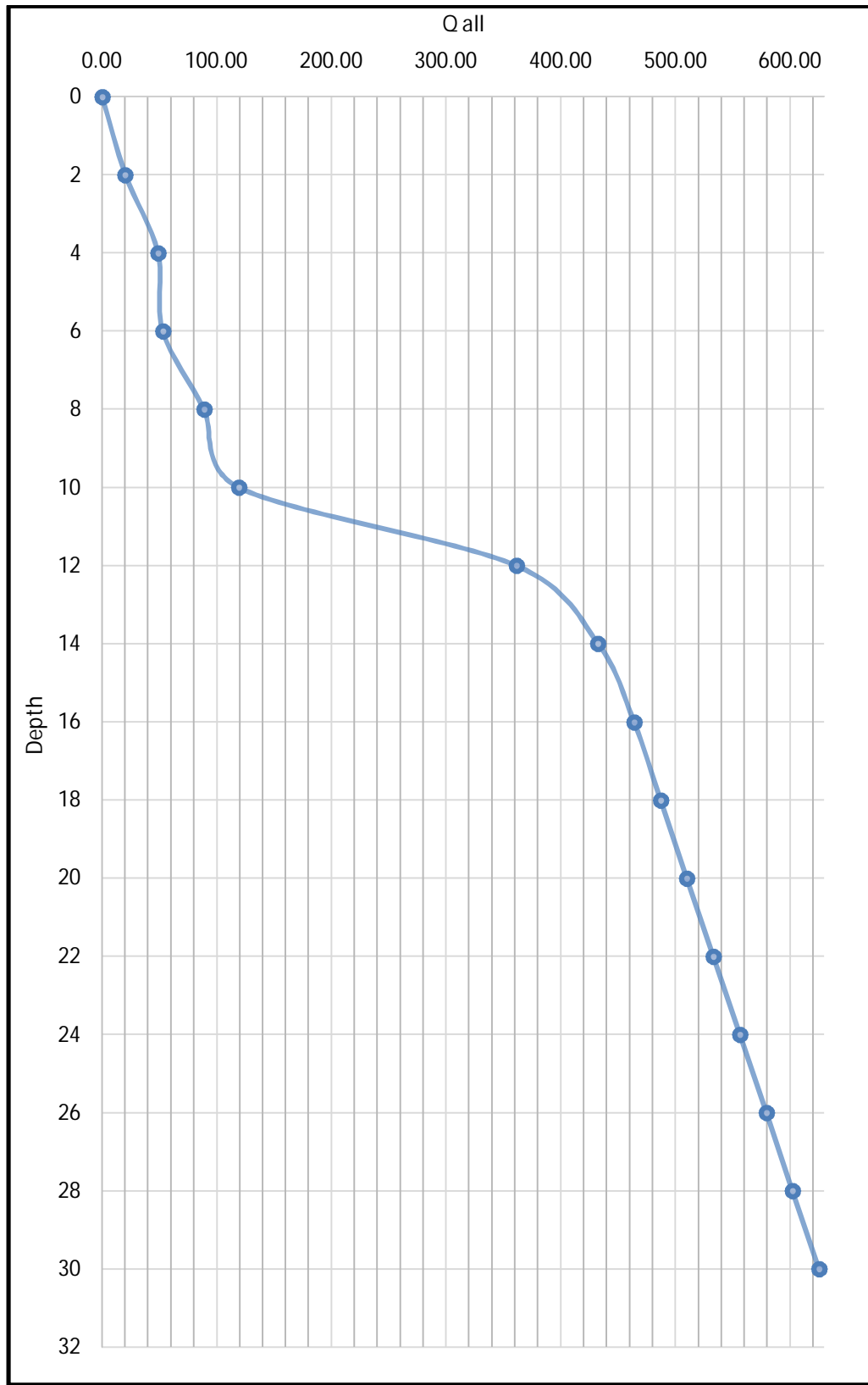
Gambar 4.5: Grafik daya dukung *bored pile* metode Resse and O'neil (BH-3).

Perhitungan berikutnya menggunakan parameter tanah yang di kemukakan oleh Briaud dapat dilihat pada Tabel 4.6. Hasil berikut merupakan perhitungan menggunakan program excel. Pada Tabel 4.6 dapat dilihat interval kedalaman yang ditinjau, nilai pengujian SPT, jenis tanah tiap interval peninjauan, nilai daya dukung selimut tiang, nilai daya dukung ujung tiang, daya dukung ultimit tiang serta daya dukung yang diijinkan tiang.

Tabel 4.6: Perhitungan daya dukung *bored pile* dengan korelasi parameter tanah Briaud (BH-3).

| No | z (m) | N Spt | Clay or Sand | Qsi | ΣQ_s | Sand ΣQ_b | $\Sigma Q_s +$ ΣQ_b | Qall | Qall |
|----|----------|----------|--------------------|---------|--------------|----------------------|--------------------------------|----------|---------|
| | | | | | | | | kN | Ton |
| 1 | 0 | | | | | | | 0 | 0.00 |
| 2 | 2 | 6 | clay | 95.776 | 95.776 | - | 405.249 | 202.625 | 20.262 |
| 3 | 4 | 12 | clay | 197.751 | 293.527 | - | 975.772 | 487.886 | 48.789 |
| 4 | 6 | 10 | clay | 212.886 | 506.413 | - | 1059.614 | 529.807 | 52.981 |
| 5 | 8 | 16 | clay | 318.886 | 825.299 | - | 1781.122 | 890.561 | 89.056 |
| 6 | 10 | 19 | clay | 387.991 | 1213.290 | - | 2388.144 | 1194.072 | 119.407 |
| 7 | 12 | 36 | sand | 397.681 | 1610.971 | 5618.298 | 7229.269 | 3614.635 | 361.463 |
| 8 | 14 | 56 | sand | 452.046 | 2063.017 | 6586.938 | 8649.955 | 4324.978 | 432.498 |
| 9 | 16 | 60 | sand | 461.181 | 2524.198 | 6752.589 | 9276.787 | 4638.394 | 463.839 |
| 10 | 18 | 60 | sand | 461.181 | 2985.379 | 6752.589 | 9737.968 | 4868.984 | 486.898 |
| 11 | 20 | 60 | sand | 461.181 | 3446.560 | 6752.589 | 10199.149 | 5099.575 | 509.957 |
| 12 | 22 | 60 | sand | 461.181 | 3907.741 | 6752.589 | 10660.330 | 5330.165 | 533.017 |
| 13 | 24 | 60 | sand | 461.181 | 4368.922 | 6752.589 | 11121.511 | 5560.756 | 556.076 |
| 14 | 26 | 60 | sand | 461.181 | 4830.103 | 6752.589 | 11582.692 | 5791.346 | 579.135 |
| 15 | 28 | 60 | sand | 461.181 | 5291.284 | 6752.589 | 12043.873 | 6021.937 | 602.194 |
| 16 | 30 | 60 | sand | 461.181 | 5752.465 | 6752.589 | 12505.054 | 6252.527 | 625.253 |

Hasil perhitungan daya dukung menggunakan metode Reese and O'neill dapat ditampilkan dalam bentuk grafik daya dukung yang di tunjukkan pada Gambar 4.6 dengan sumbu x untuk nilai daya dukung ijin tiang dan sumbu y menunjukkan kedalaman yang ditinjau.



Gambar 4.6: Grafik daya dukung *bored pile* dengan Korelasi parameter tanah Briaud (BH-3).

4.2. Perhitungan Penurunan Elastis (*Settlement*)

4.2.1. Penurunan Pada Titik BH-1 Dengan Metode Penurunan Elastis

- ✓ Menentukan S_1 sesuai kedalaman 18 m

$$\text{Diameter } (D) = 100 \text{ cm} = 1 \text{ m}$$

$$S_1 = \frac{(Q_{wp} + \xi Q_{ws}) \cdot L}{A_p \cdot E_p}$$

Dimana:

S_1 = Penurunan batang tiang

Q_{wp} = Daya dukung pada ujung tiang dikurangi daya dukung *friction*

ξ = Koefisien dari *skin friction* (Gambar 2.7b)

Q_{ws} = Daya dukung *friction*

L = Panjang tiang pancang

A_p = Luas penampang tiang pancang

$$A_p = \frac{1}{4} \cdot \pi \cdot D^2$$

$$= \frac{1}{4} \times 3,14 \times 1^2$$

$$= 0,785 \text{ m}^2$$

E_p = Modulus elastisitas dari bahan tiang

$$E_p = 4700\sqrt{30} = 25742,96 \text{ Mpa} = 2,6 \times 10^7 \text{ kN}$$

Maka:

$$Q_{wp} = \text{ujung tiang } (Q_p) - \text{selimut tiang } (Q_s)$$

$$= 2392,3 - 823,5 = 1568,8$$

$$Q_{ws} = Q_s = 823,5$$

$$\xi = 0,5 \text{ (gambar 2.7 b)}$$

$$L = 18$$

$$S_1 = \frac{(1568,8 + 0,5 \times 823,5) \cdot 18}{0,785 \cdot 2,6 \times 10^7} = 0,001764 \text{ m} = 1,764 \text{ mm}$$

Sehingga didapat nilai penurunan batang tiang sebesar 1,764 mm.

∨ Menentukan S₂ sesuai kedalaman 18 m.

$$\text{Diameter (D)} = 100 \text{ cm} = 1 \text{ m}$$

$$S_2 = \frac{(q_{wp} D)}{E_b} (1 - \mu_s^2) I_{wp}$$

Dimana:

$$q_{wp} = \frac{Q_{wp}}{A_p}$$

S₂ = Penurunan tiang akibat beban di ujung tiang

D = Diameter tiang

E_p = Modulus elastisitas dari bahan tiang

q_{wp} = Beban titik per satuan luas ujung tiang

I_{wp} = Faktor pengaruh

Maka:

$$Q_{wp} = \text{ujung tiang (Q}_p\text{)} - \text{selimut tiang (Q}_s\text{)}$$

$$= 2392,3 - 823,5 = 1568,8$$

$$A_p = \frac{1}{4} \cdot \pi \cdot D^2$$

$$= \frac{1}{4} \times 3,14 \times 1^2$$

$$= 0,785 \text{ m}^2$$

$$q_{wp} = \frac{1568,8}{0,785} = 1998,46$$

$$E_s = 2,5 \cdot q_c$$

$$q_c = 4 \times N \text{ spt} = 4 \times 53 = 212 \text{ kg/m}^2 = 20776 \text{ kN/m}^2$$

$$E_s = 2,5 \cdot 20776 = 51940 \text{ kN/m}^2$$

$$E_b = 10 \cdot E_s$$

$$E_b = 10 \cdot 51940 = 519400 \text{ kN/m}^2$$

$$I_{wp} = 0.85$$

$$\mu = 0.5$$

$$S_2 = \frac{(1998,46 \cdot 1)}{519400} (1 - 0.5^2) \cdot 0.85 = 0.002453 \text{ m} = 2,453 \text{ mm}$$

Sehingga didapat nilai penurunan tiang akibat beban diujung tiang sebesar 2,453 mm.

- ✓ Menentukan S₃ sesuai kedalaman 18 m.

$$\text{Diameter (D)} = 100 \text{ cm} = 1 \text{ m}$$

$$S_3 = \left(\frac{Q_{ws}}{PL} \right) \frac{D}{E_s} (1 - \mu_s^2) I_{ws}$$

Dimana:

S₃ = Penurunan tiang akibat beban yang tersalurkan sepanjang tiang

Q_{ws} = Q_s = 823,5

P = Keliling tiang

$$\begin{aligned} P &= \pi \cdot D \\ &= 3,14 \cdot 1 = 3,14 \end{aligned}$$

E_s = Modulus elastisitas dari bahan tiang

$$E_s = 2,5 \cdot 20776 = 51940 \text{ kN/m}^2$$

I_{ws} = Faktor pengaruh

$$I_{ws} = 2 + 0,35 \sqrt{\frac{L}{D}}$$

$$I_{ws} = 2 + 0,35 \sqrt{\frac{18}{1}} = 3,48$$

Maka:

$$\begin{aligned} S_3 &= \left(\frac{823,5}{3,14 \cdot 18} \right) \frac{1}{51940} (1 - 0,5^2) 3,48 \\ &= 0,000733 \text{ m} = 0,733 \text{ mm} \end{aligned}$$

Sehingga didapat nilai penurunan tiang akibat beban yang tersalurkan sepanjang tiang sebesar 0,733 mm.

Jadi penurunan total tiang tunggal akibat beban vertikal yang bekerja adalah:

$$\begin{aligned} S_{\text{Total}} &= S_1 + S_2 + S_3 \\ &= 1,764 + 2,453 + 0,733 = 4,950 \text{ mm} \end{aligned}$$

4.2.2. Penurunan Pada Titik BH-2 Dengan Metode Penurunan Elastis

- ✓ Menentukan S₁ sesuai kedalaman 18 m

$$\text{Diameter (D)} = 100 \text{ cm} = 1 \text{ m}$$

$$S_1 = \frac{(Q_{wp} + \xi Q_{ws}) \cdot L}{A_p \cdot E_p}$$

Dimana:

- S_1 = Penurunan batang tiang
- Q_{wp} = Daya dukung pada ujung tiang dikurangi daya dukung *friction*
- ξ = Koefisien dari *skin friction* (Gambar 2.7b)
- Q_{ws} = Daya dukung *friction*
- L = Panjang tiang pancang
- A_p = Luas penampang tiang pancang
- $A_p = \frac{1}{4} \cdot \pi \cdot D^2$
 $= \frac{1}{4} \times 3,14 \times 1^2$
 $= 0,785 \text{ m}^2$
- E_p = Modulus elastisitas dari bahan tiang
- $E_p = 4700\sqrt{30} = 25742,96 \text{ MPa} = 2,6 \times 10^7 \text{ kN}$

Maka:

$$\begin{aligned} Q_{wp} &= \text{ujung tiang } (Q_p) - \text{selimut tiang } (Q_s) \\ &= 2708,3 - 794,3 = 1914,0 \\ Q_{ws} &= Q_s = 794,3 \\ \xi &= 0,5 \text{ (gambar 2.7 b)} \\ L &= 18 \\ S_1 &= \frac{(1914,0 + 0,5 \times 794,3) \cdot 18}{0,785 \cdot 2,6 \times 10^7} = 0,002059 \text{ m} = 2,059 \text{ mm} \end{aligned}$$

Sehingga didapat nilai penurunan batang tiang sebesar 2,059 mm.

∨ Menentukan S_2 sesuai kedalaman 18 m.

$$\text{Diameter } (D) = 100 \text{ cm} = 1 \text{ m}$$

$$S_2 = \frac{(q_{wp} D)}{E_b} (1 - \mu_s^2) l_{wp}$$

Dimana:

$$q_{wp} = \frac{Q_{wp}}{A_p}$$

$$S_2 = \text{Penurunan tiang akibat beban di ujung tiang}$$

- D = Diameter tiang
 E_p = Modulus elastisitas dari bahan tiang
 q_{wp} = Beban titik per satuan luas ujung tiang
 I_{wp} = Faktor pengaruh

Maka:

$$Q_{wp} = \text{ujung tiang } (Q_p) - \text{selimut tiang } (Q_s)$$

$$= 2708,3 - 794,3 = 1914,0$$

$$A_p = \frac{1}{4} \cdot \pi \cdot D^2$$

$$= \frac{1}{4} \times 3,14 \times 1^2$$

$$= 0,785 \text{ m}^2$$

$$q_{wp} = \frac{1914,0}{0,785} = 2438,16$$

$$E_s = 2,5 \cdot q_c$$

$$q_c = 4 \times N_{\text{spt}} = 4 \times 60 = 240 \text{ kg/m}^2 = 23530 \text{ kN/m}^2$$

$$E_s = 2,5 \cdot 23530 = 58800 \text{ kN/m}^2$$

$$E_b = 10 \cdot E_s$$

$$E_b = 10 \cdot 58800 = 588000 \text{ kN/m}^2$$

$$I_{wp} = 0,85$$

$$\mu = 0,5$$

$$S_2 = \frac{(2438,16 \cdot 1)}{588000} (1 - 0,5^2) \cdot 0,85 = 0,002643 \text{ m} = 2,643 \text{ mm}$$

Sehingga didapat nilai penurunan tiang akibat beban diujung tiang sebesar 2,643 mm.

∨ Menentukan S3 sesuai kedalaman 18 m.

$$\text{Diameter } (D) = 100 \text{ cm} = 1 \text{ m}$$

$$S_3 = \left(\frac{Q_{ws}}{PL} \right) \frac{D}{E_s} (1 - \mu_s^2) I_{ws}$$

Dimana:

$$S_3 = \text{Penurunan tiang akibat beban yang tersalurkan sepanjang tiang}$$

$$Q_{ws} = Q_s = 794,3$$

$$P = \text{Keliling tiang}$$

$$P = \pi \cdot D$$

$$= 3,14 \cdot 1 = 3,14$$

E_s = Modulus elastisitas dari bahan tiang

$$E_s = 2,5 \cdot 23520 = 58800 \text{ kN/m}^2$$

I_{ws} = Faktor pengaruh

$$I_{ws} = 2 + 0,35 \sqrt{\frac{L}{D}}$$

$$I_{ws} = 2 + 0,35 \sqrt{\frac{18}{1}} = 3,48$$

Maka:

$$\begin{aligned} S_3 &= \left(\frac{823,5}{3,14 \cdot 18} \right) \frac{1}{51940} (1 - 0,5^2) 3,48 \\ &= 0,000625 \text{ m} = 0,625 \text{ mm} \end{aligned}$$

Sehingga didapat nilai penurunan tiang akibat beban yang tersalurkan sepanjang tiang sebesar 0,625 mm.

Jadi penurunan total tiang tunggal akibat beban vertikal yang bekerja adalah:

$$S_{\text{Total}} = S_1 + S_2 + S_3$$

$$S = 1,764 + 2,453 + 0,625 = 5,327 \text{ mm}$$

4.2.3. Penurunan Pada Titik BH-3 Dengan Metode Penurunan Elastis

✓ Menentukan S_1 sesuai kedalaman 18 m

$$\text{Diameter (D)} = 100 \text{ cm} = 1 \text{ m}$$

$$S_1 = \frac{(Q_{wp} + \xi Q_{ws}) \cdot L}{A_p \cdot E_p}$$

Dimana:

S_1 = Penurunan batang tiang

Q_{wp} = Daya dukung pada ujung tiang dikurangi daya dukung *friction*

ξ = Koefisien dari *skin friction* (Gambar 2.7b)

Q_{ws} = Daya dukung *friction*

L = Panjang tiang pancang

A_p = Luas penampang tiang pancang

$$\begin{aligned} A_p &= \frac{1}{4} \cdot \pi \cdot D^2 \\ &= \frac{1}{4} \times 3,14 \times 1^2 \\ &= 0,785 \text{ m}^2 \end{aligned}$$

E_p = Modulus elastisitas dari bahan tiang

$$E_p = 4700\sqrt{30} = 25742,96 \text{ MPa} = 2,6 \times 10^7 \text{ kN}$$

Maka:

$$\begin{aligned} Q_{wp} &= \text{ujung tiang } (Q_p) - \text{selimut tiang } (Q_s) \\ &= 2708,3 - 881,9 = 1826,4 \end{aligned}$$

$$Q_{ws} = Q_s = 881,9$$

$$\xi = 0,5 \text{ (gambar 2.7 b)}$$

$$L = 18$$

$$S_1 = \frac{(1826,4 + 0,5 \times 881,9) \cdot 18}{0,785 \cdot 2,6 \times 10^7} = 0,002020 \text{ m} = 2,020 \text{ mm}$$

Sehingga didapat nilai penurunan batang tiang sebesar 2,020 mm.

∨ Menentukan S_2 sesuai kedalaman 18 m.

$$\text{Diameter } (D) = 100 \text{ cm} = 1 \text{ m}$$

$$S_2 = \frac{(q_{wp} D)}{E_b} (1 - \mu_s^2) I_{wp}$$

Dimana:

$$q_{wp} = \frac{Q_{wp}}{A_p}$$

S_2 = Penurunan tiang akibat beban di ujung tiang

D = Diameter tiang

E_p = Modulus elastisitas dari bahan tiang

q_{wp} = Beban titik per satuan luas ujung tiang

I_{wp} = Faktor pengaruh

Maka:

$$\begin{aligned} Q_{wp} &= \text{ujung tiang } (Q_p) - \text{selimut tiang } (Q_s) \\ &= 2708,3 - 881,9 = 1826,4 \end{aligned}$$

$$A_p = \frac{1}{4} \cdot \pi \cdot D^2$$

$$\begin{aligned}
&= \frac{1}{4} \times 3,14 \times 1^2 \\
&= 0,785 \text{ m}^2 \\
q_{wp} &= \frac{1826,4}{0,785} = 2326,56 \\
E_s &= 2,5 \cdot q_c \\
q_c &= 4 \times N \text{ spt} = 4 \times 60 = 240 \text{ kg/m}^2 = 23530 \text{ kN/m}^2 \\
E_s &= 2,5 \cdot 23520 = 58800 \text{ kN/m}^2 \\
E_b &= 10 \cdot E_s \\
E_b &= 10 \cdot 58800 = 588000 \text{ kN/m}^2 \\
I_{wp} &= 0,85 \\
\mu &= 0,5 \\
S_2 &= \frac{(2326,56 \cdot 1)}{588000} (1 - 0,5^2) \cdot 0,85 = 0,002522 \text{ m} = 2,522 \text{ mm}
\end{aligned}$$

Sehingga didapat nilai penurunan tiang akibat beban diujung tiang sebesar 2,522 mm.

∨ Menentukan S3 sesuai kedalaman 18 m.

$$\text{Diameter (D)} = 100 \text{ cm} = 1 \text{ m}$$

$$S_3 = \left(\frac{Q_{ws}}{PL} \right) \frac{D}{E_s} (1 - \mu_s^2) I_{ws}$$

Dimana:

S_3 = Penurunan tiang akibat beban yang tersalurkan sepanjang tiang

$$Q_{ws} = Q_s = 794,3$$

P = Keliling tiang

$$P = \pi \cdot D$$

$$= 3,14 \cdot 1 = 3,14$$

E_s = Modulus elastisitas dari bahan tiang

$$E_s = 2,5 \cdot 23520 = 58800 \text{ kN/m}^2$$

I_{ws} = Faktor pengaruh

$$I_{ws} = 2 + 0,35 \sqrt{\frac{L}{D}}$$

$$l_{ws} = 2 + 0,35 \sqrt{\frac{18}{1}} = 3,48$$

Maka:

$$\begin{aligned} S_3 &= \left(\frac{823,5}{3,14 \cdot 18} \right) \frac{1}{51940} (1 - 0,5^2) 3,48 \\ &= 0,000694 \text{ m} = 0,694 \text{ mm} \end{aligned}$$

Sehingga didapat nilai penurunan tiang akibat beban yang tersalurkan sepanjang tiang sebesar 0,625 mm.

Jadi penurunan total tiang tunggal akibat beban vertikal yang bekerja adalah:

$$\begin{aligned} S_{\text{Total}} &= S_1 + S_2 + S_3 \\ S &= 2,020 + 2,522 + 0,694 = 5,236 \text{ mm} \end{aligned}$$

Setelah dilakukan perhitungan sesuai dengan teori penurunan dengan metode penurunan elastis maka rekapitulasi perhitungan penurunan yang terjadi pada masing-masing titik tinjauan dapat dilihat pada Tabel 4.7.

Tabel 4.7: Rekapitulasi perhitungan penurunan elastis tiang tunggal pada BH-1 s.d BH 3.

| Tinjauan titik | S1 (mm) | S2 (mm) | S3 (mm) | S total (mm) |
|----------------|---------|---------|---------|--------------|
| BH 1 | 1.764 | 2.453 | 0,733 | 4,950 |
| BH 2 | 2,059 | 2,643 | 0,625 | 5,327 |
| BH 3 | 2,020 | 2,522 | 0,694 | 5,236 |

4.3. Perhitungan Daya Dukung Dengan Program

Perhitungan daya dukung dan penurunan dengan program Allpile dengan data *Standart Penetration Test (SPT)* hasil pengujian di lapangan.

4.3.1. Output Desain Program Allpile Pada BH-1

Data tiang yang terlebih dahulu di *input* pada program perhitungan sebagaimana dapat dilihat pada Tabel 4.8 untuk data dari tiang bor dan Tabel 4.9 untuk data tanah sesuai dengan pengujian dilapangan.

Tabel 4.8: Data tiang (*Output software Allpile*) Pada BH-1.

| Depth (m) | Width (cm) | Area (cm ²) | I (cm ⁴) | E (MP) | Weight (kN/m) |
|--------------|---------------|----------------------------|-------------------------|-----------|------------------|
| 0 | 100 | 7854 | 4908738,5 | 20683 | 18,520 |
| 18 | 100 | 7854 | 4908738,5 | 199938 | 60,127 |

Dari Tabel 4.8 dapat dilihat kedalaman tinjauan 0 meter dan 18 meter kemudian pada kolom kedua merupakan diameter dari tiang yang ditinjau, dilanjutkan dengan luas penampang tiang, inersia tiang, modulus elastisitas tiang dan kemudian berat dari tiang yang ditinjau.

Setelah data tanah yaitu jenis tanah dan nilai SPT di *input* pada program perhitungan maka akan dapat dilihat data *output* dari program perhitungan (Tabel 4.9).

Tabel 4.9: Data tanah (*Output software Allpile*) Pada BH-1.

| Depth (m) | Gamma (kN/m ³) | Phi | C (kN/m ²) | K (MN/m ³) | Nspt |
|--------------|-------------------------------|------|---------------------------|---------------------------|------|
| 0 | 5,3 | 0 | 4,2 | 2,6 | 1 |
| 2 | 9,8 | 0 | 42,5 | 49,8 | 7 |
| 4 | 10,6 | 0 | 65,2 | 96,3 | 11 |
| 6 | 10,9 | 31,6 | 45,2 | 151,8 | 15 |
| 8 | 11,0 | 32,4 | 53,0 | 188,0 | 18 |
| 10 | 9,3 | 36,6 | 0 | 19,0 | 21 |
| 12 | 9,4 | 37,4 | 0 | 22,3 | 25 |
| 14 | 9,5 | 37,9 | 0 | 25,0 | 29 |
| 16 | 9,7 | 38,6 | 0 | 30,5 | 37 |
| 18 | 10,9 | 40,4 | 0 | 45,3 | 53 |

Dari Tabel 4.9 dapat dilihat yang dihasilkan dari program perhitungan yaitu data kedalaman, nilai gamma, phi atau sudut gesek tanah, kohesi, modulus reaksi tanah dan nilai SPT sesuai data yang di *input* sebelumnya.

4.3.1.1. Vertical capacity

| | |
|--|--------------------------------|
| <i>Weight above Ground</i> | = 0,0 Total Weight = 194,77 kN |
| <i>Side resistance (down)</i> | = 3150,770kN |
| <i>Side resistance (up)</i> | = 2356,066kN |
| <i>Total ultimate capacity (down)</i> | =7706,090kN |
| <i>Total ultimate capacity (up)</i> | =2550,837kN |
| <i>Total Allowable capacity (down)</i> | =3853,045kN |
| <i>Total Allowable capacity (up)</i> | =1372,805kN |

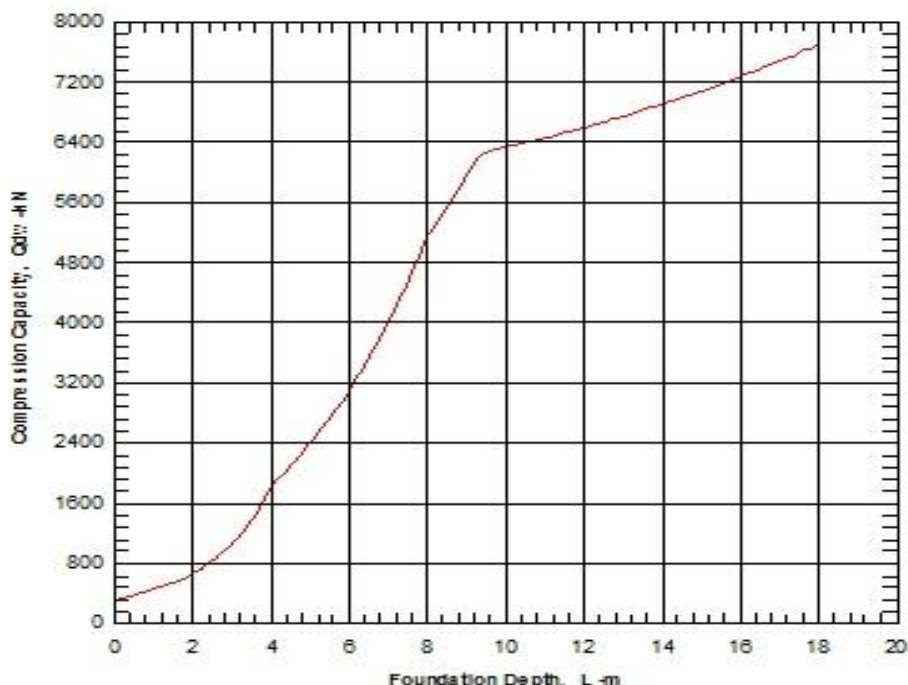
OK! $Q_{allow} > Q$

4.3.1.2. Settlement calculation

At $Q = 3000$ kN $settlement = 0,41972$ cm

At $X_{allow} = 2,50$ cm $Q_{allow} = 5546,8818$ kN

Dari data perhitungan diatas dapat juga ditampilkan dalam bentuk grafik daya dukung berdasarkan perhitungan dengan program (Gambar 4.7) dimana pada sumbu x merupakan kedalaman dari tiang yang dittinjau dan pada sumbu y merupakan nilai daya dukung berdasarkan hasil perhitungan program Allpile.



Gambar 4.7: Output grafik daya dukung pondasi tiang bor pada software Allpile. BH-1.

4.3.2. Output Desain Software Allpile Pada BH 2

Setelah semua data sudah di *input* sesuai data *standart penetration test* (SPT) yang ada dilapangan, maka hasil program Allpile pada BH 2 dapat dilihat pada Tabel 4.10 dan Tabel 4.11.

Tabel 4.10: Data tiang (*output software Allpile*) BH-2.

| Depth (m) | Width (cm) | A rea (cm ²) | I (cm ⁴) | E (MP) | Weight (kN/m) |
|-----------|------------|--------------------------|----------------------|--------|---------------|
| 0 | 100 | 7854 | 4908738,5 | 20683 | 18,520 |
| 18 | 100 | 7854 | 4908738,5 | 199938 | 60,127 |

Dari Tabel 4.10 dapat dilihat kedalaman tinjauan 0 meter dan 18 meter kemudian pada kolom kedua merupakan diameter dari tiang yang ditinjau, dilanjutkan dengan luas penampang tiang, inersia tiang, modulus elastisitas tiang dan kemudian berat dari tiang yang ditinjau.

Setelah data tanah yaitu jenis tanah dan nilai SPT di *input* pada program perhitungan maka akan dapat dilihat data *output* dari program perhitungan (Tabel 4.11).

Tabel 4.11: Data tanah (*output software Allpile*) BH-2.

| Depth (m) | Gamma (kN/m ³) | Phi | C (kN/m ²) | K (MN/m ³) | Nspt |
|-----------|----------------------------|------|------------------------|------------------------|------|
| 0 | 15,1 | 0 | 4,2 | 2,6 | 1 |
| 2 | 10,1 | 0 | 47,9 | 60,5 | 8 |
| 4 | 10,8 | 30,8 | 38,3 | 121,0 | 13 |
| 6 | 10,3 | 0 | 52,7 | 70,2 | 9 |
| 8 | 9,4 | 37,1 | 0 | 21,2 | 24 |
| 10 | 9,5 | 37,8 | 0 | 24,4 | 28 |
| 12 | 9,6 | 38,2 | 0 | 26,8 | 31 |

Tabel 4.11: *Lanjutan.*

| Depth (m) | Gamma (kN/m ³) | Phi | C (kN/m ²) | K (MN/m ³) | Nspt |
|--------------|-------------------------------|------|---------------------------|---------------------------|------|
| 14 | 11,2 | 40,8 | 0 | 47,9 | 55 |
| 16 | 11,7 | 42,1 | 0 | 53,5 | 60 |
| 18 | 11,7 | 42,1 | 0 | 53,5 | 60 |

Dari Tabel 4.11 dapat dilihat yang dihasilkan dari program perhitungan yaitu data kedalaman, nilai gamma, phi atau sudut gesek tanah, kohesi, modulus reaksi tanah dan nilai SPT sesuai data yang di *input* sebelumnya.

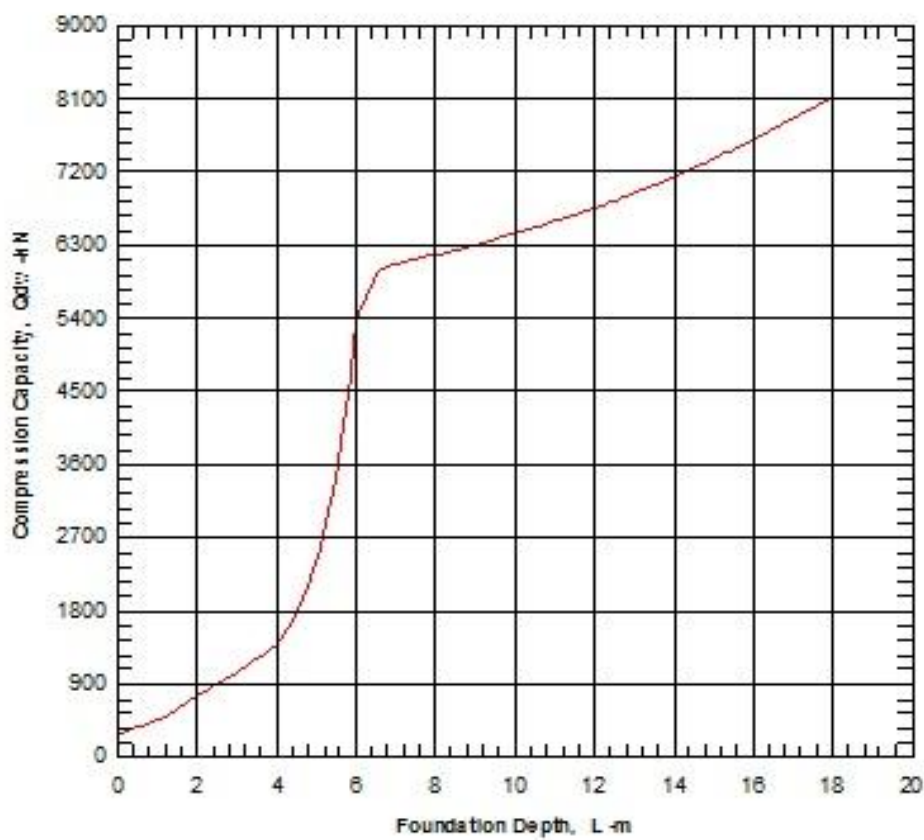
4.3.2.1. *Vertical capacity*

| | |
|--|-------------------------------|
| <i>Weight above Ground</i> | =0,0 Total Weight = 194,77 kN |
| <i>Side resistance (down)</i> | =3130,438kN |
| <i>Side resistance (up)</i> | =2163,642kN |
| <i>Total ultimate capacity (down)</i> | = 8117,728kN |
| <i>Total ultimate capacity (up)</i> | =2358,415kN |
| <i>Total Allowable capacity (down)</i> | =4058,864kN |
| <i>Total Allowable capacity (up)</i> | =1276,594kN |
| OK! Q allow > Q | |

4.3.2.2. *Settlement calculation*

| | | |
|------------|-----------|--------------------------------|
| At Q | = 3000 kN | <i>settlement</i> = 0,46916 cm |
| At X allow | = 2,50 cm | <i>Q allow</i> = 5647,794kN |

Dari data perhitungan diatas dapat juga di tampilkan dalam bentuk grafik daya dukung berdasarkan perhitungan dengan program (Gambar 4.8) dimana pada sumbu x merupakan kedalaman dari tiang yang ditinjau dan pada sumbu y merupakan nilai daya dukung berdasarkan hasil perhitungan program Allpile.



Gambar 4.8: *Output* grafik daya dukung pondasi tiang bor pada *software Allpile BH-2*.

4.3.3. *Output Desain Software Allpile Pada BH 3*

Setelah semua data sudah di *input* sesuai data *standart penetration test* (SPT) yang ada dilapangan, maka hasil program Allpile pada BH 3 dapat dilihat pada Tabel 4.12 dan Tabel 4.13.

Tabel 4.12: Data tiang (*output software Allpile*) BH-3.

| Depth (m) | Width (cm) | A rea (cm ²) | I (cm ⁴) | E (MP) | Weight (kN/m) |
|-----------|------------|--------------------------|----------------------|--------|---------------|
| 0 | 100 | 7854 | 4908738,5 | 20683 | 18,520 |
| 18 | 100 | 7854 | 4908738,5 | 199938 | 60,127 |

Dari Tabel 4.12 dapat dilihat kedalaman tinjauan 0 meter dan 18 meter kemudian pada kolom kedua merupakan diameter dari tiang yang ditinjau,

dilanjutkan dengan luas penampang tiang, inersia tiang, modulus elastisitas tiang dan kemudian berat dari tiang yang ditinjau.

Setelah data tanah yaitu jenis tanah dan nilai SPT di *input* pada program perhitungan maka akan dapat dilihat data *output* dari program perhitungan (Tabel 4.13).

Tabel 4.13: Data tanah (*output software Allpile*) BH-3.

| Depth (m) | Gamma (kN/m ³) | Phi | C (kN/m ²) | K (MN/m ³) | Nspt |
|--------------|-------------------------------|------|---------------------------|---------------------------|------|
| 0 | 17,4 | 0 | 18,0 | 11,3 | 3 |
| 2 | 9,4 | 28,1 | 18,0 | 37,1 | 6 |
| 4 | 10,7 | 30,6 | 35,9 | 110,5 | 12 |
| 6 | 10,5 | 29,8 | 29,9 | 85,0 | 10 |
| 8 | 10,9 | 31,9 | 47,9 | 164,2 | 16 |
| 10 | 11,0 | 32,7 | 56,9 | 206,5 | 19 |
| 12 | 9,7 | 38,6 | 0 | 30,1 | 36 |
| 14 | 11,3 | 41,0 | 0 | 48,9 | 56 |
| 16 | 11,7 | 42,1 | 0 | 53,5 | 60 |
| 18 | 11,7 | 42,1 | 0 | 53,5 | 60 |

Dari Tabel 4.13 dapat dilihat yang dihasilkan dari program perhitungan yaitu data kedalaman, nilai gamma, phi atau sudut gesek tanah, kohesi, modulus reaksi tanah dan nilai SPT sesuai data yang di *input* sebelumnya.

4.3.3.1. Vertical capacity

| | |
|---------------------------------------|-------------------------------|
| <i>Weight above Ground</i> | =0,0 Total Weight = 194,77 kN |
| <i>Side resistance (down)</i> | =3710,885kN |
| <i>Side resistance (up)</i> | =2629,451kN |
| <i>Total ultimate capacity (down)</i> | =7794,965kN |
| <i>Total ultimate capacity (up)</i> | =2824,224kN |

$$\text{Total Allowable capacity (down)} = 3897,483 \text{kN}$$

$$\text{Total Allowable capacity (up)} = 1509,498 \text{kN}$$

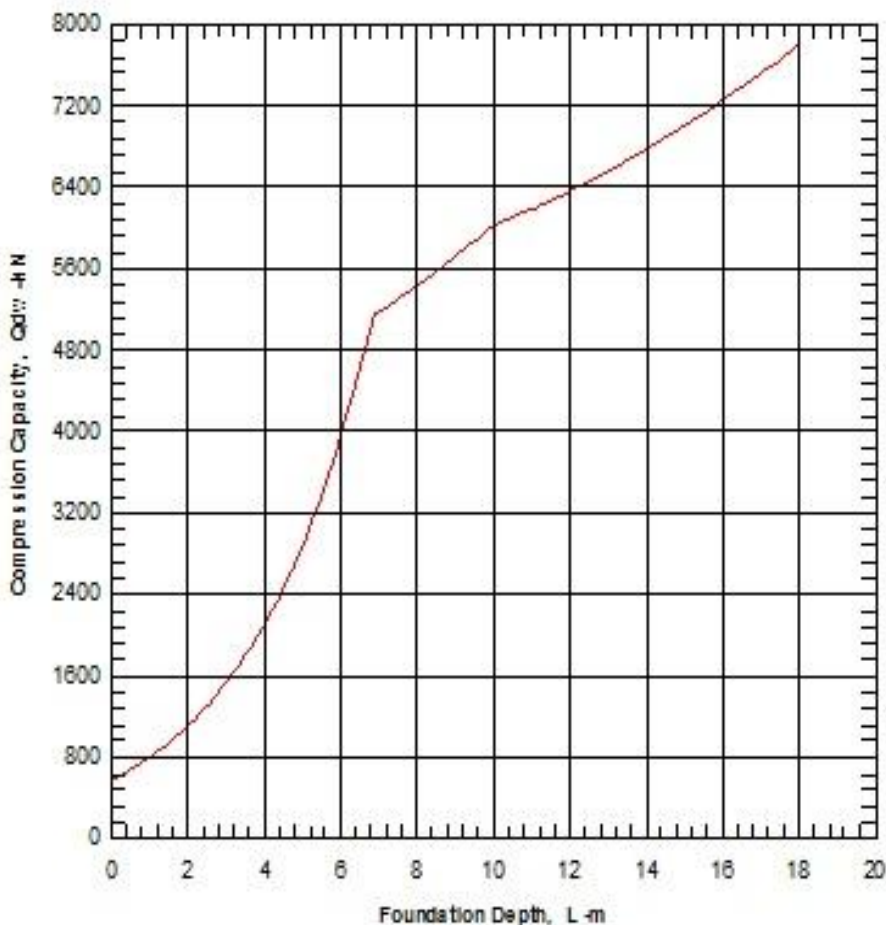
OK! $Q_{allow} > Q$

4.3.3.2. Settlement calculation

$$\text{At } Q = 3000 \text{ kN} \quad \text{settlement} = 0,34685 \text{ cm}$$

$$\text{At } X_{allow} = 2,50 \text{ cm} \quad Q_{allow} = 5946,347 \text{kN}$$

Dari data perhitungan diatas dapat juga ditampilkan dalam bentuk grafik daya dukung berdasarkan perhitungan dengan program (Gambar 4.9) dimana pada sumbu x merupakan kedalaman dari tiang yang ditinjau dan pada sumbu y merupakan nilai daya dukung berdasarkan hasil perhitungan program Allpile.



Gambar 4.9: Output grafik daya dukung pondasi tiang bor pada software Allpile BH-3.

4.3.4. Hasil rekapitulasi

Berdasarkan hasil perhitungan daya dukung pondasi *bored pile* yang dilakukan dengan metode analitis (Resse and O'neil, dan dengan korelasi parameter tanah Briaud) dan penurunan pondasi menggunakan program Allpile di tunjukkan pada :

1. Perbandingan hasil perhitungan daya dukung dengan metode analitis

Perbandingan hasil perhitungan daya dukung dengan metode analitis (Resse and O'neil, dan dengan korelasi parameter tanah Briaud) dengan program Allpile di tunjukkan dalam (Tabel 4.14):

Tabel 4.14: Rekapitulasi perbandingan hasil perhitungan daya dukung *ultimate*.

| Titik | Panjang tiang (m) | Metode Analitis Reese & O'Neill | | Metode Analitis Vesic dengan korelasi parameter tanah Briaud | | Program Allpile | |
|-------|-------------------|---------------------------------|------------|--|------------|-----------------|------------|
| | | Q ult (kN) | Q all (kN) | Q ult (kN) | Q all (kN) | Q ult (kN) | Q all (kN) |
| BH 1 | 18 | 7743,248 | 3871,624 | 9268,998 | 4634,499 | 7706,090 | 3853,045 |
| BH 2 | 18 | 8097,136 | 4048,568 | 9756,712 | 4878,356 | 8117,728 | 4058,864 |
| BH 3 | 18 | 7771,040 | 3885,520 | 9737,968 | 4868,984 | 7794,965 | 3897,483 |

Dari Tabel 4.14 diketahui bahwa perbedaan selisih hasil untuk perhitungan kapasitas daya dukung ultimit dan ijin antara metode analitis dengan program Allpile pada ketiga titik tinjauan yang dalam hal ini penulis membandingkan hasil hanya pada kedalaman tiang 18 meter, seperti dapat dilihat perbedaan pada BH 1 dengan metode Reese & O'neill untuk daya dukung ijin sebesar 3871,624 kN, sedangkan dengan metode Vesic dengan korelasi parameter tanah Briaud untuk daya dukung ijin sebesar 4634,499 kN dan dengan program Allpile menghasilkan nilai 3853,045 kN untuk daya dukung ijinya.

2. Berdasarkan perhitungan analitis dan dengan perhitungan program Allpile maka penurunan elastis yang terjadi pada tiang tunggal dapat di tunjukkan dalam (Tabel 4.15):

Tabel 4.15: Rekapitulasi perbandingan hasil perhitungan penurunan elastis dengan program Allpile.

| Titik yang di tinjau | Penurunan elastis | Penurunan dengan program Allpile | Selisih % |
|----------------------|-------------------|----------------------------------|-----------|
| BH 1 | 4,950 mm | 4,197 mm | 15,21 |
| BH 2 | 5,327 mm | 4,692 mm | 11,92 |
| BH 3 | 5,236 mm | 3,469 mm | 33,75 |
| Rata-rata % | | | 20,29 |

Dari Tabel 4.15 diketahui nilai penurunan pada BH 1 sebesar 4,950 mm berdasarkan perhitungan penurunan elastis dan 4,197 mm berdasarkan perhitungan penurunan dengan program Allpile, pada BH 2 dengan perhitungan penurunan elastis didapat nilai penurunan sebesar 5,327 mm dan 4,692 mm berdasarkan perhitungan penurunan dengan program Allpile, dan pada BH 3 didapat nilai penurunan berdasarkan penurunan elastis sebesar 5,236 mm dan dengan perhitungan dengan program Allpile sebesar 3,469 mm. Dengan begitu didapat perbedaan dan selisih pada BH-1=15,21%, BH-2=11,92% dan BH-3=33,75% antara perhitungan penurunan antara metode analitis dengan program Allpile.

BAB 5

KESIMPULAN DAN SARAN

5.1. Kesimpulan

Dari hasil analitis, dapat di ambil kesimpulan:

1. Hasil perhitungan daya dukung pondasi *Bored Pile* dengan metode analitis adalah sebagai berikut:

Daya dukung yang dihasilkan berdasarkan metode Reese and O'neil sebesar:

- BH 1 = 387,162 Ton
- BH 2 = 404,857 Ton
- BH 3 = 388,550 Ton

Daya dukung yang dihasilkan berdasarkan metode Vesic dengan korelasi parameter tanah Briaud sebesar:

- BH 1 = 463,450 Ton
- BH 2 = 487,836 Ton
- BH 3 = 486,898 Ton

Sedangkan hasil perhitungan kapasitas daya dukung pondasi *Bored Pile* dengan program *AllPile* adalah sebagai berikut:

- BH 1 = 385,305 Ton
- BH 2 = 405,886 Ton
- BH 3 = 389,748 Ton

2. Penurunan yang terjadi dengan menggunakan metode penurunan elastis pada ketiga titik adalah sebagai berikut:

- BH 1 = 5,084 mm
- BH 2 = 5,441 mm
- BH 3 = 5,362 mm

Sedangkan penurunan yang terjadi pada perhitungan program *AllPile* didapat nilai penurunan yang terjadi adalah sebagai berikut:

- BH 1 = 4,950 mm
- BH 2 = 5,327 mm
- BH 3 = 5,236 mm

Sehingga didapat persentase perbandingan penurunan yang terjadi antara metode penurunan elastis dengan perhitungan dengan program Allpile:

- BH 1 = 15,21 %
- BH 2 = 11,92 %
- BH 3 = 33,75 %

5.2. Saran

Berdasarkan dari studi kasus yang penulis lakukan bersama dengan ini penulis juga bermaksud memberikan saran yang mungkin bisa bermanfaat untuk peneliti selanjutnya, diantaranya sebagai berikut:

1. Untuk mempermudah dan mendapatkan kelancaran dalam melakukan studi kasus ataupun penelitian di harapkan selain memiliki ketelitian dalam penginputan data juga diharapkan memiliki insting seorang *engineering* sehingga tidak terlalu terfokus pada hasil perhitungan tetapi juga memiliki asumsi-asumsi yang dapat menguatkan hasil perhitungan.
2. Agar hasil perhitungan memiliki hasil yang baik diharapkan agar data yang digunakan sebagai dasar perhitungan benar-benar di *input* kedalam persamaan perhitungan dengan baik dan benar dengan tetap memperhatikan satuan dari setiap data.
3. Pada saat penggunaan program AllPile disarankan agar terlebih dahulu memahami setiap *tools* yang ada pada program dan juga memperhatikan ketelitian pada saat *input* data kedalam program sehingga tidak sering terjadi kesalahan dalam perhitungan.

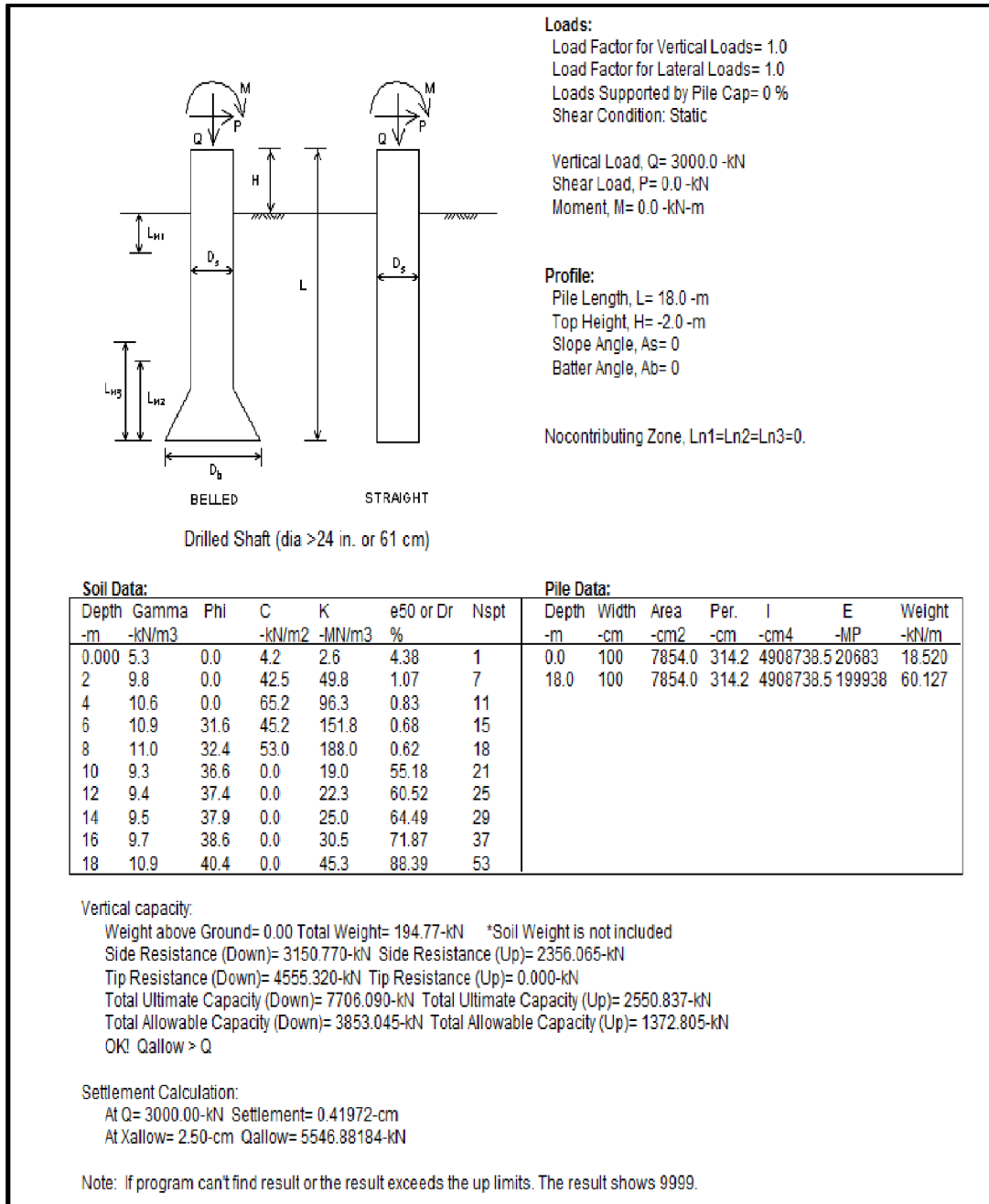
Demikian kesimpulan dan saran penulis pada Tugas Akhir ini, penulis mengucapkan banyak terimakasih atas kesempatan pembaca untuk koreksi dan

masukannya, serta penulis juga ingin meminta maaf atas banyaknya keterbatasan dalam pengumpulan data, pengetahuan ataupun kesalahan pada perencanaan Tugas Akhir ini.

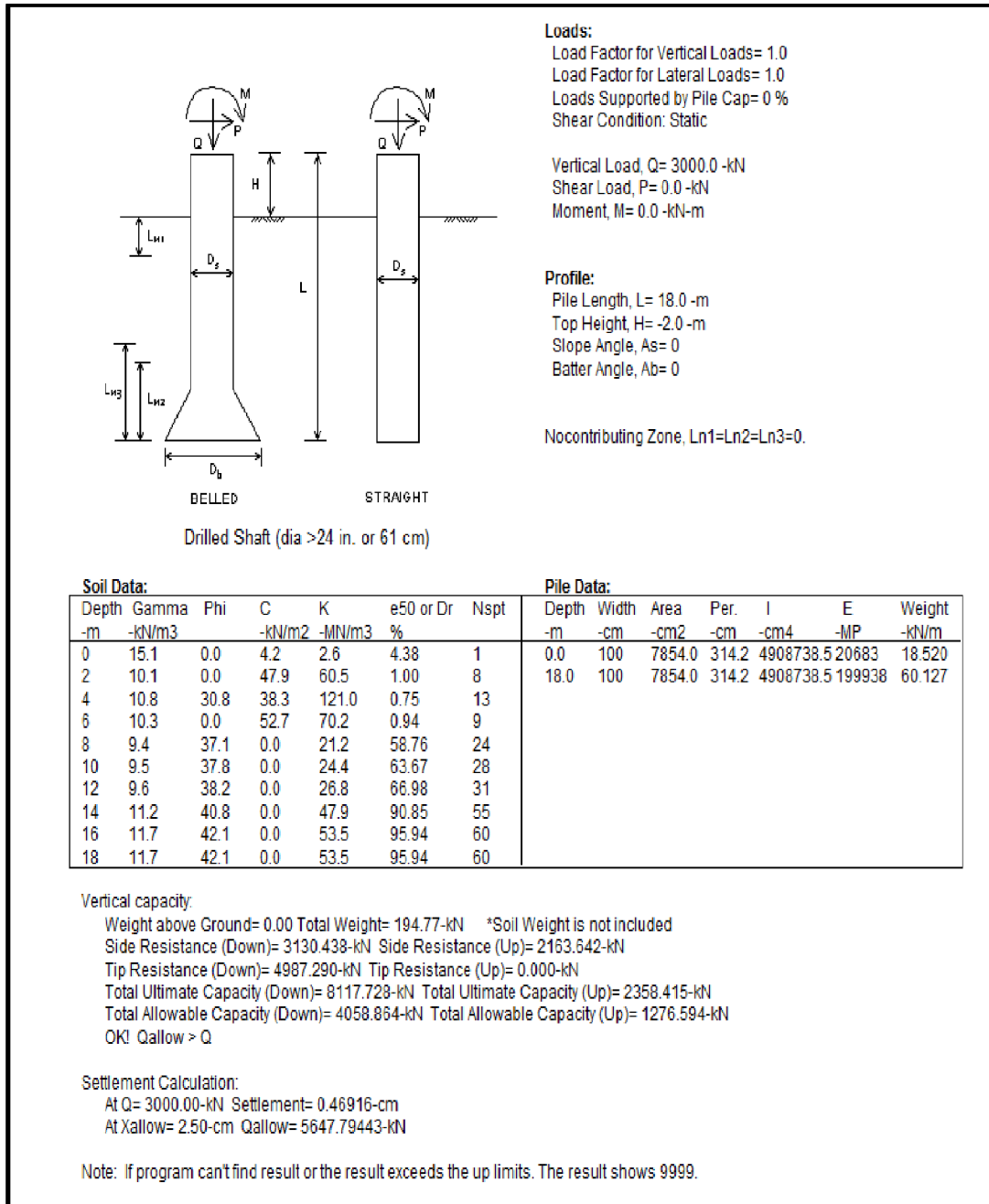
DAFTAR PUSTAKA

- Civiltech (2007) *Allpile Version 7 User's Manual Volume 1 and 2*, USA.
- Bowles, J.E., (1998), *Analisis dan Desain Pondasi*, Jilid 1 Edisi Keempat, Jakarta: Erlangga.
- Das, B.M., (2008), *Principle of Foundation Engineering*, 7nd Edition, PWS - KENT Publishing Company, Boston.
- Das, B.M., (2007), *Bearing Capacity and Settlement*, 2nd Edition, CRC Press, Newyork.
- Das, B.M., (1995), Mekanika Tanah (Prinsip-prinsip Rekayasa Geoteknis), Jilid 1, Jakarta: Erlangga.
- Geotechnical Engineering Bureau*, (2007), State Department Of Transportation, New York.
- Hardiyatmo, H. C. Mekanika Tanah II Edisi ketiga, Yogyakarta: Gadjah Mada University Press.
- O'Neill, W. M. and Reese, C. L. (1999) *Drilled Shafts: Construction Procedures and Design Methods*, FHWA-IF-99-025.
- Randolph, M. F., dan Wroth, C. P. (1978) *Analysis of deformation of vertically loaded piles*. *Journal Geotechnical Engineering Div, ASCE*.
- SNI 4153-2008, Cara uji penetrasi lapangan dengan SPT.
- Soedarmo, G. D. dan Purnomo. (1993), *Mekanika Tanah 1*. Malang: Kanisius.
- Sosrodarsono, S., dan Nakazawa. (2000), *Mekanika Tanah dan Teknik Pondasi*. Jakarta: PT Pradnya Paramita.
- Tomlinson., dan Woodward, J. (1977), *Pile Design and Construction Practice*, 5th Edition, London dan Newyork: Taylor & Francis.

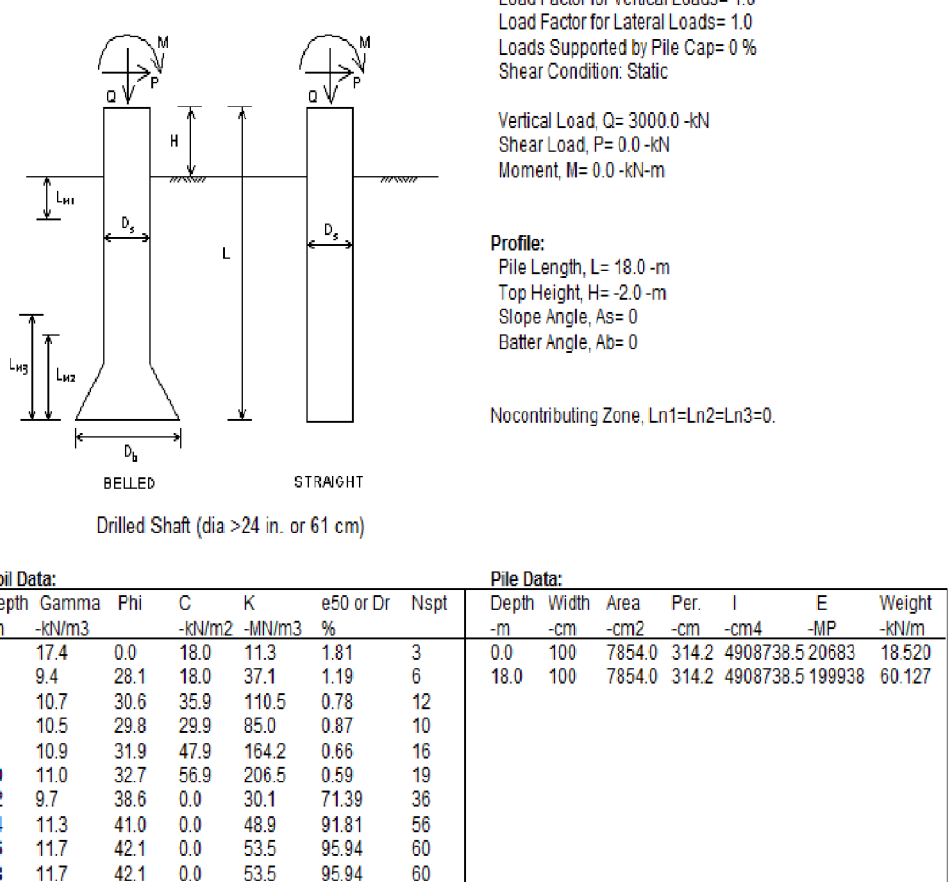
LAMPIRAN



Gambar L.1: Output Allpile vertikal analisis pada BH1.



Gambar L.2: Output Allpile vertikal analisis pada BH2.



Vertical capacity:

Weight above Ground= 0.00 Total Weight= 194.77-kN *Soil Weight is not included

Side Resistance (Down)= 3710.885-kN Side Resistance (Up)= 2629.451-kN

Tip Resistance (Down)= 4084.080-kN Tip Resistance (Up)= 0.000-kN

Total Ultimate Capacity (Down)= 7794.965-kN Total Ultimate Capacity (Up)= 2824.224-kN

Total Allowable Capacity (Down)= 3897.403-kN Total Allowable Capacity (Up)= 1509.490-kN

OK! Qallow > Q

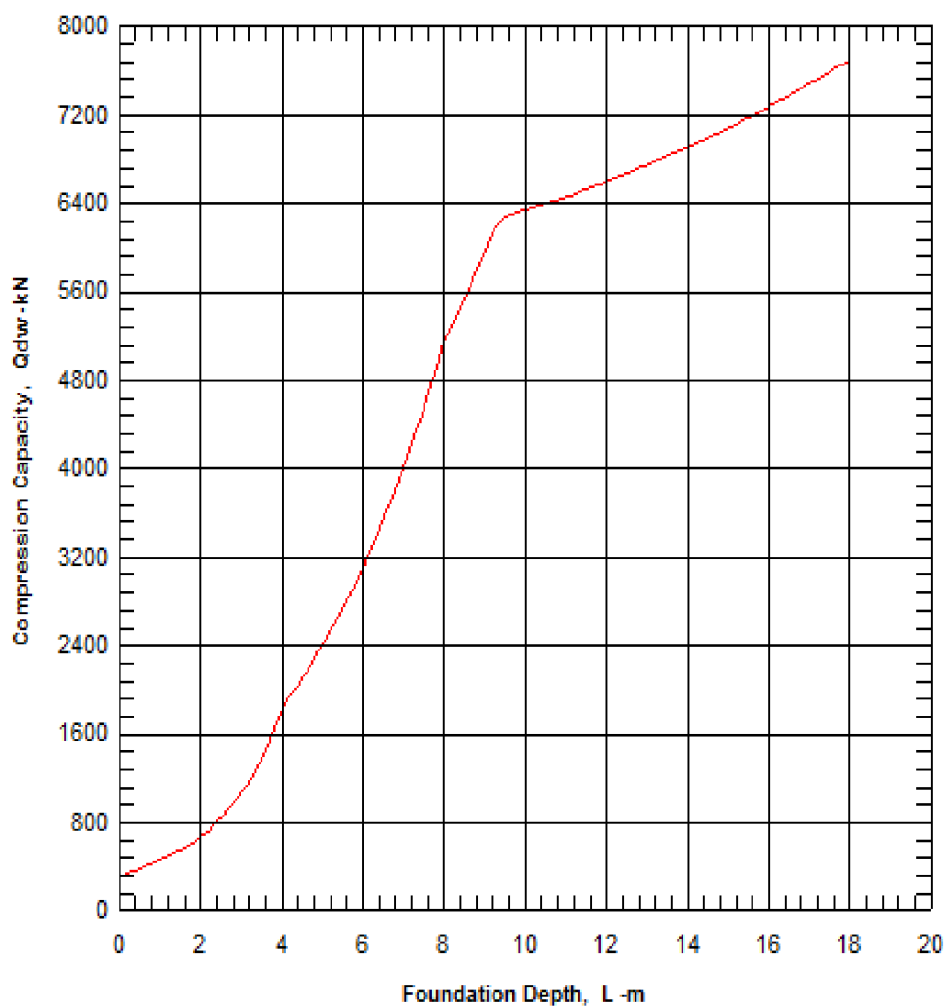
Settlement Calculation:

At $Q=3000.00$ -kN Settlement= 0.34685-cm

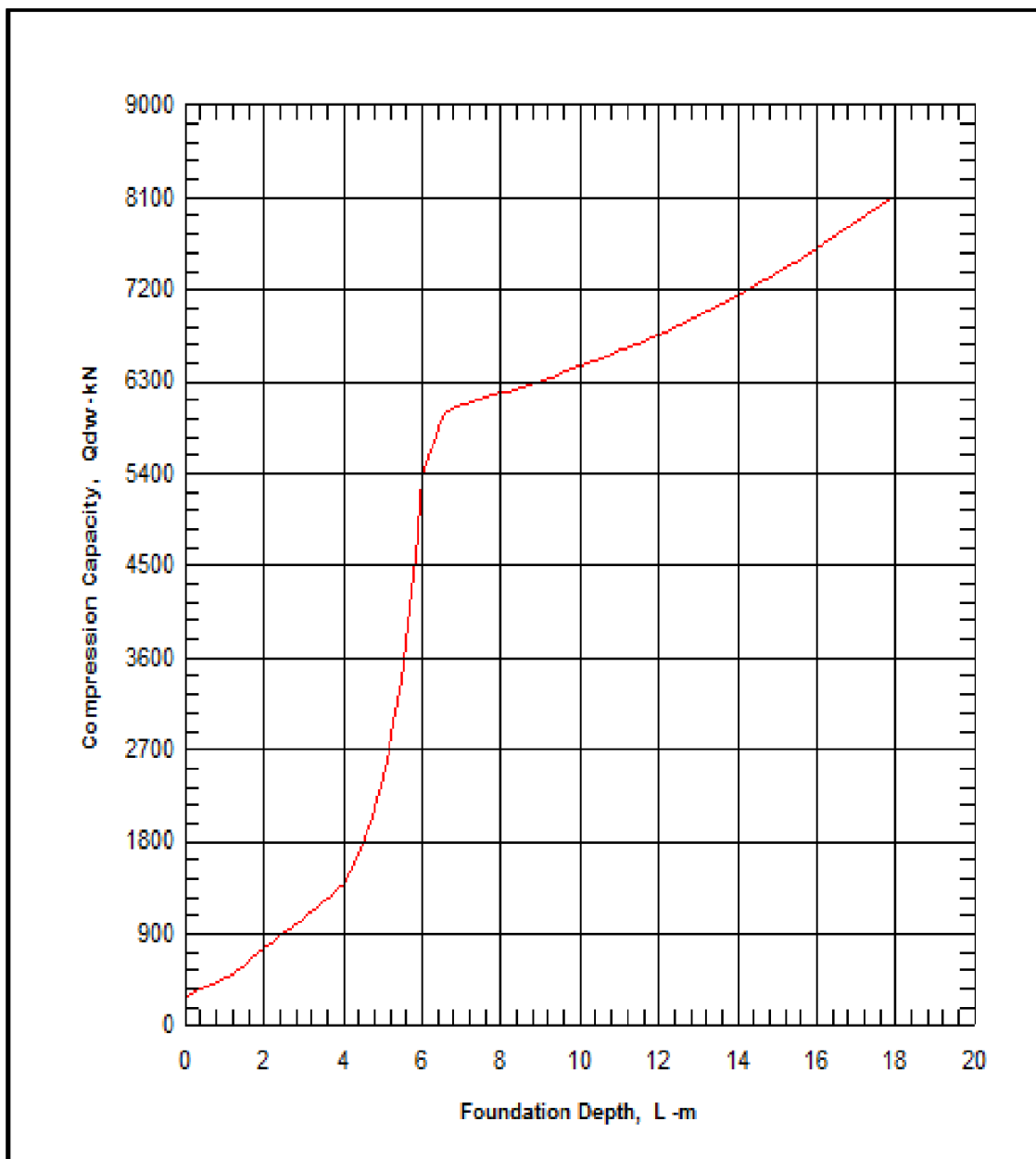
At $Xallow=2.50$ -cm Qallow= 5946.34717-kN

Note: If program can't find result or the result exceeds the up limits. The result shows 9999.

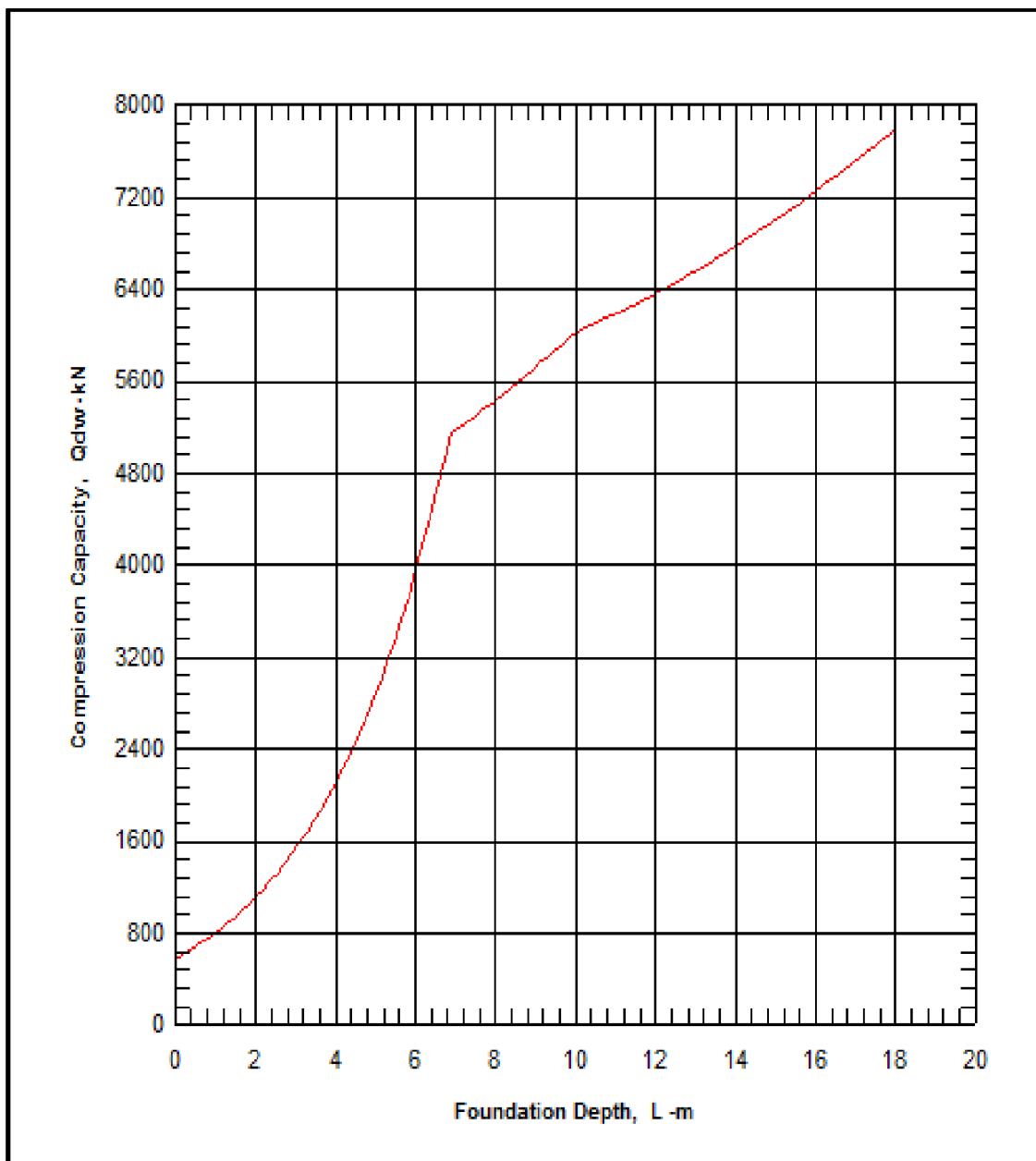
Gambar L.3: Output Allpile vertikal analisis pada BH3.



Gambar L.4: *Output* Allpile grafik daya dukung pada BH1.



Gambar L.5: *Output* Allpile grafik daya dukung pada BH2.



Gambar L.6: *Output* Allpile grafik daya dukung pada BH3.

Pembangunan Jalan Tol Medan - KualaNamu - Tebing Tinggi
SEKSI 6 : Teluk Mengkudu - Sei Rampah.
Desa : Pematang Ganjang.

BORING LOG

HOLE NO.

| PROJECT | | DRILLING METHOD | | BOR MACHINE | | BOR MASTER | |
|---------------------------|-------------------|--|-----------|---------------------|-----------------|----------------------|------------------|
| LOCATION | | INCLINATION | | STARTED : 22.12.15 | | LOGGED BY : Handrian | |
| SITE : ABT 1 STA 75 + 550 | | DEPTH (m) | | FINISHED : 29.12.15 | | CHECKED BY : | |
| COORDINATE X: Y: | | ELEVATION | | SCALE | | APPROVED BY : | |
| DATE | SCALE | DEPTH | ELEVATION | OWN & DATE | GEOLOGICAL UNIT | SAMPLE | UNDISTURBED |
| | | | | | | Undisturbed Sample | Disturbed Sample |
| | | | | | | US | DS |
| 0 | 0 - 90 cm. | tempung warna kecoklatan | | | | | |
| 1 | 80 cm - 110 m | tempung berperler | | | | | |
| 2 | 1,20 m - 3,00 m | tempung lunak warna kuning kehitaman. | | | | | |
| 3 | 3,00 m - 8,50 m | tempung lunak bercampur kayu, warna hitam. | | | | | |
| 4 | | | | | | | |
| 5 | | | | | | | |
| 6 | | | | | | | |
| 7 | | | | | | | |
| 8 | 0,50 m - 11,50 m | pasir halus bercampur kayu warna abu abu. | | | | | |
| 9 | | | | | | | |
| 10 | | | | | | | |
| 11 | | | | | | | |
| 12 | 11,50 m - 30,00 m | | | | | | |
| 13 | | | | | | | |
| 14 | | | | | | | |
| 15 | | | | | | | |
| 16 | | | | | | | |
| 17 | | | | | | | |
| 18 | | | | | | | |
| 19 | | | | | | | |
| 20 | | | | | | | |
| 21 | | | | | | | |
| 22 | | | | | | | |
| 23 | | | | | | | |
| 24 | | | | | | | |
| 25 | | | | | | | |

- RQD is Rock Quality Designation. RQD = (Total length of cylindrical cores than 10cm)/(Total Core length) x 100%
 - Length core recovery are in percent (%) and CM (Centimeter)
 - LUGEN VALUE is l/min/m under injection water pressure of 10 kPa/cm
 - DEPTH and ELEVATION are in meter
 - DIAMETER is in millimeter

Prepared by,

Checked by,

(.....)

{.....}

Gambar L.7: Data standart penetration test (SPT) pada BH-1.

BORING LOG

HOLE NO.

| PROJECT : | | | DRILLING METHOD : | | BOR MACHINE : | | | BOR MASTER : | | | | | | | | | | | | |
|---------------|-------|-------|-------------------|----------|-----------------|--------|-------------|--------------|----------|---------------|---------------|---------|---------|-------|-------|------------------|-------------------|----|----|----|
| LOCATION : | | | INCLINATION : | | STARTED : | | | LOGGED BY : | | | | | | | | | | | | |
| SITE : | | | DEPTH (m) : | | FINISHED : | | | CHECKED BY : | | | | | | | | | | | | |
| COORDINATE X: | | | ELEVATION: | | SCALE: | | | APPROVED BY: | | | | | | | | | | | | |
| DATE | SCALE | DEPTH | ELEVATION | GWA DATE | GEOLOGICAL UNIT | SYMBOL | DESCRIPTION | COLOR | HARDNESS | SHAPE OF CORE | CORE RECOVERY | RQD (%) | N-value | S P T | SCALE | Unsawn Sample US | Oblique Sample DS | | | |
| | | | | | | | | % | CM | 25 | 50 | 70 | 100 | 10 | 20 | 30 | 40 | 50 | 60 | |
| 21 | | | | | | | | | | | | | | | | | | | | 21 |
| 22 | | | | | | | | | | | | | | | | | | | | 22 |
| 23 | | | | | | | | | | | | | | | | | | | | 23 |
| 24 | | | | | | | | | | | | | | | | | | | | 24 |
| 25 | | | | | | | | | | | | | | | | | | | | 25 |
| 26 | | | | | | | | | | | | | | | | | | | | 26 |
| 27 | | | | | | | | | | | | | | | | | | | | 27 |
| 28 | | | | | | | | | | | | | | | | | | | | 28 |
| 29 | | | | | | | | | | | | | | | | | | | | 29 |
| 30 | | | | | | | | | | | | | | | | | | | | 30 |
| 31 | | | | | | | | | | | | | | | | | | | | 31 |
| 32 | | | | | | | | | | | | | | | | | | | | 32 |
| 33 | | | | | | | | | | | | | | | | | | | | 33 |
| 34 | | | | | | | | | | | | | | | | | | | | 34 |
| 35 | | | | | | | | | | | | | | | | | | | | 35 |
| 36 | | | | | | | | | | | | | | | | | | | | 36 |
| 37 | | | | | | | | | | | | | | | | | | | | 37 |
| 38 | | | | | | | | | | | | | | | | | | | | 38 |
| 39 | | | | | | | | | | | | | | | | | | | | 39 |
| 40 | | | | | | | | | | | | | | | | | | | | 40 |

- RQD is Rock Quality Designation. RQD = (Total length of cylindrical cores than 10cm)/(Total Core length) x 100%
- Length core recovery are in percent (%) and CM (Centimeter)
- LUGEN VALUE isl/min/m under injection water pressure of 10 kPa/cm
- DEPTH and ELEVATION are in meter
- DIAMETER is in millimeter

Prepared by,

Checked by,

(.....)

(.....)

Gambar L.8: Data standart penetration test (SPT) pada BH-1.

Pembangunan Jalan 101 Medan - Kuchu Namu . Tenggiring 117991.

Seksi 6 : Teluk Mengkudu. Sei Rampah.

Desa : Pematang Ganjong.

Pengawas 2

BORING LOG

HOLE NO.

| PROJECT : | | | | | DRILLING METHOD : | | | BOR MACHINE : | | | BOR MASTER : | | HOLE NO.: | | | | |
|---------------------------|-------------------|-------|-----------|-----------------|-------------------|---|-------|---------------|---------------|---------|--------------|--------|-----------|----|-------|----|----|
| LOCATION : | | | | | INCLINATION : | | | STARTED : | | | LOGGED BY : | | | | | | |
| SITE : ABT 1 STA : F6+185 | | | | | DEPTH (M) : | | | FINISHED : | | | CHECKED BY : | | | | | | |
| DATE | SCALE | DEPTH | ELEVATION | GEOLOGICAL UNIT | SYMBOL | DESCRIPTION | COLOR | HARDNESS | SHAPE OF CORE | RQD (%) | N-Value | SPT | | | SCALE | | |
| | | % | CM | 25 | 50 | 70 | 100 | | | 10 | 20 | 30 | 40 | 50 | 60 | US | DS |
| 1 | 0 - 400 m | | | | | dempung warna kuning. Kecoklatan. | | | | | | 344 | | | | 1 | |
| 2 | | | | | | | | | | | | 467 | | | | 2 | |
| 3 | | | | | | | | | | | | 345 | | | | 3 | |
| 4 | 4,00m - 8,10 m | | | | | dempung lunak warna cream. | | | | | | 8104 | | | | 4 | |
| 5 | | | | | | | | | | | | 101216 | | | | 5 | X |
| 6 | | | | | | | | | | | | 91318 | | | | 6 | |
| 7 | | | | | | | | | | | | 143031 | | | | 7 | |
| 8 | | | | | | | | | | | | 173542 | | | | 8 | |
| 9 | 8,00m - 10,00 m | | | | | pasir halus, warna hitam. keabu-abuan | | | | | | > 60 | | | | 9 | |
| 10 | | | | | | | | | | | | | | | | 10 | |
| 11 | | | | | | | | | | | | | | | | 11 | |
| 12 | | | | | | | | | | | | | | | | 12 | |
| 13 | | | | | | | | | | | | | | | | 13 | |
| 14 | | | | | | | | | | | | | | | | 14 | |
| 15 | | | | | | | | | | | | | | | | 15 | |
| 16 | | | | | | | | | | | | | | | | 16 | |
| 17 | | | | | | | | | | | | | | | | 17 | |
| 18 | | | | | | | | | | | | | | | | 18 | |
| 19 | 10,00 m - 30,00m. | | | | | | | | | | | | | | | 19 | |
| 20 | | | | | | | | | | | | | | | | 20 | |

* RQD is Rock Quality Designation. RQD = (Total length of cylindrical cores than 10cm)/(Total Core length) x 100%

* Length core recovery are in percent (%) and CM (Centimeter)

* LUGEON VALUE isl/min/m under injection water pressure of 10 kPa/cm

* DEPTH and ELEVATION are in meter

* DIAMETER is in millimeter

Prepared by,

Checked by,

(.....)

(.....)

Gambar L.9: Data standart penetration test (SPT) pada BH-2.

BORING LOG

| PROJECT : | | | | DRILLING METHOD : | | BOR MACHINE : | | BOR MASTER : | | HOLE NO. | | | | | | | | | | | | | | | | | |
|---------------|-------|-------|-----------|-------------------|--------|---|-------|---------------|---------------|---------------|----|---------|---------|-----|-----|-----|----|----|----|-------|--------------------|------------------|----|----|--|--|--|
| LOCATION : | | | | INCLINATION : | | STARTED : | | LOGGED BY : | | | | | | | | | | | | | | | | | | | |
| SITE : | | | | DEPTH (M) : | | FINISHED : | | CHECKED BY : | | | | | | | | | | | | | | | | | | | |
| COORDINATE X: | | Y: | | ELEVATION : | | SCALE : | | APPROVED BY : | | | | | | | | | | | | | | | | | | | |
| DATE | SCALE | DEPTH | ELEVATION | GEOLOGICAL UNIT | SYMBOL | DESCRIPTION | COLOR | HARDNESS | SHAPE OF CORE | CORE RECOVERY | | RQD (%) | N-value | SPT | | | | | | SCALE | Undisturbed Sample | Disturbed Sample | US | DS | | | |
| 21 | | | | | | part bercampur batu yang . warna abu abu. | | | | % | CM | 25 | 50 | 70 | 100 | 10 | 20 | 30 | 40 | 60 | 60 | 21 | | | | | |
| 22 | | | | | | | | | | | | | | | | >60 | | | | | | | 22 | | | | |
| 23 | | | | | | | | | | | | | | | | >60 | | | | | | | 23 | | | | |
| 24 | | | | | | | | | | | | | | | | >60 | | | | | | | 24 | | | | |
| 25 | | | | | | | | | | | | | | | | >60 | | | | | | | 25 | | | | |
| 26 | | | | | | | | | | | | | | | | >60 | | | | | | | 26 | | | | |
| 27 | | | | | | | | | | | | | | | | >60 | | | | | | | 27 | | | | |
| 28 | | | | | | | | | | | | | | | | >60 | | | | | | | 28 | | | | |
| 29 | | | | | | | | | | | | | | | | >60 | | | | | | | 29 | | | | |
| 30 | | | | | | | | | | | | | | | | >60 | | | | | | | 30 | | | | |
| 31 | | | | | | | | | | | | | | | | | | | | | | | 31 | | | | |
| 32 | | | | | | | | | | | | | | | | | | | | | | | 32 | | | | |
| 33 | | | | | | | | | | | | | | | | | | | | | | | 33 | | | | |
| 34 | | | | | | | | | | | | | | | | | | | | | | | 34 | | | | |
| 35 | | | | | | | | | | | | | | | | | | | | | | | 35 | | | | |
| 36 | | | | | | | | | | | | | | | | | | | | | | | 36 | | | | |
| 37 | | | | | | | | | | | | | | | | | | | | | | | 37 | | | | |
| 38 | | | | | | | | | | | | | | | | | | | | | | | 38 | | | | |
| 39 | | | | | | | | | | | | | | | | | | | | | | | 39 | | | | |
| 40 | | | | | | | | | | | | | | | | | | | | | | | 40 | | | | |

- RQD is Rock Quality Designation. RQD = (Total length of cylindrical cores than 10cm)/(Total Core length) x 100%
- Length core recovery are in percent (%) and CM (Centimeter)
- LUGEON VALUE isl/min/m under injection water pressure of 10 ka/cm
- DEPTH and ELEVATION are in meter
- DIAMETER is in millimeter

Prepared by,

Checked by,

{.....}

{.....}

Gambar L.10: Data standart penetration test (SPT) pada BH-2.

Pembangunan Jalan Raya Medan - Kota Namu - Tebing Tinggi

rekisi 6 : Teluk Mengkudu - per Rampaah.

Dera lokasi : Pematang Gajang.
Persawahan R

BORING LOG

HOLE NO.

| PROJECT | LOCATION | SITE | COORDINATE X: | Y: | ELEVATION | DRILLING METHOD | INCLINATION | DEPTH (M) | BOR MACHINE | BOR MASTER | HOLE NO. : Hardian | | | | | | | | | | | | | | | | | | |
|---------|----------|-----------------|---------------|--------|---|-----------------|-------------|---------------|---------------|------------|--------------------|------------|-----------------|--------|-------|-----------|----------|------------|-------------|---------|-----|----|----|----|----|--------------------|------------------|----|--|
| | | | | | | | | | | | DEPTHL DATE | GWL & DATE | GEOLOGICAL UNIT | SAMPLE | SCALE | LOGGED BY | FINISHED | CHECKED BY | APPROVED BY | N-value | SPT | | | | | | SCALE | | |
| DATE | SCALE | DEPTH | ELEVATION | SAMPLE | DESCRIPTION | COLOR | HARDNESS | SHAPE OF CORE | CORE RECOVERY | RQD (%) | % | CM | 25 | 50 | 70 | 100 | N-value | 10 | 20 | 30 | 40 | 50 | 60 | US | DS | Undisturbed Sample | Disturbed Sample | | |
| | | | | | | | | | | | | | | | | | | | | | | | | | | | | | |
| 1 | | 0-40 cm | | | Top soil pasir ketempungan warna putih ketuningan. | | | | | | | | | | | | | | | | | | | | | | 1 | | |
| 2 | | | | | | | | | | | | | | | | | | | | | | | | | | | | 2 | |
| 3 | | | | | | | | | | | | | | | | | | | | | | | | | | | | 3 | |
| 4 | | 40cm - 370m | | | dempung agak keras warna kuning | | | | | | | | | | | | | | | | | | | | | | 4 | | |
| 5 | | 370cm - 4,78m | | | | | | | | | | | | | | | | | | | | | | | | | | 5 | |
| 6 | | 4,78m - 10,00m | | | dempung lunak bercampur kayu warna hitam | | | | | | | | | | | | | | | | | | | | | | 6 | | |
| 7 | | | | | | | | | | | | | | | | | | | | | | | | | | | | 7 | |
| 8 | | | | | | | | | | | | | | | | | | | | | | | | | | | | 8 | |
| 9 | | | | | | | | | | | | | | | | | | | | | | | | | | | | 9 | |
| 10 | | 10,00m - 12,00m | | | pasir berlumpung warna hitam | | | | | | | | | | | | | | | | | | | | | | 10 | | |
| 11 | | | | | | | | | | | | | | | | | | | | | | | | | | | | 11 | |
| 12 | | 12,00m - 20,00m | | | pasir halus bercampur batu pasir warna abu-abu | | | | | | | | | | | | | | | | | | | | | 12 | | | |
| 13 | | | | | | | | | | | | | | | | | | | | | | | | | | | | 13 | |
| 14 | | | | | | | | | | | | | | | | | | | | | | | | | | | | 14 | |
| 15 | | | | | | | | | | | | | | | | | | | | | | | | | | | | 15 | |
| 16 | | | | | | | | | | | | | | | | | | | | | | | | | | | | 16 | |
| 17 | | | | | | | | | | | | | | | | | | | | | | | | | | | | 17 | |
| 18 | | | | | | | | | | | | | | | | | | | | | | | | | | | | 18 | |
| 19 | | | | | | | | | | | | | | | | | | | | | | | | | | | | 19 | |
| 20 | | | | | | | | | | | | | | | | | | | | | | | | | | | | 20 | |

- RQD is Rock Quality Designation. RQD = (Total length of cylindrical cores than 10cm)/(Total Core length) x 100%
- Length core recovery are in percent (%) and CM (Centimeter)
- LUGEN VALUE is l/min/m under injection water pressure of 10 kalm
- DEPTH and ELEVATION are in meter
- DIAMETER is in millimeter

Prepared by,

Checked by,

(.....)

(.....)

Gambar L.11: Data standart penetration test (SPT) pada BH-3.

BORING LOG

HOLE NO.

| PROJECT : | | | | DRILLING METHOD : | | | BOR MACHINE : | | | BOR MASTER : | | |
|---------------|----|----|------|-------------------|-----------|------------|---------------|-------|----------|---------------|---------|---------|
| LOCATION : | | | | INCLINATION : | | | STARTED : | | | LOGGED BY : | | |
| SITE : | | | | DEPTH (M) : | | | FINISHED : | | | CHECKED BY : | | |
| COORDINATE X: | Y: | Z: | DATE | DEPTH | ELEVATION | GWT & DATE | DESCRIPTION | COLOR | HARDNESS | SHAPE OF CORE | RQD (%) | N-Value |
| | | | | % | CM | | | 25 | 50 | 75 | 100 | |
| | | | | | | | | | | | | S P T |
| | | | | | | | | 10 | 20 | 30 | 40 | 60 |
| | | | | | | | | | | | | 60 |
| 21 | | | | | | | | | | | | |
| 22 | | | | | | | | | | | | |
| 23 | | | | | | | | | | | | |
| 24 | | | | | | | | | | | | |
| 25 | | | | | | | | | | | | |
| 26 | | | | | | | | | | | | |
| 27 | | | | | | | | | | | | |
| 28 | | | | | | | | | | | | |
| 29 | | | | | | | | | | | | |
| 30 | | | | | | | | | | | | |
| 31 | | | | | | | | | | | | |
| 32 | | | | | | | | | | | | |
| 33 | | | | | | | | | | | | |
| 34 | | | | | | | | | | | | |
| 35 | | | | | | | | | | | | |
| 36 | | | | | | | | | | | | |
| 37 | | | | | | | | | | | | |
| 38 | | | | | | | | | | | | |
| 39 | | | | | | | | | | | | |
| 40 | | | | | | | | | | | | |

- RQD is Rock Quality Designation. RQD = (Total length of cylindrical cores than 10cm)/(Total Core length) x 100%
- Length core recovery are in percent (%) and CM (Centimeter)
- LUGENON VALUE is/cm/min/m under injection water pressure of 10 kg/cm²
- DEPTH and ELEVATION are in meter
- DIAMETER is in millimeter

Prepared by,

Checked by,

(.....)

(.....)

Gambar L.12: Data standart penetration test (SPT) pada BH-3.

Tabel L.1: Kapasitas daya dukung tiang bor menggunakan metode Reese and O'neill pada BH-1.

| No | z (m) | Δ (m) | Nspt | γ (kN/m ³) | $\sigma_{\text{effective}}$ (kN/m ²) | Clay,cu (kPa) | α | β | Friction (kPa) | Qsi | $\sum Q_s$ | Nc* | Clay | $\sum Q_b$ | Sand $\sum Q_b$ | $\sum Q_b$ | $\sum Q_s + \sum Q_b$ | Qall | Qall |
|----|-------|--------------|------|----------------------------------|---|------------------|----------|---------|----------------|---------|------------|----------|------|------------|--------------------|------------|-----------------------|----------|---------|
| | | | | | | | | | | | | | | | | | | kN | Ton |
| 1 | 0 | | | | | | | | | 0 | | | | | | | | 0 | 0.00 |
| 2 | 2 | 2 | 7 | clay | 19 | 38 | 44.893 | 0.55 | - | 24.691 | 155.059 | 155.059 | 8.00 | 281.928 | - | 281.928 | 436.987 | 218.494 | 21.849 |
| 3 | 4 | 2 | 11 | clay | 20 | 78 | 71.957 | 0.55 | - | 39.576 | 248.537 | 403.596 | 9.00 | 508.376 | - | 508.376 | 911.972 | 455.986 | 45.599 |
| 4 | 6 | 2 | 15 | clay | 20 | 118 | 99.021 | 0.55 | - | 54.462 | 342.021 | 745.617 | 9.00 | 699.583 | - | 699.583 | 1445.200 | 722.600 | 72.260 |
| 5 | 8 | 2 | 18 | clay | 20 | 158 | 119.319 | 0.55 | - | 65.625 | 412.125 | 1157.742 | 9.00 | 842.989 | - | 842.989 | 2000.731 | 1000.366 | 100.037 |
| 6 | 10 | 2 | 21 | sand | 12 | 182 | - | - | 0.728 | 132.496 | 832.075 | 1989.817 | - | - | 947.888 | 947.888 | 2937.705 | 1468.853 | 146.885 |
| 7 | 12 | 2 | 25 | sand | 12 | 206 | - | - | 0.655 | 134.930 | 847.360 | 2837.177 | - | - | 1128.438 | 1128.438 | 3965.615 | 1982.808 | 198.281 |
| 8 | 14 | 2 | 29 | sand | 12 | 230 | - | - | 0.587 | 135.010 | 847.863 | 3685.040 | - | - | 1308.988 | 1308.988 | 4994.028 | 2497.014 | 249.701 |
| 9 | 16 | 2 | 37 | sand | 13 | 256 | - | - | 0.524 | 134.144 | 842.424 | 4527.464 | - | - | 1670.088 | 1670.088 | 6197.552 | 3098.776 | 309.878 |
| 10 | 18 | 2 | 53 | sand | 13 | 282 | - | - | 0.465 | 131.130 | 823.496 | 5350.960 | - | - | 2392.288 | 2392.288 | 7743.248 | 3871.624 | 387.162 |
| 11 | 20 | 2 | 60 | sand | 13 | 308 | - | - | 0.409 | 125.972 | 791.104 | 6142.064 | - | - | 2708.250 | 2708.250 | 8850.314 | 4425.157 | 442.516 |
| 12 | 22 | 2 | 60 | sand | 13 | 334 | - | - | 0.356 | 118.904 | 746.717 | 6888.781 | - | - | 2708.250 | 2708.250 | 9597.031 | 4798.516 | 479.852 |
| 13 | 24 | 2 | 60 | sand | 13 | 360 | - | - | 0.305 | 109.800 | 689.544 | 7578.325 | - | - | 2708.250 | 2708.250 | 10286.575 | 5143.288 | 514.329 |
| 14 | 26 | 2 | 60 | sand | 13 | 386 | - | - | 0.256 | 98.816 | 620.564 | 8198.889 | - | - | 2708.250 | 2708.250 | 10907.139 | 5453.570 | 545.357 |
| 15 | 28 | 2 | 60 | sand | 13 | 412 | - | - | 0.250 | 103.000 | 646.840 | 8845.729 | - | - | 2708.250 | 2708.250 | 11553.979 | 5776.990 | 577.699 |
| 16 | 30 | 2 | 60 | sand | 13 | 438 | - | - | 0.250 | 109.500 | 687.660 | 9533.389 | - | - | 2708.250 | 2708.250 | 12241.639 | 6120.820 | 612.082 |

Tabel L.2: Kapasitas daya dukung tiang bor menggunakan metode Reese and O'neill pada BH-2.

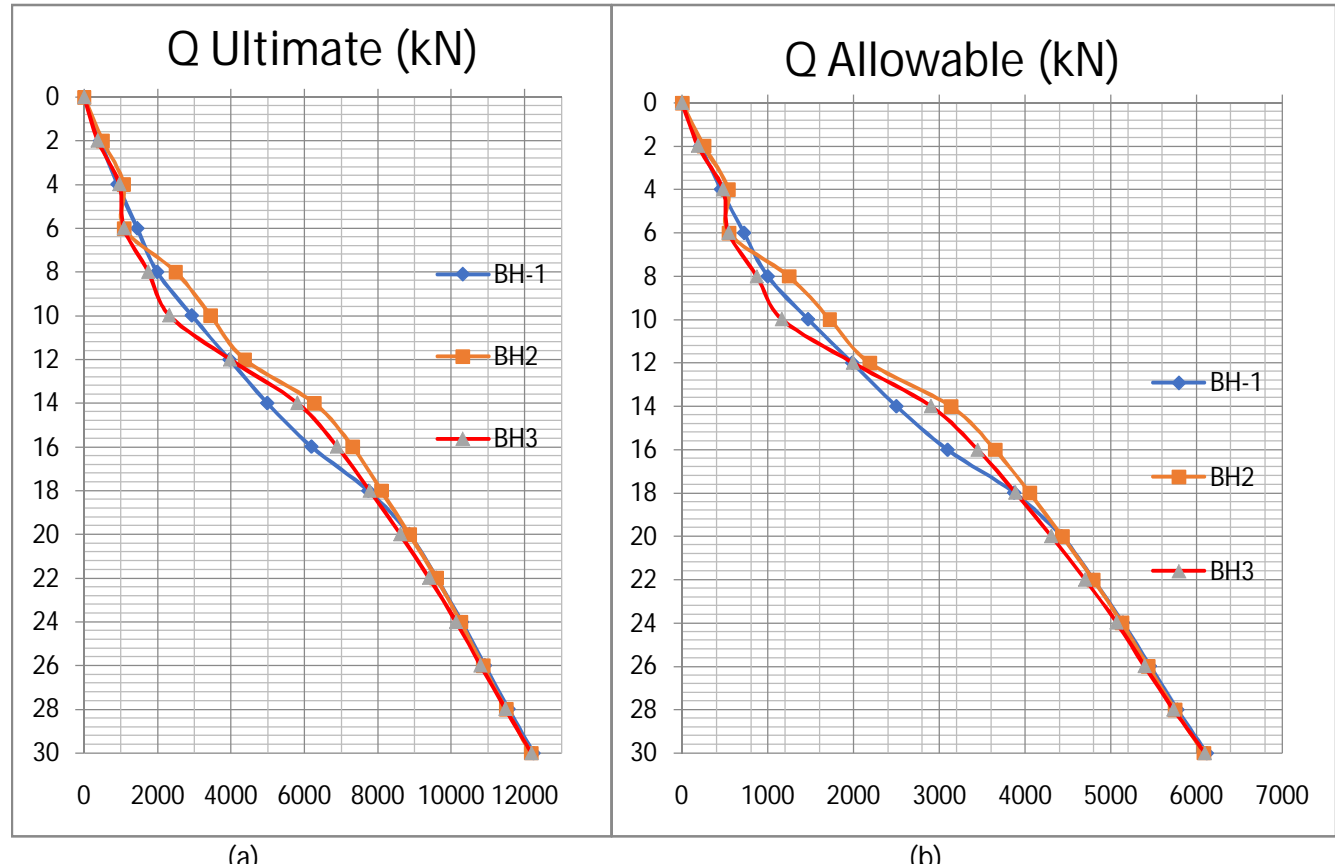
| No | z (m) | Δ (m) | Nspt | | γ (kN/m ³) | $\sigma_{\text{effective}}$ (kN/m ²) | Clay,cu (kPa) | α | β | Friction (kPa) | Qsi | ΣQ_s | N_c^* | Clay $\sum Q_b$ | Sand $\sum Q_b$ | ΣQ_b | $\Sigma Q_s + \Sigma Q_b$ | Qall | Qall |
|----|-------|--------------|------|------|-------------------------------|--|---------------|----------|---------|----------------|---------|--------------|---------|-----------------|-----------------|--------------|---------------------------|----------|---------|
| 1 | 0 | | | | | | | | | 0 | | | | | | | | kN | Ton |
| 2 | 2 | 2 | 8 | Clay | 20 | 40 | 51.659 | 0.55 | - | 28.412 | 178.427 | 178.427 | 8.00 | 324.419 | - | 324.419 | 502.846 | 251.423 | 25.142 |
| 3 | 4 | 2 | 13 | Clay | 20 | 80 | 85.489 | 0.55 | - | 47.019 | 295.279 | 473.706 | 9.00 | 603.980 | - | 603.980 | 1077.686 | 538.843 | 53.884 |
| 4 | 6 | 2 | 9 | Clay | 20 | 120 | 58.425 | 0.55 | - | 32.134 | 201.802 | 675.508 | 9.00 | 412.773 | - | 412.773 | 1088.281 | 544.141 | 54.414 |
| 5 | 8 | 2 | 24 | sand | 12 | 144 | - | - | 0.810 | 116.640 | 732.499 | 1408.007 | - | - | 1083.300 | 1083.300 | 2491.307 | 1245.654 | 124.565 |
| 6 | 10 | 2 | 28 | sand | 12 | 168 | - | - | 0.728 | 122.304 | 768.069 | 2176.076 | - | - | 1263.850 | 1263.850 | 3439.926 | 1719.963 | 171.996 |
| 7 | 12 | 2 | 31 | sand | 13 | 194 | - | - | 0.655 | 127.070 | 798.000 | 2974.076 | - | - | 1399.263 | 1399.263 | 4373.339 | 2186.670 | 218.667 |
| 8 | 14 | 2 | 55 | sand | 13 | 220 | - | - | 0.587 | 129.140 | 810.999 | 3785.075 | - | - | 2482.563 | 2482.563 | 6267.638 | 3133.819 | 313.382 |
| 9 | 16 | 2 | 60 | sand | 13 | 246 | - | - | 0.524 | 128.904 | 809.517 | 4594.592 | - | - | 2708.250 | 2708.250 | 7302.842 | 3651.421 | 365.142 |
| 10 | 18 | 2 | 60 | sand | 13 | 272 | - | - | 0.465 | 126.480 | 794.294 | 5388.886 | - | - | 2708.250 | 2708.250 | 8097.136 | 4048.568 | 404.857 |
| 11 | 20 | 2 | 60 | sand | 13 | 298 | - | - | 0.409 | 121.882 | 765.419 | 6154.305 | - | - | 2708.250 | 2708.250 | 8862.555 | 4431.278 | 443.128 |
| 12 | 22 | 2 | 60 | sand | 13 | 324 | - | - | 0.356 | 115.344 | 724.360 | 6878.665 | - | - | 2708.250 | 2708.250 | 9586.915 | 4793.458 | 479.346 |
| 13 | 24 | 2 | 60 | sand | 13 | 350 | - | - | 0.305 | 106.750 | 670.390 | 7549.055 | - | - | 2708.250 | 2708.250 | 10257.305 | 5128.653 | 512.865 |
| 14 | 26 | 2 | 60 | sand | 13 | 376 | - | - | 0.256 | 96.256 | 604.488 | 8153.543 | - | - | 2708.250 | 2708.250 | 10861.793 | 5430.897 | 543.090 |
| 15 | 28 | 2 | 60 | sand | 13 | 402 | - | - | 0.250 | 100.500 | 631.140 | 8784.683 | - | - | 2708.250 | 2708.250 | 11492.933 | 5746.467 | 574.647 |
| 16 | 30 | 2 | 60 | sand | 13 | 428 | - | - | 0.250 | 107.000 | 671.960 | 9456.643 | - | - | 2708.250 | 2708.250 | 12164.893 | 6082.447 | 608.245 |

Tabel L.3: Kapasitas daya dukung tiang bor menggunakan metode Reese and O'neill pada BH-3.

| No | z (m) | Δ (m) | Nspt | Clay or Sand? | γ (kN/m ³) | $\sigma_{\text{effective}}$ (kN/m ²) | Clay,cu (kPa) | α | β | Friction (kPa) | Qsi | ΣQ_s | N_c^* | Clay $\sum Q_b$ | Sand $\sum Q_b$ | ΣQ_b | $\Sigma Q_s + \Sigma Q_b$ | Qall | Qall |
|----|-------|--------------|------|---------------|-------------------------------|--|---------------|----------|---------|----------------|---------|--------------|---------|-----------------|-----------------|--------------|---------------------------|---------|--------|
| | | | | | | | | | | | | | | | | | kN | Ton | |
| 1 | 0 | | | | | | | | | 0 | | | | | | | 0 | 0.00 | |
| 2 | 2 | 2 | 6 | clay | 19 | 38 | 38.127 | 0.55 | - | 20.970 | 131.692 | 131.69 | 8.00 | 239.438 | - | 239.44 | 371.13 | 185.57 | 18.56 |
| 3 | 4 | 2 | 12 | clay | 20 | 78 | 78.723 | 0.55 | - | 43.298 | 271.911 | 403.60 | 9.00 | 556.178 | - | 556.18 | 959.78 | 479.89 | 47.99 |
| 4 | 6 | 2 | 10 | clay | 20 | 118 | 65.191 | 0.55 | - | 35.855 | 225.169 | 628.77 | 9.00 | 460.574 | - | 460.57 | 1089.35 | 544.67 | 54.47 |
| 5 | 8 | 2 | 16 | clay | 20 | 158 | 105.787 | 0.55 | - | 58.183 | 365.389 | 994.16 | 9.00 | 747.385 | - | 747.39 | 1741.55 | 870.77 | 87.08 |
| 6 | 10 | 2 | 19 | clay | 20 | 198 | 126.085 | 0.55 | - | 69.347 | 435.499 | 1429.66 | 9.00 | 890.791 | - | 890.79 | 2320.45 | 1160.23 | 116.02 |
| 7 | 12 | 2 | 36 | sand | 13 | 224 | - | - | 0.655 | 146.720 | 921.402 | 2351.06 | - | - | 1624.950 | 1624.95 | 3976.01 | 1988.01 | 198.80 |
| 8 | 14 | 2 | 56 | sand | 13 | 250 | - | - | 0.587 | 146.750 | 921.590 | 3272.65 | - | - | 2527.700 | 2527.70 | 5800.35 | 2900.18 | 290.02 |
| 9 | 16 | 2 | 60 | sand | 13 | 276 | - | - | 0.524 | 144.624 | 908.239 | 4180.89 | - | - | 2708.250 | 2708.25 | 6889.14 | 3444.57 | 344.46 |
| 10 | 18 | 2 | 60 | sand | 13 | 302 | - | - | 0.465 | 140.430 | 881.900 | 5062.79 | - | - | 2708.250 | 2708.25 | 7771.04 | 3885.52 | 388.55 |
| 11 | 20 | 2 | 60 | sand | 13 | 328 | - | - | 0.409 | 134.152 | 842.475 | 5905.27 | - | - | 2708.250 | 2708.25 | 8613.52 | 4306.76 | 430.68 |
| 12 | 22 | 2 | 60 | sand | 13 | 354 | - | - | 0.356 | 126.024 | 791.431 | 6696.70 | - | - | 2708.250 | 2708.25 | 9404.95 | 4702.47 | 470.25 |
| 13 | 24 | 2 | 60 | sand | 13 | 380 | - | - | 0.305 | 115.900 | 727.852 | 7424.55 | - | - | 2708.250 | 2708.25 | 10132.80 | 5066.40 | 506.64 |
| 14 | 26 | 2 | 60 | sand | 13 | 406 | - | - | 0.256 | 103.936 | 652.718 | 8077.27 | - | - | 2708.250 | 2708.25 | 10785.52 | 5392.76 | 539.28 |
| 15 | 28 | 2 | 60 | sand | 13 | 432 | - | - | 0.250 | 108.000 | 678.240 | 8755.51 | - | - | 2708.250 | 2708.25 | 11463.76 | 5731.88 | 573.19 |
| 16 | 30 | 2 | 60 | sand | 13 | 458 | - | - | 0.250 | 114.500 | 719.060 | 9474.57 | - | - | 2708.250 | 2708.25 | 12182.82 | 6091.41 | 609.14 |

Tabel L.4: Perbandingan daya dukung ketiga titik tinjau.

| Kedalaman (m) | Q Ult BH1 (kN) | Q Ult BH2 (kN) | Q Ult BH3 (kN) | Q all BH1 (kN) | Q all BH 2 (kN) | Q all BH3 (kN) |
|---------------|----------------|----------------|----------------|----------------|-----------------|----------------|
| 0 | 0 | 0 | 0 | 0 | 0 | 0 |
| 2 | 436.99 | 502.85 | 371.130 | 218.494 | 251.423 | 185.565 |
| 4 | 911.97 | 1077.69 | 959.781 | 455.986 | 538.843 | 479.891 |
| 6 | 1445.20 | 1088.28 | 1089.346 | 722.600 | 544.141 | 544.673 |
| 8 | 2000.73 | 2491.31 | 1741.546 | 1000.366 | 1245.654 | 870.773 |
| 10 | 2937.71 | 3439.93 | 2320.451 | 1468.853 | 1719.963 | 1160.226 |
| 12 | 3965.62 | 4373.34 | 3976.012 | 1982.808 | 2186.670 | 1988.006 |
| 14 | 4994.03 | 6267.64 | 5800.352 | 2497.014 | 3133.819 | 2900.176 |
| 16 | 6197.55 | 7302.84 | 6889.141 | 3098.776 | 3651.421 | 3444.571 |
| 18 | 7743.25 | 8097.14 | 7771.041 | 3871.624 | 4048.568 | 3885.521 |
| 20 | 8850.31 | 8862.56 | 8613.516 | 4425.157 | 4431.278 | 4306.758 |
| 22 | 9597.03 | 9586.92 | 9404.947 | 4798.516 | 4793.458 | 4702.474 |
| 24 | 10286.58 | 10257.31 | 10132.799 | 5143.288 | 5128.653 | 5066.400 |
| 26 | 10907.14 | 10861.79 | 10785.517 | 5453.570 | 5430.897 | 5392.759 |
| 28 | 11553.98 | 11492.93 | 11463.757 | 5776.990 | 5746.467 | 5731.879 |
| 30 | 12241.64 | 12164.89 | 12182.817 | 6120.820 | 6082.447 | 6091.409 |



Gambar L.13: Grafik daya dukung: (a) daya dukung ultimit, (b) daya dukung ijin.

Tabel L.5: Kapasitas daya dukung tiang bor menggunakan metode Vesic dengan korelasi parameter tanah Briaud pada BH-1.

| No | z (m) | Δ (m) | Nspt | | γ (kN/m ³) | $\sigma_{\text{effective}}$ (kN/m ²) | Clay,cu (kPa) | α | β | Friction (kPa) | Qsi | $\sum Q_s$ | Irr | N_c^* | Clay $\sum Q_b$ | Sand $\sum Q_b$ | $\sum Q_b$ | $\sum Q_s + \sum Q_b$ | Qall | Qall |
|----|-------|--------------|------|------|-------------------------------|--|---------------|----------|---------|----------------|---------|------------|--------|---------|-----------------|-----------------|------------|-----------------------|----------|---------|
| | | | | | | | | | | | | | | | | | | | kN | Ton |
| 1 | 0 | | | | | | | | | | 0 | | | | | | | | 0 | 0.00 |
| 2 | 2 | 2 | 7 | clay | 19 | 38 | 44.893 | 0.37 | - | 16.610 | 104.311 | 104.311 | 122.78 | 10.46 | 368.621 | - | 368.621 | 472.932 | 236.466 | 23.647 |
| 3 | 4 | 2 | 11 | clay | 20 | 78 | 71.957 | 0.41 | - | 29.502 | 185.273 | 289.584 | 216.69 | 10.93 | 617.395 | - | 617.395 | 906.979 | 453.490 | 45.349 |
| 4 | 6 | 2 | 15 | clay | 20 | 118 | 99.021 | 0.43 | - | 42.579 | 267.396 | 556.980 | 310.60 | 11.40 | 886.139 | - | 886.139 | 1443.119 | 721.560 | 72.156 |
| 5 | 8 | 2 | 18 | clay | 20 | 158 | 119.319 | 0.45 | - | 53.694 | 337.198 | 894.178 | 381.04 | 11.75 | 1100.569 | - | 1100.569 | 1994.747 | 997.374 | 99.737 |
| 6 | 10 | 2 | 21 | sand | 12 | 182 | - | - | 0.728 | 132.496 | 340.135 | 1234.313 | - | - | - | 4627.376 | 4627.376 | 5861.689 | 2930.845 | 293.084 |
| 7 | 12 | 2 | 25 | sand | 12 | 206 | - | - | 0.655 | 134.930 | 357.775 | 1592.088 | - | - | - | 4927.133 | 4927.133 | 6519.221 | 3259.611 | 325.961 |
| 8 | 14 | 2 | 29 | sand | 12 | 230 | - | - | 0.587 | 135.010 | 373.511 | 1965.599 | - | - | - | 5197.556 | 5197.556 | 7163.155 | 3581.578 | 358.158 |
| 9 | 16 | 2 | 37 | sand | 13 | 256 | - | - | 0.524 | 134.144 | 400.854 | 2366.453 | - | - | - | 5673.989 | 5673.989 | 8040.442 | 4020.221 | 402.022 |
| 10 | 18 | 2 | 53 | sand | 13 | 282 | - | - | 0.465 | 131.130 | 444.885 | 2811.338 | - | - | - | 6457.660 | 6457.660 | 9268.998 | 4634.499 | 463.450 |
| 11 | 20 | 2 | 60 | sand | 13 | 308 | - | - | 0.409 | 125.972 | 461.181 | 3272.519 | - | - | - | 6752.589 | 6752.589 | 10025.108 | 5012.554 | 501.255 |
| 12 | 22 | 2 | 60 | sand | 13 | 334 | - | - | 0.356 | 118.904 | 461.181 | 3733.700 | - | - | - | 6752.589 | 6752.589 | 10486.289 | 5243.145 | 524.314 |
| 13 | 24 | 2 | 60 | sand | 13 | 360 | - | - | 0.305 | 109.800 | 461.181 | 4194.881 | - | - | - | 6752.589 | 6752.589 | 10947.470 | 5473.735 | 547.374 |
| 14 | 26 | 2 | 60 | sand | 13 | 386 | - | - | 0.256 | 98.816 | 461.181 | 4656.062 | - | - | - | 6752.589 | 6752.589 | 11408.651 | 5704.326 | 570.433 |
| 15 | 28 | 2 | 60 | sand | 13 | 412 | - | - | 0.250 | 103.000 | 461.181 | 5117.243 | - | - | - | 6752.589 | 6752.589 | 11869.832 | 5934.916 | 593.492 |
| 16 | 30 | 2 | 60 | sand | 13 | 438 | - | - | 0.250 | 109.500 | 461.181 | 5578.424 | - | - | - | 6752.589 | 6752.589 | 12331.013 | 6165.507 | 616.551 |

Tabel L.6: Kapasitas daya dukung tiang bor menggunakan metode Vesic dengan korelasi parameter tanah Briaud pada BH-2.

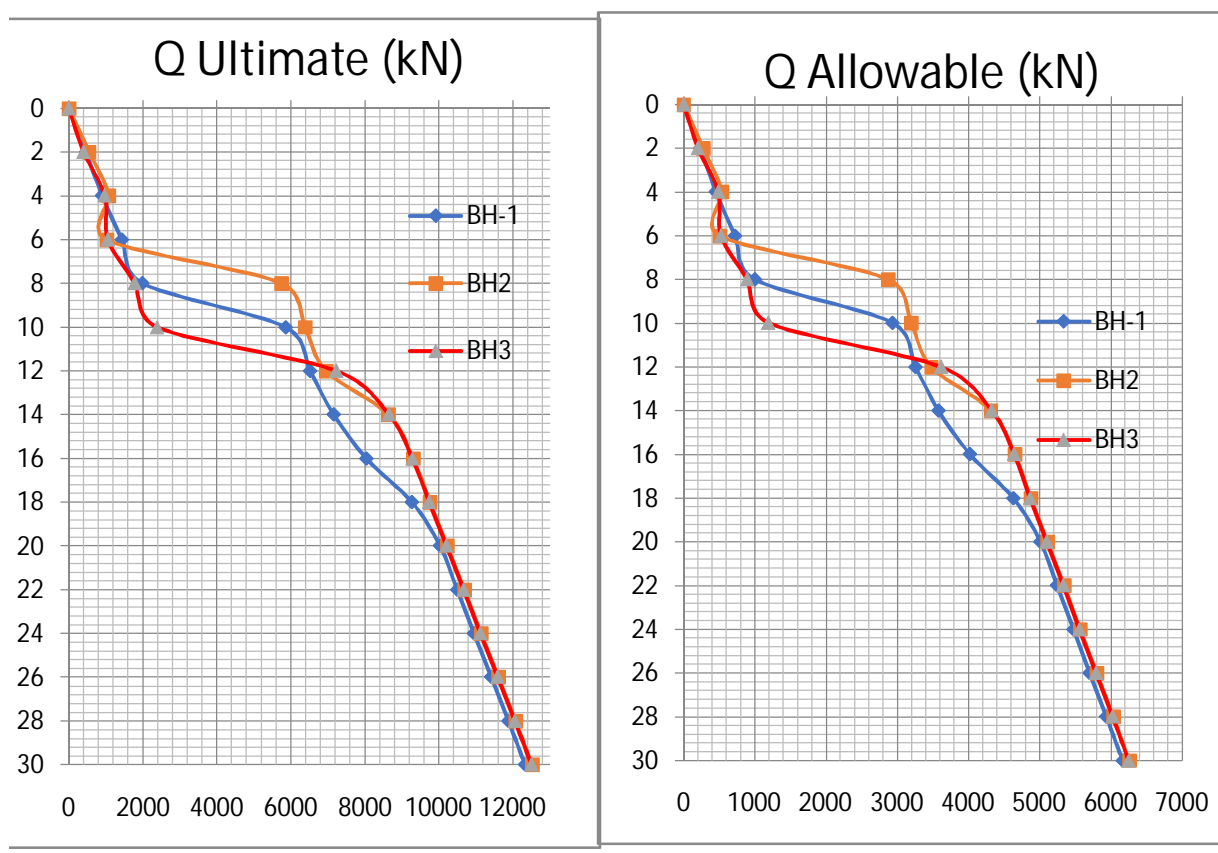
| No | z (m) | Δ (m) | Nspt | Clay or Sand? | γ (kN/m ³) | $\sigma_{\text{effective}}$ (kN/m ²) | Clay,cu (kPa) | α | β | Friction (kPa) | Qsi | ΣQ_s | Irr | Nc* | Clay ΣQ_b | Sand ΣQ_b | ΣQ_b | $\Sigma Q_s + \Sigma Q_b$ | Qall | Qall |
|----|-------|--------------|------|---------------|-------------------------------|--|---------------|----------|---------|----------------|---------|--------------|--------|-------|-------------------|-------------------|--------------|---------------------------|----------|---------|
| 1 | 0 | | | | | | | | | 0 | | | | | | | | | kN | Ton |
| 2 | 2 | 2 | 8 | Clay | 20 | 40 | 51.659 | 0.36 | - | 18.597 | 116.789 | 116.789 | 146.26 | 10.58 | 429.043 | - | 429.043 | 545.832 | 272.916 | 27.292 |
| 3 | 4 | 2 | 13 | Clay | 20 | 80 | 85.489 | 0.39 | - | 33.341 | 209.381 | 326.170 | 263.65 | 11.16 | 748.935 | - | 748.935 | 1075.105 | 537.553 | 53.755 |
| 4 | 6 | 2 | 9 | Clay | 20 | 120 | 58.425 | 0.55 | - | 32.134 | 201.802 | 527.972 | 169.73 | 10.69 | 490.282 | - | 490.282 | 1018.254 | 509.127 | 50.913 |
| 5 | 8 | 2 | 24 | sand | 12 | 144 | - | - | 0.81 | 116.640 | 353.565 | 881.537 | - | - | - | 4855 | 4855.254 | 5736.791 | 2868.396 | 286.840 |
| 6 | 10 | 2 | 28 | sand | 12 | 168 | - | - | 0.728 | 122.304 | 369.729 | 1251.266 | - | - | - | 5132.309 | 5132.309 | 6383.575 | 3191.788 | 319.179 |
| 7 | 12 | 2 | 31 | sand | 13 | 194 | - | - | 0.655 | 127.070 | 380.805 | 1632.071 | - | - | - | 5323.853 | 5323.853 | 6955.924 | 3477.962 | 347.796 |
| 8 | 14 | 2 | 55 | sand | 13 | 220 | - | - | 0.587 | 129.140 | 449.690 | 2081.761 | - | - | - | 6544.349 | 6544.349 | 8626.110 | 4313.055 | 431.306 |
| 9 | 16 | 2 | 60 | sand | 13 | 246 | - | - | 0.524 | 128.904 | 461.181 | 2542.942 | - | - | - | 6752.589 | 6752.589 | 9295.531 | 4647.766 | 464.777 |
| 10 | 18 | 2 | 60 | sand | 13 | 272 | - | - | 0.465 | 126.480 | 461.181 | 3004.123 | - | - | - | 6752.589 | 6752.589 | 9756.712 | 4878.356 | 487.836 |
| 11 | 20 | 2 | 60 | sand | 13 | 298 | - | - | 0.409 | 121.882 | 461.181 | 3465.304 | - | - | - | 6752.589 | 6752.589 | 10217.893 | 5108.947 | 510.895 |
| 12 | 22 | 2 | 60 | sand | 13 | 324 | - | - | 0.356 | 115.344 | 461.181 | 3926.485 | - | - | - | 6752.589 | 6752.589 | 10679.074 | 5339.537 | 533.954 |
| 13 | 24 | 2 | 60 | sand | 13 | 350 | - | - | 0.305 | 106.750 | 461.181 | 4387.666 | - | - | - | 6752.589 | 6752.589 | 11140.255 | 5570.128 | 557.013 |
| 14 | 26 | 2 | 60 | sand | 13 | 376 | - | - | 0.256 | 96.256 | 461.181 | 4848.847 | - | - | - | 6752.589 | 6752.589 | 11601.436 | 5800.718 | 580.072 |
| 15 | 28 | 2 | 60 | sand | 13 | 402 | - | - | 0.250 | 100.500 | 461.181 | 5310.028 | - | - | - | 6752.589 | 6752.589 | 12062.617 | 6031.309 | 603.131 |
| 16 | 30 | 2 | 60 | sand | 13 | 428 | - | - | 0.250 | 107.000 | 461.181 | 5771.209 | - | - | - | 6752.589 | 6752.589 | 12523.798 | 6261.899 | 626.190 |

Tabel L.7: Kapasitas daya dukung tiang bor menggunakan metode Vesic dengan korelasi parameter tanah Briaud pada BH-3.

| No | z (m) | Δ (m) | Nspt | | γ (kN/m ³) | $\sigma_{\text{effective}}$ (kN/m ²) | Clay,cu (kPa) | α | β | Friction (kPa) | Qsi | ΣQ_s | Irr | N_c^* | Clay ΣQ_b | Sand ΣQ_b | ΣQ_b | $\Sigma Q_s + \Sigma Q_b$ | Qall | Qall | |
|----|-------|--------------|------|------|-------------------------------|--|---------------|----------|---------|----------------|---------|--------------|--------|---------|-------------------|-------------------|--------------|---------------------------|----------|---------|------|
| 1 | 0 | | | | | | | | | | 0 | | | | | | | | | kN | Ton |
| | | | | | | | | | | | | | | | | | | | | 0 | 0.00 |
| 2 | 2 | 2 | 6 | clay | 19 | 38 | 38.127 | 0.4 | - | 15.251 | 95.776 | 95.776 | 99.30 | 10.34 | 309.473 | - | 309.473 | 405.249 | 202.625 | 20.262 | |
| 3 | 4 | 2 | 12 | clay | 20 | 78 | 78.723 | 0.4 | - | 31.489 | 197.751 | 293.527 | 240.17 | 11.04 | 682.245 | - | 682.245 | 975.772 | 487.886 | 48.789 | |
| 4 | 6 | 2 | 10 | clay | 20 | 118 | 65.191 | 0.52 | - | 33.899 | 212.886 | 506.413 | 193.21 | 10.81 | 553.201 | - | 553.201 | 1059.614 | 529.807 | 52.981 | |
| 5 | 8 | 2 | 16 | clay | 20 | 158 | 105.787 | 0.48 | - | 50.778 | 318.886 | 825.299 | 334.08 | 11.51 | 955.823 | - | 955.823 | 1781.122 | 890.561 | 89.056 | |
| 6 | 10 | 2 | 19 | clay | 20 | 198 | 126.085 | 0.49 | - | 61.782 | 387.991 | 1213.290 | 404.51 | 11.87 | 1174.854 | - | 1174.854 | 2388.144 | 1194.072 | 119.407 | |
| 7 | 12 | 2 | 36 | sand | 13 | 224 | - | - | 0.655 | 146.720 | 397.681 | 1610.971 | - | - | - | 5618.298 | 5618.298 | 7229.269 | 3614.635 | 361.463 | |
| 8 | 14 | 2 | 56 | sand | 13 | 250 | - | - | 0.587 | 146.750 | 452.046 | 2063.017 | - | - | - | 6586.938 | 6586.938 | 8649.955 | 4324.978 | 432.498 | |
| 9 | 16 | 2 | 60 | sand | 13 | 276 | - | - | 0.524 | 144.624 | 461.181 | 2524.198 | - | - | - | 6752.589 | 6752.589 | 9276.787 | 4638.394 | 463.839 | |
| 10 | 18 | 2 | 60 | sand | 13 | 302 | - | - | 0.465 | 140.430 | 461.181 | 2985.379 | - | - | - | 6752.589 | 6752.589 | 9737.968 | 4868.984 | 486.898 | |
| 11 | 20 | 2 | 60 | sand | 13 | 328 | - | - | 0.409 | 134.152 | 461.181 | 3446.560 | - | - | - | 6752.589 | 6752.589 | 10199.149 | 5099.575 | 509.957 | |
| 12 | 22 | 2 | 60 | sand | 13 | 354 | - | - | 0.356 | 126.024 | 461.181 | 3907.741 | - | - | - | 6752.589 | 6752.589 | 10660.330 | 5330.165 | 533.017 | |
| 13 | 24 | 2 | 60 | sand | 13 | 380 | - | - | 0.305 | 115.900 | 461.181 | 4368.922 | - | - | - | 6752.589 | 6752.589 | 11121.511 | 5560.756 | 556.076 | |
| 14 | 26 | 2 | 60 | sand | 13 | 406 | - | - | 0.256 | 103.936 | 461.181 | 4830.103 | - | - | - | 6752.589 | 6752.589 | 11582.692 | 5791.346 | 579.135 | |
| 15 | 28 | 2 | 60 | sand | 13 | 432 | - | - | 0.250 | 108.000 | 461.181 | 5291.284 | - | - | - | 6752.589 | 6752.589 | 12043.873 | 6021.937 | 602.194 | |
| 16 | 30 | 2 | 60 | sand | 13 | 458 | - | - | 0.250 | 114.500 | 461.181 | 5752.465 | - | - | - | 6752.589 | 6752.589 | 12505.054 | 6252.527 | 625.253 | |

Tabel L.8: Perbandingan daya dukung ketiga titik tinjau.

| Kedalaman (m) | Q Ult BH1 (kN) | Q Ult BH2 (kN) | Q Ult BH3 (kN) | Q all BH1 (kN) | Q all BH 2 (kN) | Q all BH3 (kN) |
|---------------|----------------|----------------|----------------|----------------|-----------------|----------------|
| 0 | 0 | 0 | 0 | 0 | 0 | 0 |
| 2 | 472.93 | 545.83 | 405.249 | 236.466 | 272.916 | 202.625 |
| 4 | 906.98 | 1075.11 | 975.772 | 453.490 | 537.553 | 487.886 |
| 6 | 1443.12 | 1018.25 | 1059.614 | 721.560 | 509.127 | 529.807 |
| 8 | 1994.75 | 5736.79 | 1781.122 | 997.374 | 2868.396 | 890.561 |
| 10 | 5861.69 | 6383.58 | 2388.144 | 2930.845 | 3191.788 | 1194.072 |
| 12 | 6519.22 | 6955.92 | 7229.269 | 3259.611 | 3477.962 | 3614.635 |
| 14 | 7163.16 | 8626.11 | 8649.955 | 3581.578 | 4313.055 | 4324.978 |
| 16 | 8040.44 | 9295.53 | 9276.787 | 4020.221 | 4647.766 | 4638.394 |
| 18 | 9269.00 | 9756.71 | 9737.968 | 4634.499 | 4878.356 | 4868.984 |
| 20 | 10025.11 | 10217.89 | 10199.149 | 5012.554 | 5108.947 | 5099.575 |
| 22 | 10486.29 | 10679.07 | 10660.330 | 5243.145 | 5339.537 | 5330.165 |
| 24 | 10947.47 | 11140.26 | 11121.511 | 5473.735 | 5570.128 | 5560.756 |
| 26 | 11408.65 | 11601.44 | 11582.692 | 5704.326 | 5800.718 | 5791.346 |
| 28 | 11869.83 | 12062.62 | 12043.873 | 5934.916 | 6031.309 | 6021.937 |
| 30 | 12331.01 | 12523.80 | 12505.054 | 6165.507 | 6261.899 | 6252.527 |



Gambar L.14: Grafik daya dukung: (a) daya dukung ultimit, (b) daya dukung ijin.



DAFTAR RIWAYAT HIDUP

DATA DIRI PESERTA

Nama Lengkap : Faisal Syaifullah
Panggilan : Faisal
Tempat, Tanggal Lahir : Medan, 31 Juli 1995
Alamat : Jalan Imam No.32 LK.III Gaperta Ujung-Medan
Helvetia-20125
Agama : Islam

Nama Orang Tua
Ayah : Sukandar
Ibu : Yayuk Sumiati
No.HP : 0852 7082 1871
E-mail : faisalsyaifullah7@gmail.com

RIWAYAT PENDIDIKAN

Nomor Pokok Mahasiswa : 1307210146
Fakultas : Teknik
Program Studi : Teknik Sipil
Perguruan Tinggi : Universitas Muhammadiyah Sumatera Utara
Alamat Perguruan Tinggi : Jl. Kapten Muchtar Basri No.3 Medan-20238

| No | Tingkat Pendidikan | Nama dan Tempat | Tahun Kelulusan |
|----|---|-----------------|-----------------|
| 1 | SD | Y.P Amaliyah | 2007 |
| 2 | SMP | MTsN 3 Medan | 2010 |
| 3 | SMA | SMKN 5 Medan | 2013 |
| 4 | Melanjutkan kuliah di Universitas Muhammadiyah Sumatera Utara Tahun 2013 sampai selesai. | | |